

PODSTAWY PRZETWARZANIA OBRAZÓW CYFROWYCH

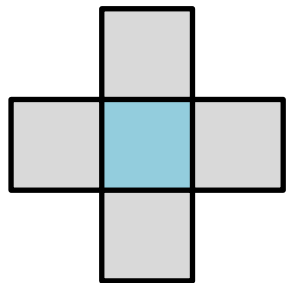
Przekształcenia kontekstowe

© 2021,
adam.piorkowski@agh.edu.pl

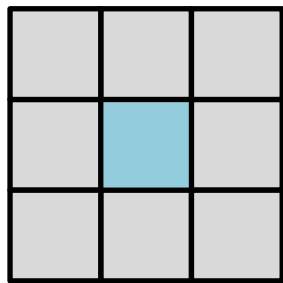
Przekształcenia kontekstowe

- Sąsiedztwo piksela
- Filtry liniowe
 - filtry splotowe (konwolucyjne)
 - kierunkowe, uśredniające, wyostrzające, dolnoprzepustowe/górnoprzepustowe,
 - filtry Robertsa, Prewitta, Sobela, laplasjany, Gaussa,
- Kombinacje filtrów
 - Laplacian of Gaussian, Difference of Gaussian,
 - Mexican Hat (blob detection)
- Filtry nieliniowe
 - filtry rankingowe
 - mediana, min, max
- Inne operacje kontekstowe
 - AHE (CLAHE)

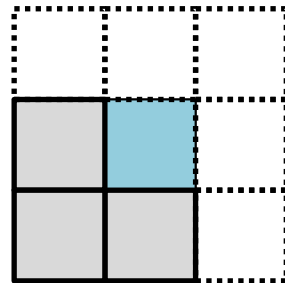
Sąsiedztwo piksela



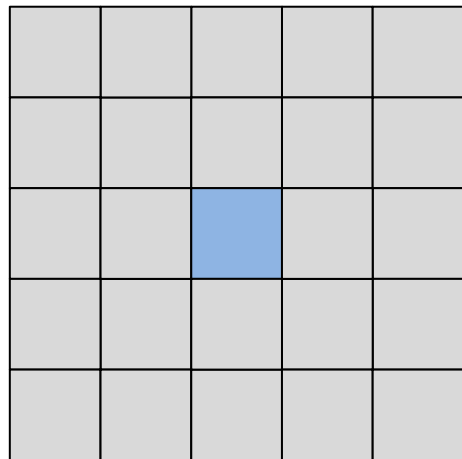
4-connected



8-connected
3x3

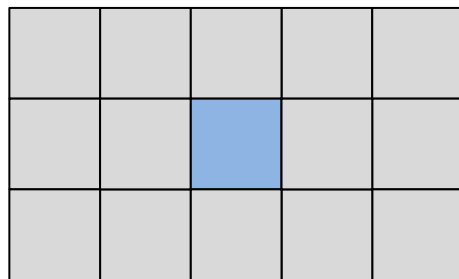


2x2
niezalecane



kwadrat
5x5

$O(r^2)$

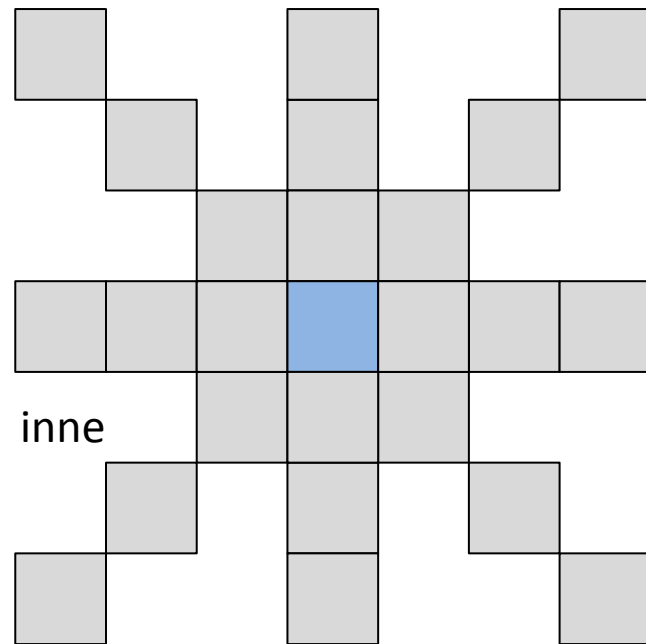


prostokąt
5x3

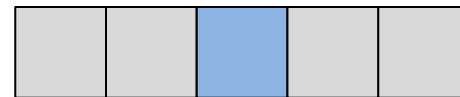
$O(r_a * r_b)$

$O(4r)$

złożoność
obliczeniowa!



inne



f. kierunkowe

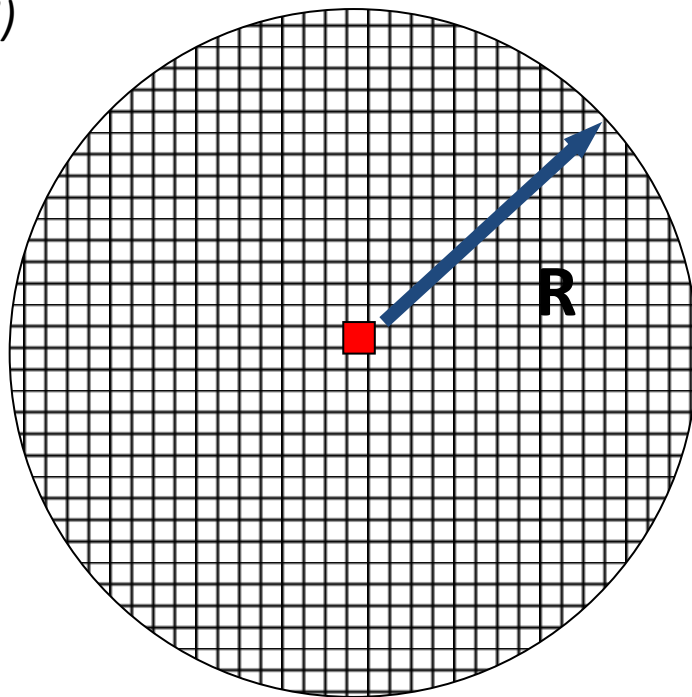
$O(r)$



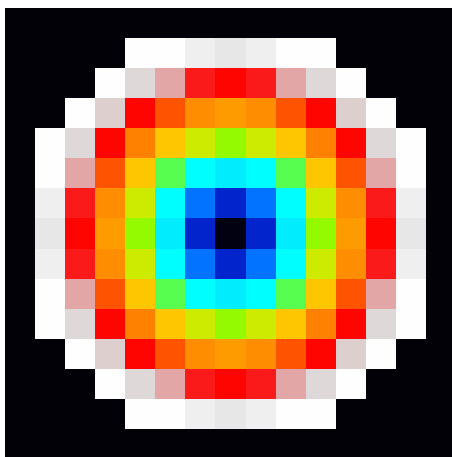
Sąsiedztwo piksela

$$rx^2 + ry^2 \leq R^2$$

$O(r^2)$



5.7	5.0	4.5	4.1	4.0	4.1	4.5	5.0	5.7
5.0	4.2	3.6	3.2	3.0	3.2	3.6	4.2	5.0
4.5	3.6	2.8	2.2	2.0	2.2	2.8	3.6	4.5
4.1	3.2	2.2	1.4	1.0	1.4	2.2	3.2	4.1
4.0	3.0	2.0	1.0	R	1.0	2.0	3.0	4.0
4.1	3.2	2.2	1.4	1.0	1.4	2.2	3.2	4.1
4.5	3.6	2.8	2.2	2.0	2.2	2.8	3.6	4.5
5.0	4.2	3.6	3.2	3.0	3.2	3.6	4.2	5.0
5.7	5.0	4.5	4.1	4.0	4.1	4.5	5.0	5.7

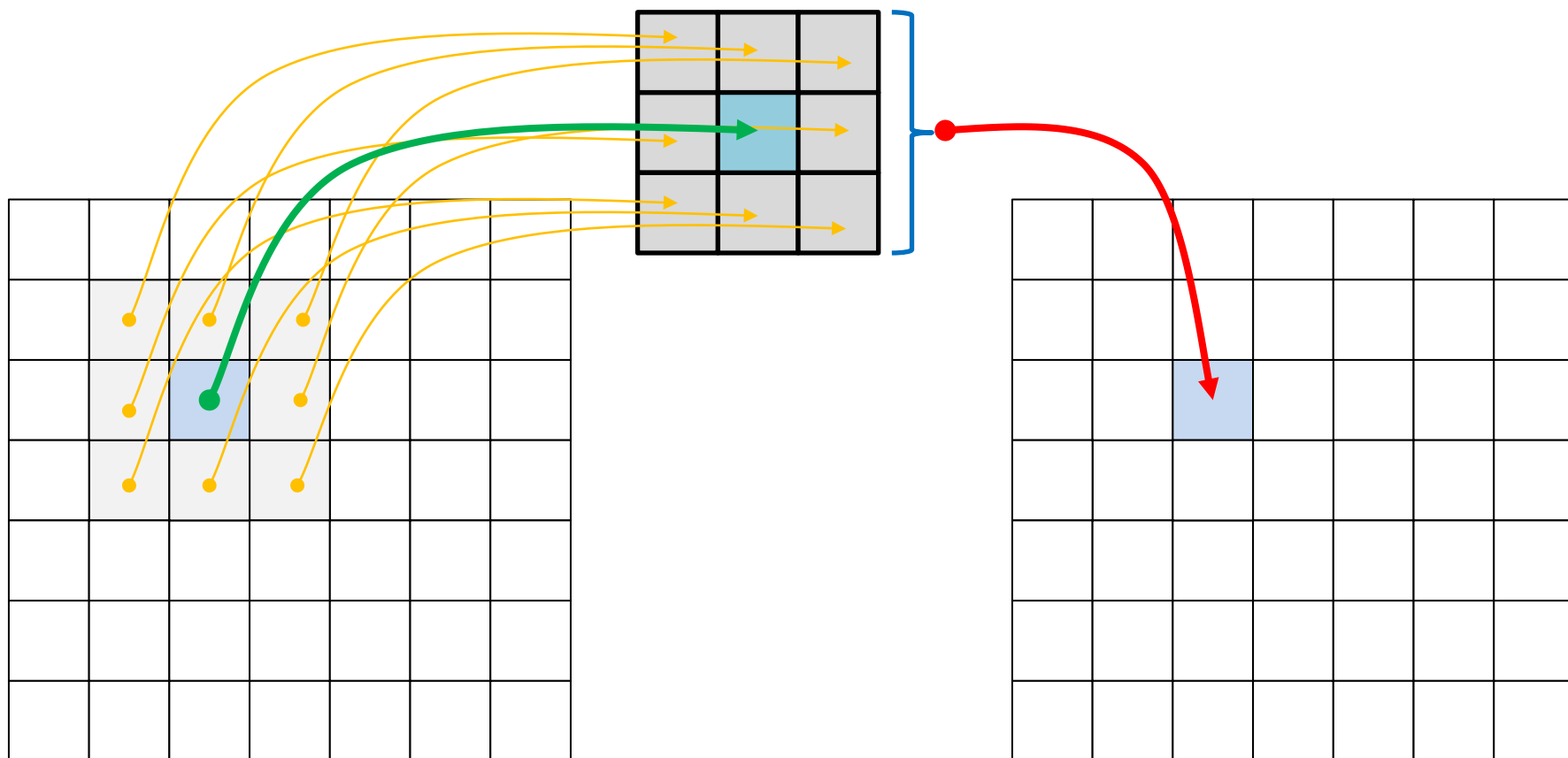


zaokrąglone do 0.1 !

$$1.4 < 1.41 < \sqrt{2}$$

Rozmiar maski istotny – dla obrazu o innym rozmiarze (powiększonego, pomniejszonego) ten sam filtr może działać inaczej

Przekształcenia kontekstowe



0	0	0	0	0	0	0	0	10	90	90	90	90	90	90	90
0	0	0	0	0	0	0	10	80	90	90	90	90	90	90	90
0	0	10	20	0	0	10	80	90	90	90	90	80	0	90	90
0	0	20	10	0	10	80	90	90	90	80	0	0	20	90	90
0	0	10	0	0	80	80	90	90	80	10	0	0	0	90	90
0	0	0	0	20	80	90	90	90	80	20	0	0	0	90	90
0	10	0	0	80	90	90	90	90	80	80	0	0	80	90	90
0	0	0	80	90	90	90	90	90	90	20	80	0	10	90	90
0	0	20	90	90	90	90	90	90	80	20	80	80	0	90	90
0	0	80	90	90	90	90	90	90	30	90	90	90	90	90	90
0	80	90	90	90	20	90	90	90	90	90	90	90	90	90	90
90	90	90	90	20	20	20	90	90	90	90	90	90	90	90	90
90	90	90	20	20	10	20	30	90	90	90	90	70	80	90	90
90	90	90	80	20	20	20	30	90	90	90	90	60	70	80	90
90	90	90	90	20	30	20	80	90	90	90	90	90	90	80	90
90	90	90	90	90	90	90	90	90	90	90	90	90	90	90	90

0	0	0	0	2	5	9	14	20	0	0	0	0	0	0	0
0	0	0	2	5	9	14	20	0	0	0	0	0	0	0	0
0	0	1	4	8	13	19	0	0	0	0	0	0	34	0	0
0	0	3	7	12	18	0	0	0	0	0	31	31	31	0	0
0	2	6	11	17	0	0	0	0	0	29	28	28	29	0	0
1	4	9	15	21	0	0	0	0	0	28	26	26	27	0	0
3	7	13	19	0	0	0	0	0	0	0	26	27	0	0	0
6	11	17	0	0	0	0	0	0	0	30	0	29	31	0	0
11	16	20	0	0	0	0	0	0	0	34	0	0	35	0	0
15	19	0	0	0	0	0	0	0	0	38	0	0	0	0	0
21	0	0	0	0	31	0	0	0	0	0	0	0	0	0	0
0	0	0	0	26	29	28	0	0	0	0	0	0	0	0	0
0	0	0	27	29	29	29	29	0	0	0	0	0	0	0	0
0	0	0	0	29	29	29	30	0	0	0	0	0	0	0	0
0	0	0	0	30	30	30	0	0	0	0	0	0	0	0	0
0	0	0	0	0	0	0	0	0	0	0	0	0	0	0	0

3	3	3	3	3	3	3	3
3	2	2	2	2	2	2	3
3	2	1	1	1	2	2	3
3	2	1	0	1	2	2	3
3	2	1	1	1	2	2	3
3	2	2	2	2	2	2	3
3	3	3	3	3	3	3	3

3	3	3	3	3	3	3	3
3	2	2	2	2	2	2	3
3	2	1	1	1	2	2	3
3	2	1	0	1	2	2	3
3	2	1	1	1	2	2	3
3	2	2	2	2	2	2	3
3	3	3	3	3	3	3	3

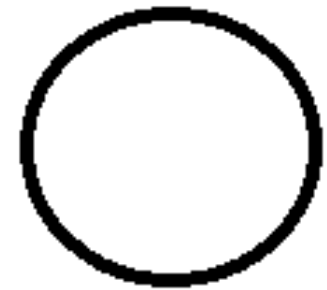
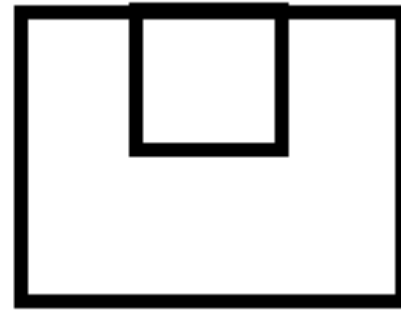
suma = 45

r=3.75, t=50

0	0	0	0	0	0	0	0	0	0	0	0	0	0	0	0
0	0	0	0	0	0	0	0	0	0	0	0	0	0	0	0
0	0	0	0	0	0	0	0	0	0	0	0	0	0	1	0
0	0	0	0	0	0	0	0	0	0	0	0	0	1	1	1
0	0	0	0	0	0	0	0	0	0	0	1	1	1	1	0
0	0	0	0	0	0	0	0	0	0	0	1	1	1	1	0
0	0	0	0	0	0	0	0	0	0	0	0	1	1	0	0
0	0	0	0	0	0	0	0	0	0	0	0	1	0	1	1
0	0	0	0	0	0	0	0	0	0	0	0	1	0	0	1
0	0	0	0	0	0	0	0	0	0	0	0	1	0	0	0
0	0	0	0	0	0	1	1	1	0	0	0	0	0	0	0
0	0	0	0	1	1	1	1	1	0	0	0	0	0	0	0
0	0	0	0	1	1	1	1	1	0	0	0	0	0	0	0
0	0	0	0	1	1	1	0	0	0	0	0	0	0	0	0
0	0	0	0	0	0	0	0	0	0	0	0	0	0	0	0

b=25

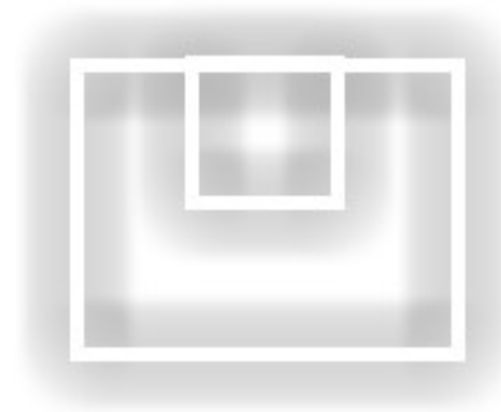
Sąsiedztwo - artefakty



+



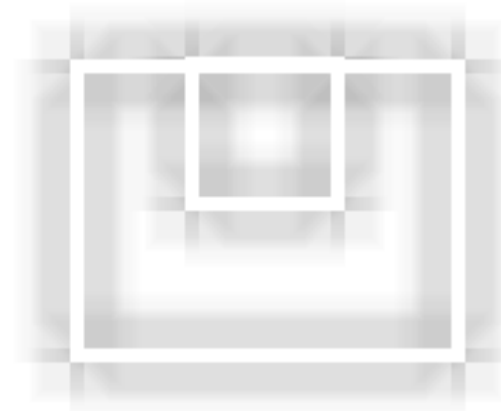
o



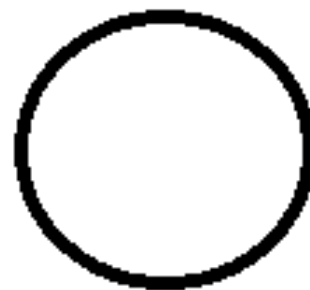
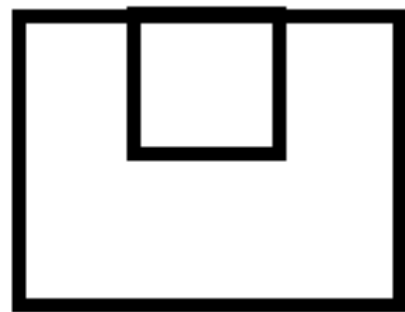
[]



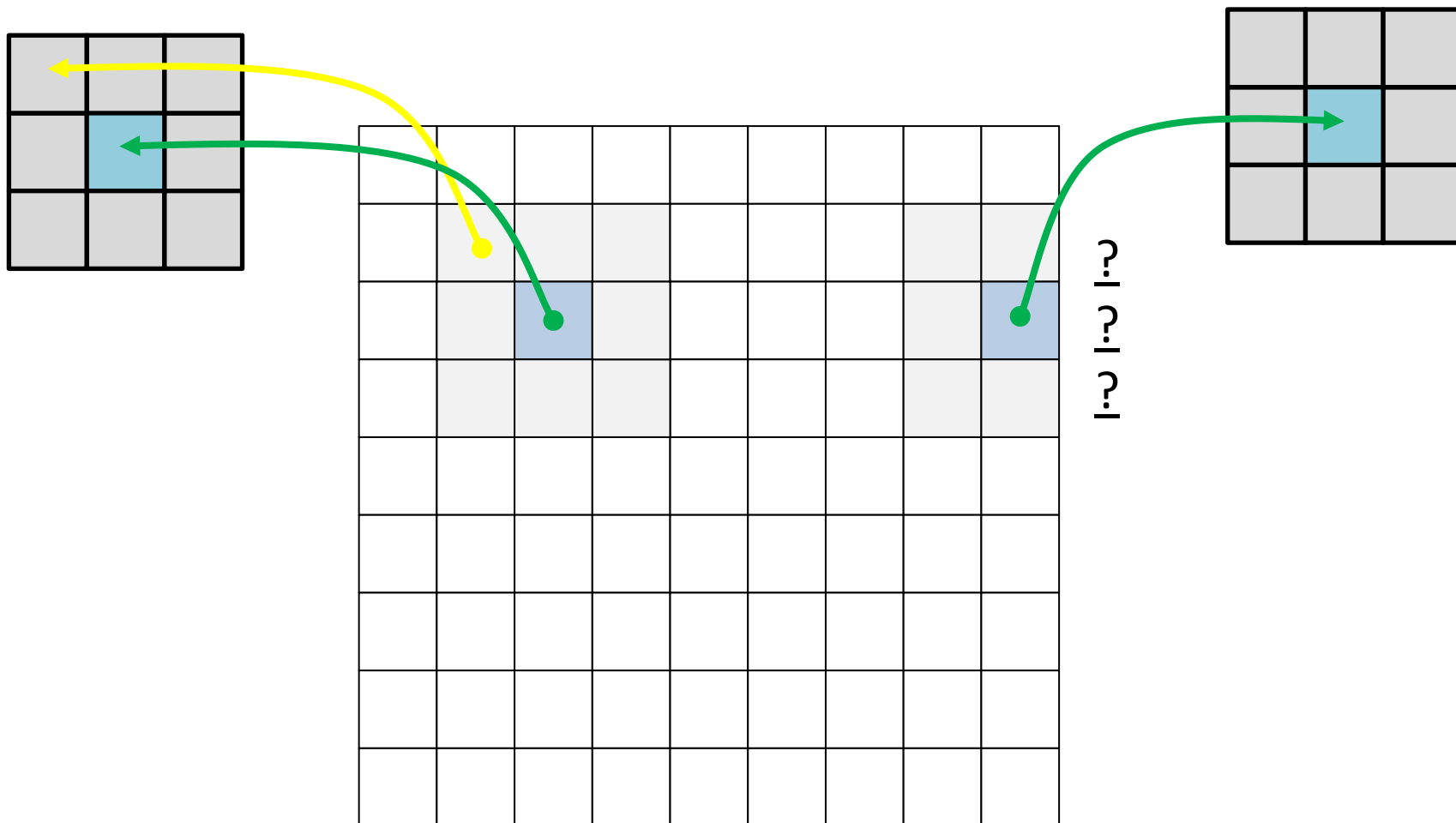
*



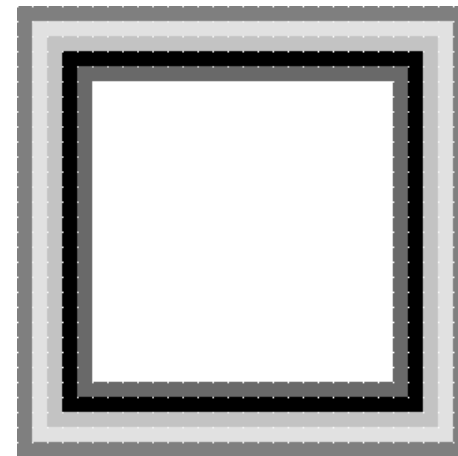
Sąsiedztwo - artefakty



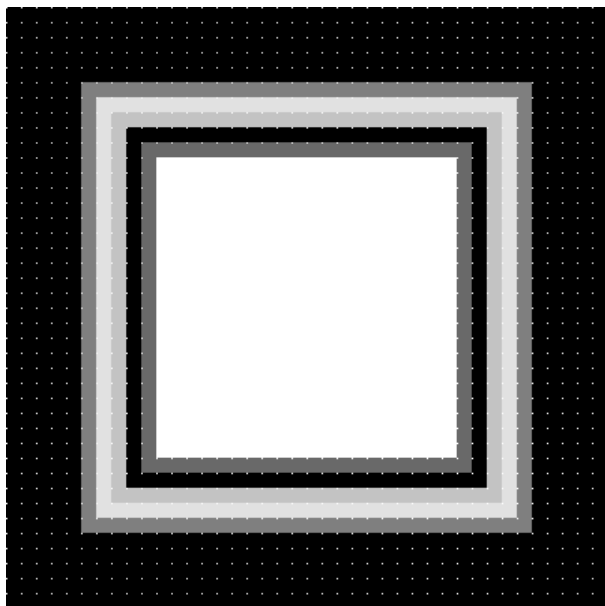
A co z marginesami?



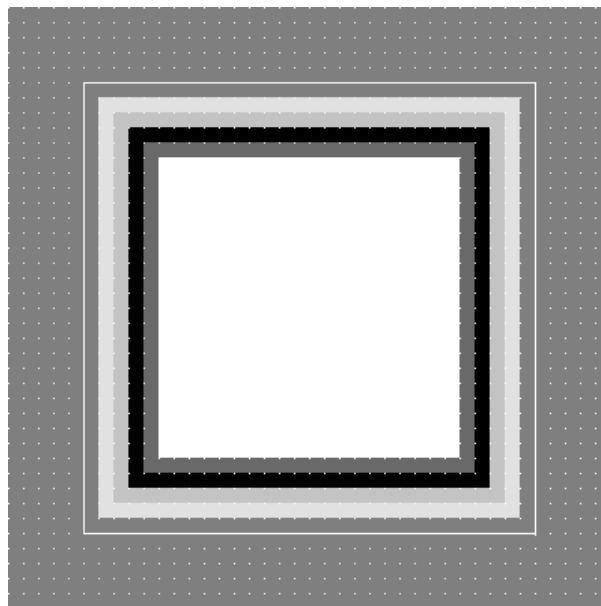
A co z marginesami?



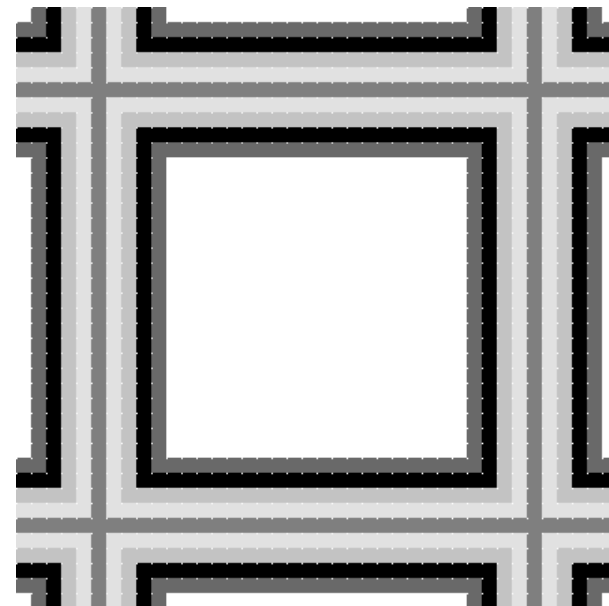
margines 5 pikseli



wypełnienie zerami

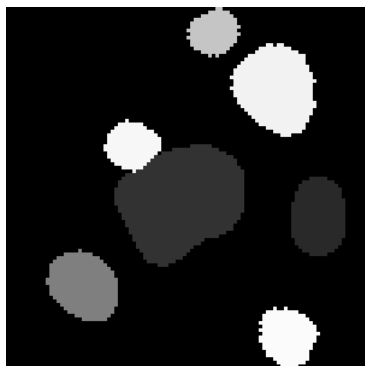


kopia brzegu

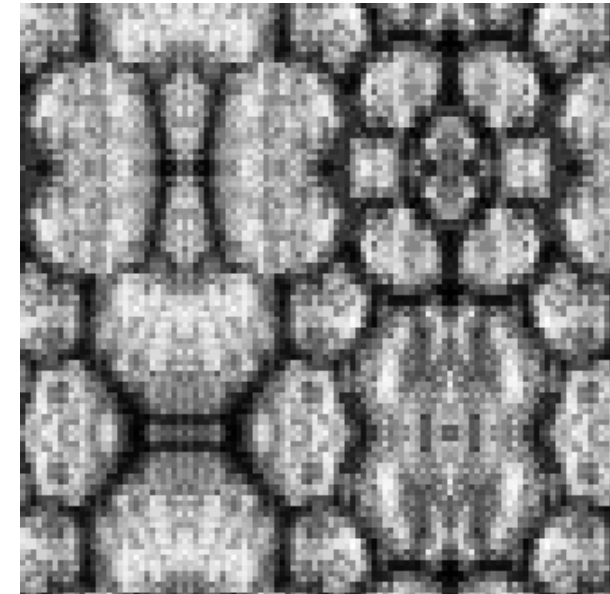
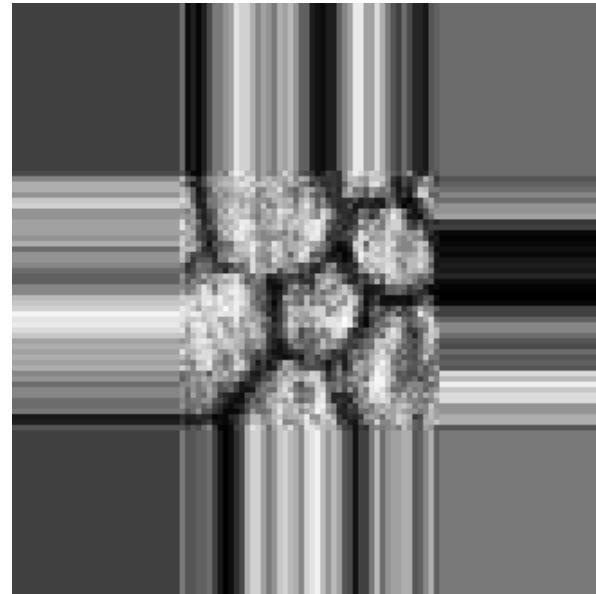
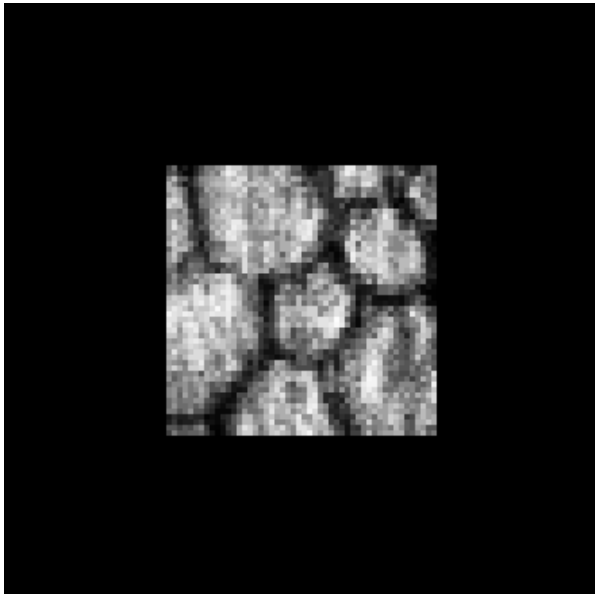
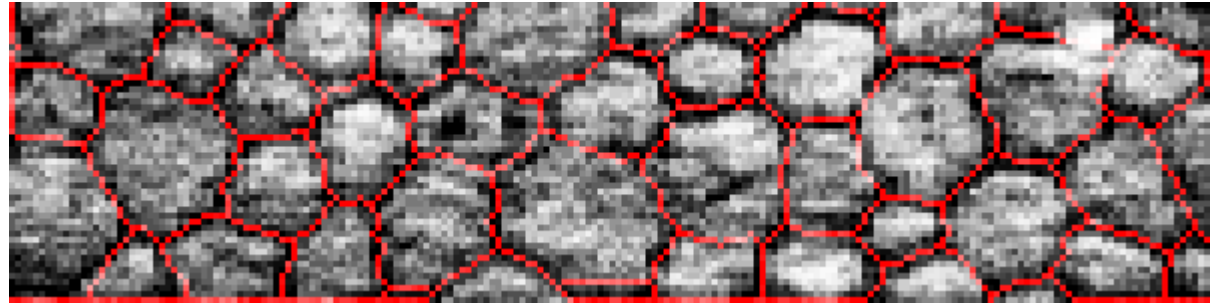
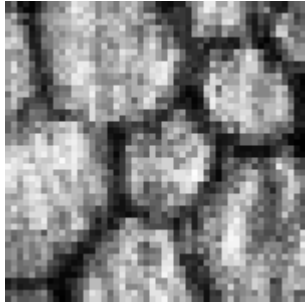


kopia lustrzana

A co z marginesami?



A co z marginesami?



```
// marginesy lustrzane, 2021.11.13, AP

Marg = 30;           // rozmiar marginesu

w = getWidth();
h = getHeight();

Marg = minOf(Marg, w-1);           // margines nie moze byc wiekszy niz rozmiar obrazu
Marg = minOf(Marg, h-1);           // margines nie moze byc wiekszy niz rozmiar obrazu

tytul = File.getNameWithoutExtension(getTitle()) + "_marg_" + Marg;

// zaladowanie obrazu do tablicy
obraz = newArray(w*h);

for (y=0; y<h; y++)
    for (x=0; x<w; x++)
        obraz[x + y *w] = getPixel(x, y);

// stworzenie nowego obrazu wiekszego o margines

obraz_nowy = newArray( (w + Marg * 2) * (h + Marg * 2) );
Array.fill(obraz_nowy, 0);

// kopiowanie czesci zasadniczej
for (i = 0; i < w; i++)
    for (j = 0; j < h; j++)
        obraz_nowy[(i + Marg) + (w + Marg * 2) * (j + Marg)] = obraz[i + w * j];

// #####
// utworzenie nowego obrazka - marginesy wypelnione zerami
newImage(tytul + "_zero", "8-bit", w + Marg * 2, h + Marg * 2, 1);
for (y=0; y < h + Marg * 2; y++)
    for (x=0; x < w + Marg * 2; x++)
        setPixel(x, y, obraz_nowy[x + y *(w + Marg * 2)] );
```

```

// marginesy lustrzane, 2021.11.13, AP      - c.d.

// #####
// utworzenie nowego obrazka - marginesy wypelnione wartosciami brzegowymi

// kopiowanie marginesow
// gorny i dolny
for (i = 0; i < w; i++)
{
    for (k = 0; k <= Marg; k++)
    {
        obraz_nowy[i + Marg + (Marg - k)*(w + Marg * 2)] = obraz[i + w * 0];
        obraz_nowy[i + Marg + (h - 1 + Marg + k) * (w + Marg * 2)] = obraz[i + w * (h - 1)];
    }
}
// prawy i lewy
for (j = 0; j < h; j++)
{
    for (k = 0; k <= Marg; k++)
    {
        obraz_nowy[Marg - k + (j + Marg) * (w + Marg * 2)] = obraz[0*k + w * j];
        obraz_nowy[w - 1 + Marg + k + (j + Marg) * (w + Marg * 2)] = obraz[w - 1 - 0*k + w * j];
    }
}

// kopiowanie naroznikow
for (i = 0; i <= Marg; i++)
    for (j = 0; j <= Marg; j++)
    {
        obraz_nowy[Marg - i + (w + Marg * 2)*( Marg - j)] = obraz[0];
        obraz_nowy[w - 1 + Marg + i + (w + Marg * 2)*( Marg - j)] = obraz[w - 1];
        obraz_nowy[Marg - i + (w + Marg * 2)*(h - 1 + Marg + j)] = obraz[w*(h - 1)];
        obraz_nowy[w - 1 + Marg + i + (w + Marg * 2)*(h - 1 + Marg + j)] = obraz[w - 1 + w*(h - 1)];
    }

newImage(tytul + "_brzeg", "8-bit", w + Marg * 2, h + Marg * 2, 1);
for (y=0; y < h + Marg * 2; y++)
    for (x=0; x < w + Marg * 2; x++)
        setPixel(x, y, obraz_nowy[x + y *(w + Marg * 2)] );

```

```

// marginesy lustrzane, 2021.11.13, AP      - c.d. 2

// #####
// utworzenie nowego obrazka - marginesy lustrzane

// kopiowanie marginesow
// gorny i dolny
for (i = 0; i < w; i++)
{
    for (k = 0; k <= Marg; k++)
    {
        obraz_nowy[i + Marg + (Marg - k)*(w + Marg * 2)] = obraz[i + w * k];
        obraz_nowy[i + Marg + (h - 1 + Marg + k) * (w + Marg * 2)] = obraz[i + w*( h - 1 - k)];
    }
}
// prawy i lewy
for (j = 0; j < h; j++)
{
    for (k = 0; k <= Marg; k++)
    {
        obraz_nowy[Marg - k + (j + Marg) * (w + Marg * 2)] = obraz[k + w * j];
        obraz_nowy[w - 1 + Marg + k + (j + Marg) * (w + Marg * 2)] = obraz[w - 1 - k + w * j];
    }
}

// kopiowanie naroznikow
for (i = 0; i <= Marg; i++)
    for (j = 0; j <= Marg; j++)
    {
        obraz_nowy[Marg - i + (w + Marg * 2)*( Marg - j)] = obraz[i + w * j];
        obraz_nowy[w - 1 + Marg + i + (w + Marg * 2)*( Marg - j)] = obraz[w - 1 - i + w * j];
        obraz_nowy[Marg - i + (w + Marg * 2)*(h - 1 + Marg + j)] = obraz[i + w*( h - 1 - j)];
        obraz_nowy[w - 1 + Marg + i + (w + Marg * 2)*(h - 1 + Marg + j)] = obraz[w - 1 - i + w *( h - 1 - j)];
    }

newImage(tytul + "_lustro", "8-bit", w + Marg * 2, h + Marg * 2, 1);
for (y=0; y < h + Marg * 2; y++)
    for (x=0; x < w + Marg * 2; x++)
        setPixel(x, y, obraz_nowy[x + y * (w + Marg * 2)] );

```

Filtry konwolucyjne (splotowe)

$$g(x) = (f \times h)(x) = \int_{-\infty}^{+\infty} f(x-t)h(t)dt$$

$$P'(m, n) = (w \times P)(m, n) = \sum_{i, j \in K} P(m-i, n-j)w(i, j)$$

$$w(i, j) = \begin{bmatrix} w_{-1,-1} & w_{0,-1} & w_{1,-1} \\ w_{-1,0} & w_{0,0} & w_{1,0} \\ w_{-1,1} & w_{0,1} & w_{1,1} \end{bmatrix}$$

Filtry są liniowe, gdy są opisane funkcją:

- addytywną: $\varphi(f+g) = \varphi(f) + \varphi(g)$,
- jednorodną: $\varphi(\lambda f) = \lambda \varphi(f)$.

Filtry konwolucyjne (splotowe)

Kontrola zakresu wartości uzyskiwanych przy konwolucji

Dla współczynników nieujemnych: (co najmniej jeden większy od zera)

$$n = \frac{1}{\sum_{i,j \in K} w(i,j)}$$

$$P'(m,n) = \frac{1}{\sum_{i,j \in K} w(i,j)} \sum_{i,j \in K} P(m-i, n-j)w(i,j)$$

Dla współczynników dowolnych:

- skalowanie obrazu po konwolucji z zakresu (min, max) do (0,255) (normalizacja)
 - przesunięcie tła!
- ujemne - wyznaczenie wartości bezwzględnej z otrzymanego obrazu,
- limitowanie wartości wykraczających poza zakres (0,255)
 - niejawną binaryzacja

Filtry dolnoprzepustowe

0	1	0
1	1	1
0	1	0

1	1	1
1	1	1
1	1	1

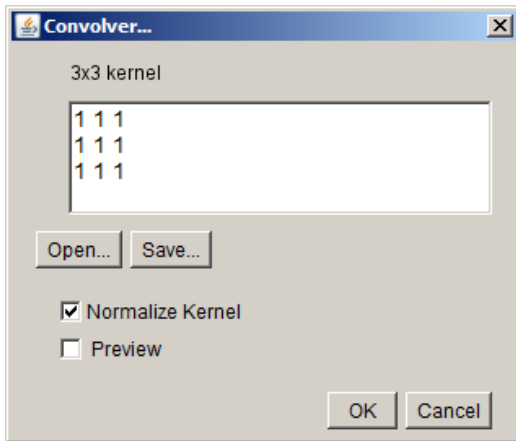
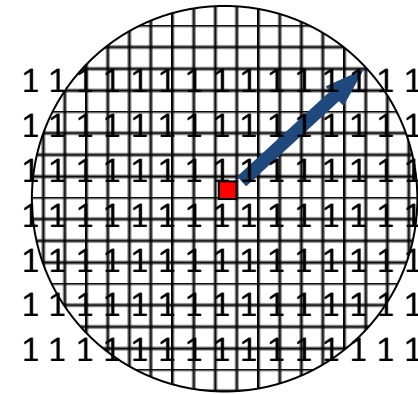
1	2	1
2	4	2
1	2	1

1	3	1
3	9	3
1	3	1

klasyczne filtry
uśredniające

1	1	1	1	1
1	1	1	1	1
1	1	1	1	1
1	1	1	1	1
1	1	1	1	1

aproxymacja rozkładu Gaussa



Filtry dolnoprzepustowe:

- + redukują szum (wysokie częstotliwości),
- + wygładzają obraz,
- rozmywają krawędzie

Filtry górnoprzepustowe

- Gradienty (kierunkowe): (aproxymacja I pochodnej)
 - gradient Robertsa, maski Prewitta, Sobela,
- Laplasjany (bezkierunkowe) (suma drugich pochodnych cząstkowych)
- Maski wykrywające narożniki (i inne kształty)
 - maski Robinsona, Kircha, ...

Gradient Robertsa

G_1

	1	0
	0	-1

$$G = \sqrt{G_1^2 + G_2^2}$$

G_2

	0	1
	-1	0

$$G = |G_1| + |G_2|$$

$$\Theta = \arctan\left(\frac{G_1}{G_2}\right)$$

maski 2x2 nie oddają symetrycznego położenia punktu centralnego – powstaje przesunięcie w obrazie

Operator Prewitta

1	1	0
1	0	-1
0	-1	-1

1	1	1
0	0	0
-1	-1	-1

0	1	1
-1	0	1
-1	-1	0

1	0	-1
1	0	-1
1	0	-1

-1	0	1
-1	0	1
-1	0	1

0	-1	-1
1	0	-1
1	1	0

-1	-1	-1
0	0	0
1	1	1

-1	-1	0
-1	0	1
0	1	1

Operatory Prewitta

-1	-1	0
-1	0	1
0	1	1

-1	-1	-1
0	0	0
1	1	1

0	-1	-1
1	0	-1
1	1	0

-1	0	1
-1	0	1
-1	0	1

1	0	-1
1	0	-1
1	0	-1

0	1	1
-1	0	1
-1	-1	0

1	1	1
0	0	0
-1	-1	-1

1	1	0
1	0	-1
0	-1	-1

jasny obiekt – ciemne tło

Operator Sobela

2	1	0
1	0	-1
0	-1	-2

1	2	1
0	0	0
-1	-2	-1

0	1	2
-1	0	1
-2	-1	0

1	0	-1
2	0	-2
1	0	-1

-1	0	1
-2	0	2
-1	0	1

0	-1	-2
1	0	-1
2	1	0

-1	-2	-1
0	0	0
1	2	1

-2	-1	0
-1	0	1
0	1	2

Maski Robinsona (wykrywanie narożników)

1	1	1
1	-2	-1
1	-1	-2

1	1	1
1	-2	1
-1	-2	-1

1	1	1
-1	-2	1
-2	-1	1

1	1	-1
1	-2	-2
1	1	-1

-1	1	1
-2	-2	1
-1	1	1

1	-1	-2
1	-2	-1
1	1	1

-1	-2	-1
1	-2	1
1	1	1

-2	-1	1
-1	-2	1
1	1	1

Maski Kircha (wykrywanie narożników)

3	3	3
3	0	-5
3	-5	-5

3	3	3
3	0	3
-5	-5	-5

3	3	3
-5	0	3
-5	-5	3

3	3	-5
3	0	-5
3	3	-5

-5	3	3
-5	0	3
-5	3	3

3	-5	-5
3	0	-5
3	3	3

-5	-5	-5
3	0	3
3	3	3

-5	-5	3
-5	0	3
3	3	3

Operator Laplace'a

$$\begin{array}{|c|c|c|} \hline 0 & 0 & 0 \\ \hline -1 & 2 & -1 \\ \hline 0 & 0 & 0 \\ \hline \end{array} + \begin{array}{|c|c|c|} \hline 0 & -1 & 0 \\ \hline 0 & 2 & 0 \\ \hline 0 & -1 & 0 \\ \hline \end{array} = \begin{array}{|c|c|c|} \hline 0 & -1 & 0 \\ \hline -1 & 4 & -1 \\ \hline 0 & -1 & 0 \\ \hline \end{array}$$

$$\begin{array}{|c|c|c|} \hline 0 & 0 & 0 \\ \hline -1 & 2 & -1 \\ \hline 0 & 0 & 0 \\ \hline \end{array} + \begin{array}{|c|c|c|} \hline 0 & -1 & 0 \\ \hline 0 & 2 & 0 \\ \hline 0 & -1 & 0 \\ \hline \end{array} + \begin{array}{|c|c|c|} \hline -1 & 0 & 0 \\ \hline 0 & 2 & 0 \\ \hline 0 & 0 & -1 \\ \hline \end{array} + \begin{array}{|c|c|c|} \hline 0 & 0 & -1 \\ \hline 0 & 2 & 0 \\ \hline -1 & 0 & 0 \\ \hline \end{array} = \begin{array}{|c|c|c|} \hline -1 & -1 & -1 \\ \hline -1 & 8 & -1 \\ \hline -1 & -1 & -1 \\ \hline \end{array}$$

Kierunkowe pochodne cząstkowe

Operator Laplace'a

$$\begin{array}{|c|c|c|} \hline -1 & 2 & -1 \\ \hline -1 & 2 & -1 \\ \hline -1 & 2 & -1 \\ \hline \end{array} + \begin{array}{|c|c|c|} \hline -1 & -1 & -1 \\ \hline 2 & 2 & 2 \\ \hline -1 & -1 & -1 \\ \hline \end{array} = \begin{array}{|c|c|c|} \hline -2 & 1 & -2 \\ \hline 1 & 4 & 1 \\ \hline -2 & 1 & -2 \\ \hline \end{array}$$

1	-2	1
-2	4	-2
1	-2	1

-1	-2	-1
-2	12	-2
-1	-2	-1

0	-3	0
-3	12	-3
0	-3	0

Operator Laplace'a - wyostrzanie

$$\begin{array}{|c|c|c|} \hline 0 & -1 & 0 \\ \hline -1 & 4 & -1 \\ \hline 0 & -1 & 0 \\ \hline \end{array} + \begin{array}{|c|c|c|} \hline 0 & 0 & 0 \\ \hline 0 & 1 & 0 \\ \hline 0 & 0 & 0 \\ \hline \end{array} = \begin{array}{|c|c|c|} \hline 0 & -1 & 0 \\ \hline -1 & 5 & -1 \\ \hline 0 & -1 & 0 \\ \hline \end{array}$$

$$\begin{array}{|c|c|c|} \hline -1 & -1 & -1 \\ \hline -1 & 8 & -1 \\ \hline -1 & -1 & -1 \\ \hline \end{array} + \begin{array}{|c|c|c|} \hline 0 & 0 & 0 \\ \hline 0 & k & 0 \\ \hline 0 & 0 & 0 \\ \hline \end{array} = \begin{array}{|c|c|c|} \hline -1 & -1 & -1 \\ \hline -1 & 8+k & -1 \\ \hline -1 & -1 & -1 \\ \hline \end{array}$$

$k=1,2,3, \dots$

W TYM MIEJSCU PRZEWIDZIANY JEST POKAZ NA ŻYWO (19.11.2021)

Filtr Gaussa

$$G(x) = \frac{1}{\sqrt{2\pi\sigma^2}} e^{-\frac{x^2}{2\sigma^2}}$$

```
s = 1.0;

N = 8; // rozmiar

dokladnosc = 0.1;

tab_x = newArray((N*2)/dokladnosc);
tab_y = newArray((N*2)/dokladnosc);

Plot.create("Gauss", "X", "Y");

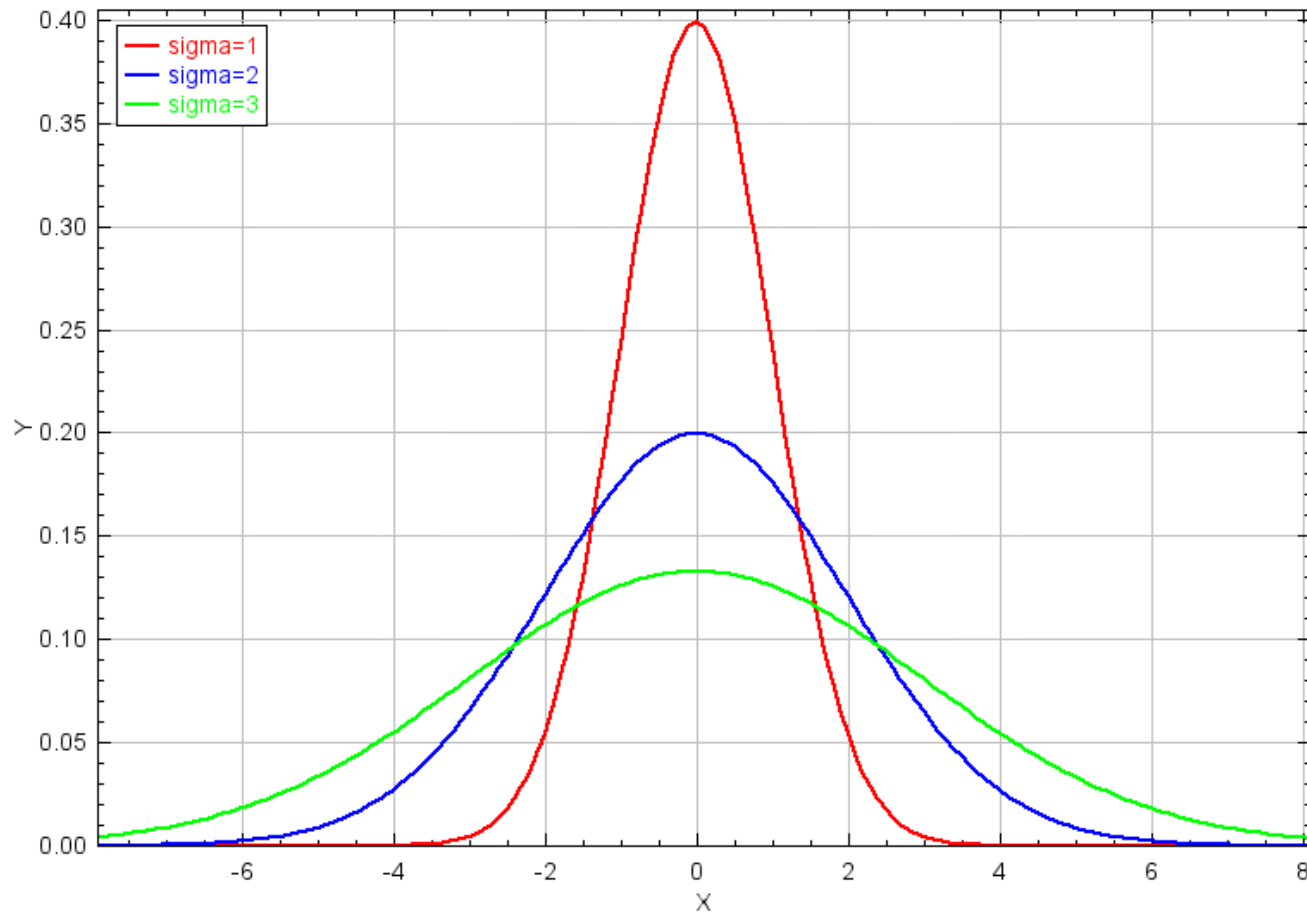
for(i =-N; i<N+dokladnosc; i+=dokladnosc)
{
    tab_x[(i+N)/dokladnosc] = i;
    tab_y[(i+N)/dokladnosc] = Gauss1D(i, s);
}

function Gauss(x, y, sigma)
{
    return (1.0 / (sqrt(2*PI* sigma*sigma))) * exp( -(x*x)/(2.0*sigma*sigma) );
}

Plot.add("line", tab_x, tab_y);
```

Filtr Gaussa

$$G(x) = \frac{1}{\sqrt{2\pi\sigma^2}} e^{-\frac{x^2}{2\sigma^2}}$$



Filtr Gaussa

2D

$$G(x) = \frac{1}{\sqrt{2\pi\sigma^2}} e^{-\frac{x^2}{2\sigma^2}}$$

1D

$$G(x, y) = \frac{1}{2\pi\sigma^2} e^{-\frac{x^2+y^2}{2\sigma^2}}$$

2D

```
s = 3.0;

N = 4; // rozmiar 2*N+1, czyli 9

for(i=-N; i<=N; i++)
{
    linia="";

    for(j=-N; j<=N; j++)
        linia+= " " + round( 100* Gauss(i, j, s));
    print(linia);
}

function Gauss(x, y, sigma)
{
    return (1.0 / (2*PI* sigma*sigma)) * exp( -(x*x + y*y)/(2.0*sigma*sigma) );
}
```


Filtr Gaussa

sigma=1

0	0	0	0	0	0	0	0	0
0	0	0	0	0	0	0	0	0
0	0	0	1	2	1	0	0	0
0	0	1	6	10	6	1	0	0
0	0	2	10	16	10	2	0	0
0	0	1	6	10	6	1	0	0
0	0	0	1	2	1	0	0	0
0	0	0	0	0	0	0	0	0
0	0	0	0	0	0	0	0	0

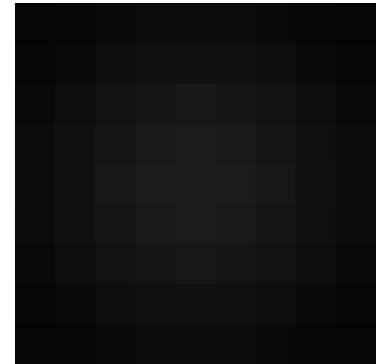
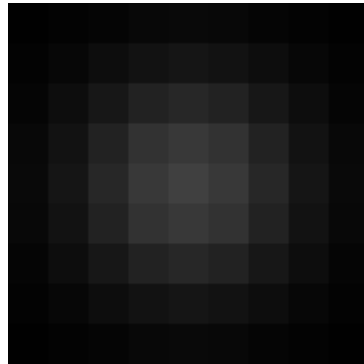
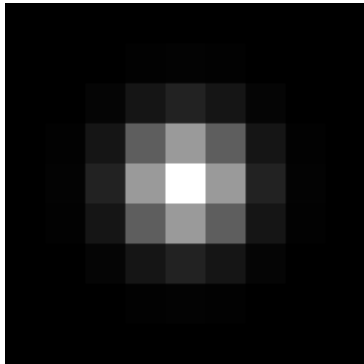
sigma=2

0	0	0	0	1	0	0	0	0
0	0	1	1	1	1	1	0	0
0	1	1	2	2	2	1	1	0
0	1	2	3	4	3	2	1	0
1	1	2	4	4	4	2	1	1
0	1	2	3	4	3	2	1	0
0	1	1	2	2	2	1	1	0
0	0	1	1	1	1	1	0	0
0	0	0	0	1	0	0	0	0

sigma=3

0	0	1	1	1	1	1	0	0
0	1	1	1	1	1	1	1	0
1	1	1	1	1	1	1	1	1
1	1	1	2	2	2	1	1	1
1	1	1	2	2	2	1	1	1
1	1	1	2	2	2	1	1	1
1	1	1	1	1	1	1	1	1
0	1	1	1	1	1	1	1	0
0	0	1	1	1	1	1	0	0

kernel:



Laplacian of Gaussian

Złożenie transformacji 1) Gaussian, 2) Laplacian

$$\text{LoG}(x, y) = -\frac{1}{\pi\sigma^4} \left[1 - \frac{x^2 + y^2}{2\sigma^2} \right] e^{-\frac{x^2 + y^2}{2\sigma^2}}$$

```
s = 3.0;

N = 4; // rozmiar 2*N+1, czyli 9

for(i=-N; i<=N; i++)
{
    linia="";

    for(j=-N; j<=N; j++)
        linia+= " " + round( 100* LoG(i, j, s));
    print(linia);
}

function LoG(x, y, sg)
{
    return - (1.0 / (PI* sg*sg*sg*sg)) * (1.0 - (x*x + y*y)/(2.0*sg*sg)) * exp( -(x*x + y*y)/(2.0*sg*sg) ) ;
}
```

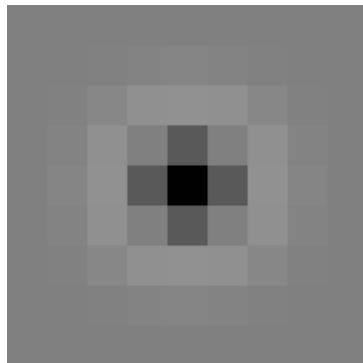
Laplacian of Gaussian

sigma=1.0

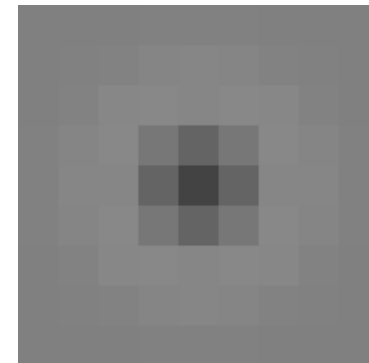
0	0	0	0	0	0	0	0	0
0	0	0	1	1	1	0	0	0
0	0	2	4	4	4	2	0	0
0	1	4	0	-10	0	4	1	0
0	1	4	-10	-32	-10	4	1	0
0	1	4	0	-10	0	4	1	0
0	0	2	4	4	4	2	0	0
0	0	0	1	1	1	0	0	0
0	0	0	0	0	0	0	0	0

sigma=1.2

0	0	0	0	0	0	0	0	0
0	0	1	1	1	1	1	0	0
0	1	2	2	1	2	2	1	0
0	1	2	-2	-7	-2	2	1	0
0	1	1	-7	-15	-7	1	1	0
0	1	2	-2	-7	-2	2	1	0
0	1	2	2	1	2	2	1	0
0	0	1	1	1	1	1	0	0
0	0	0	0	0	0	0	0	0



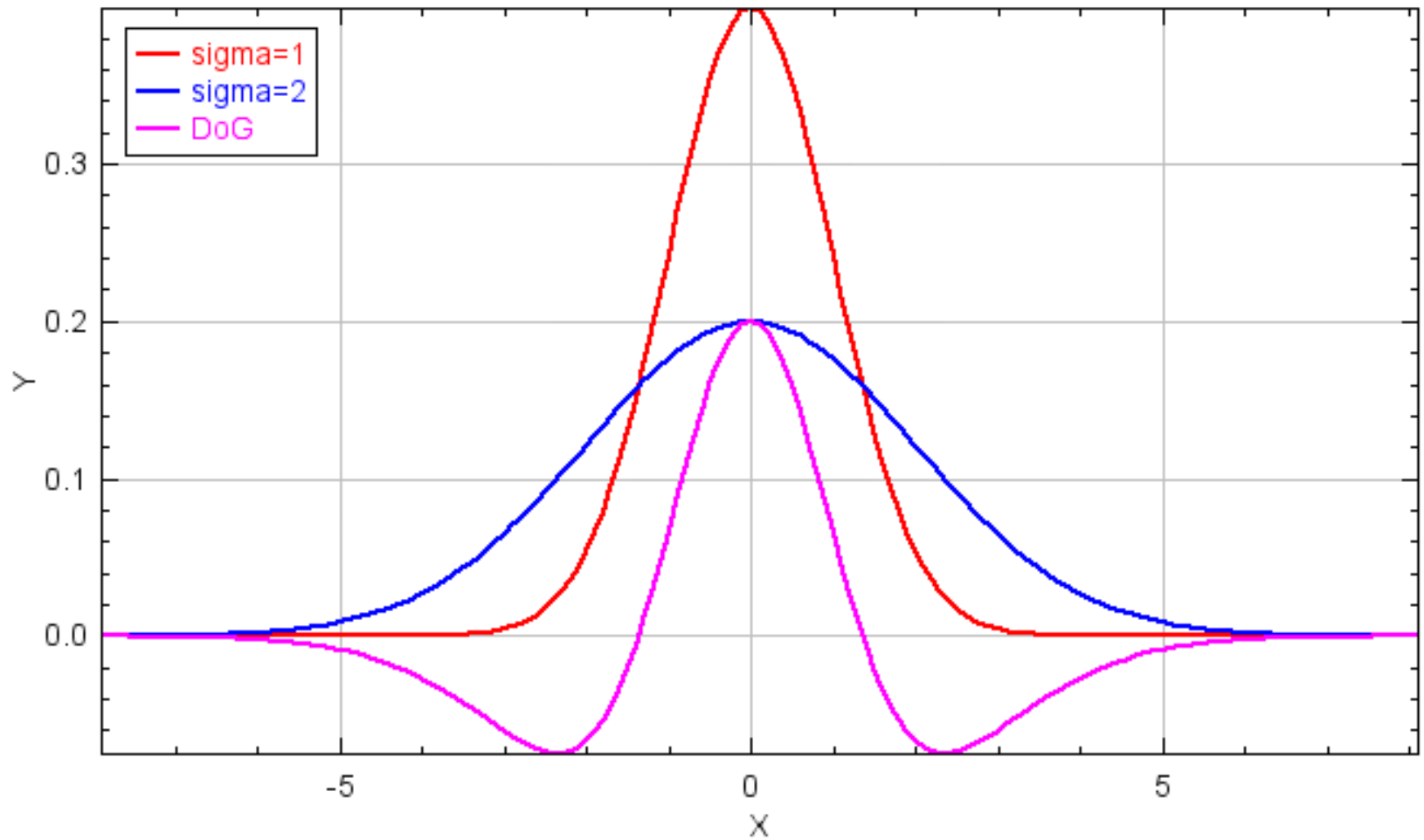
obrazy przesunięte +128



BLOB DETECTION

Mexican Hat

Difference of Gaussian



Difference of Gaussian

sigma=1

0	0	0	0	0	0	0	0	0
0	0	0	0	0	0	0	0	0
0	0	0	1	2	1	0	0	0
0	0	1	6	10	6	1	0	0
0	0	2	10	16	10	2	0	0
0	0	1	6	10	6	1	0	0
0	0	0	1	2	1	0	0	0
0	0	0	0	0	0	0	0	0
0	0	0	0	0	0	0	0	0

sigma=2

0	0	0	0	1	0	0	0	0
0	0	1	1	1	1	1	0	0
0	1	1	2	2	2	1	1	0
0	1	2	3	4	3	2	1	0
1	1	2	4	4	4	2	1	1
0	1	2	3	4	3	2	1	0
0	1	1	2	2	2	1	1	0
0	0	1	1	1	1	1	0	0
0	0	0	0	1	0	0	0	0

sigma=3

0	0	1	1	1	1	1	0	0
0	1	1	1	1	1	1	1	0
1	1	1	1	1	1	1	1	1
1	1	1	2	2	2	1	1	1
1	1	1	2	2	2	1	1	1
1	1	1	2	2	2	1	1	1
1	1	1	1	1	1	1	1	1
0	1	1	1	1	1	1	1	0
0	0	1	1	1	1	1	0	0

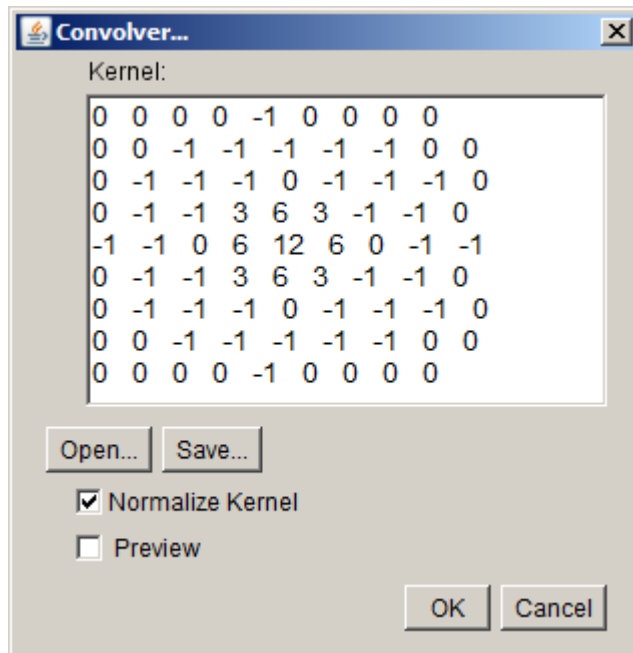
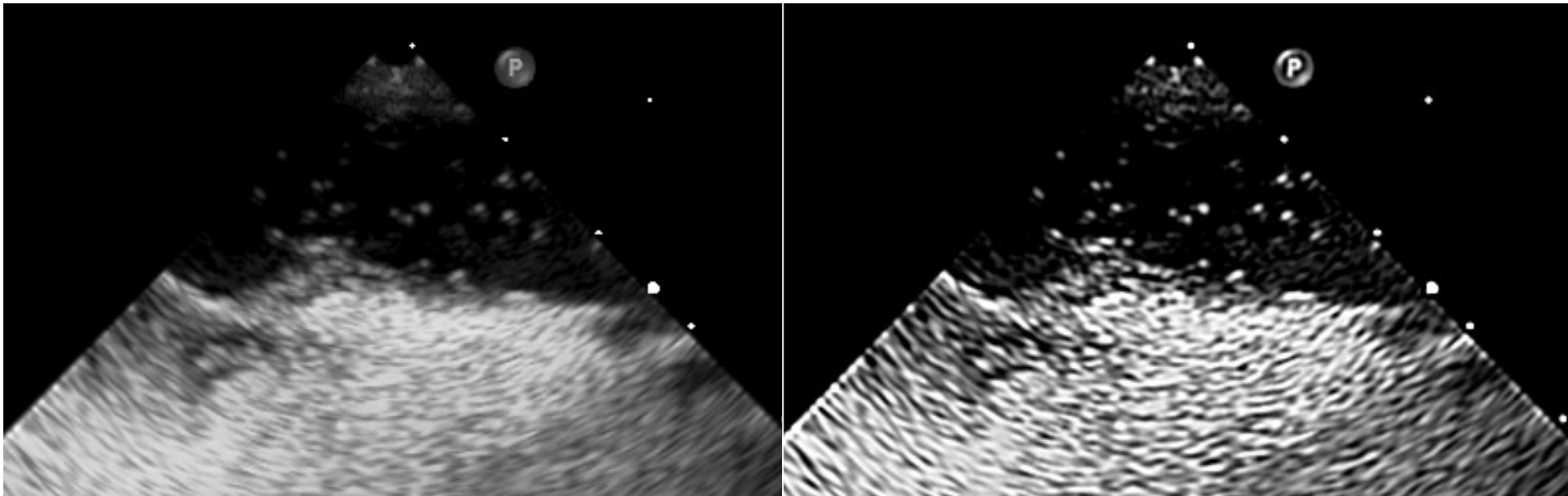
sigma=1 - sigma=2

0	0	0	0	-1	0	0	0	0
0	0	-1	-1	-1	-1	-1	0	0
0	-1	-1	-1	0	-1	-1	-1	0
0	-1	-1	3	6	3	-1	-1	0
-1	-1	0	6	12	6	0	-1	-1
0	-1	-1	3	6	3	-1	-1	0
0	-1	-1	-1	0	-1	-1	-1	0
0	0	-1	-1	-1	-1	-1	0	0
0	0	0	0	-1	0	0	0	0

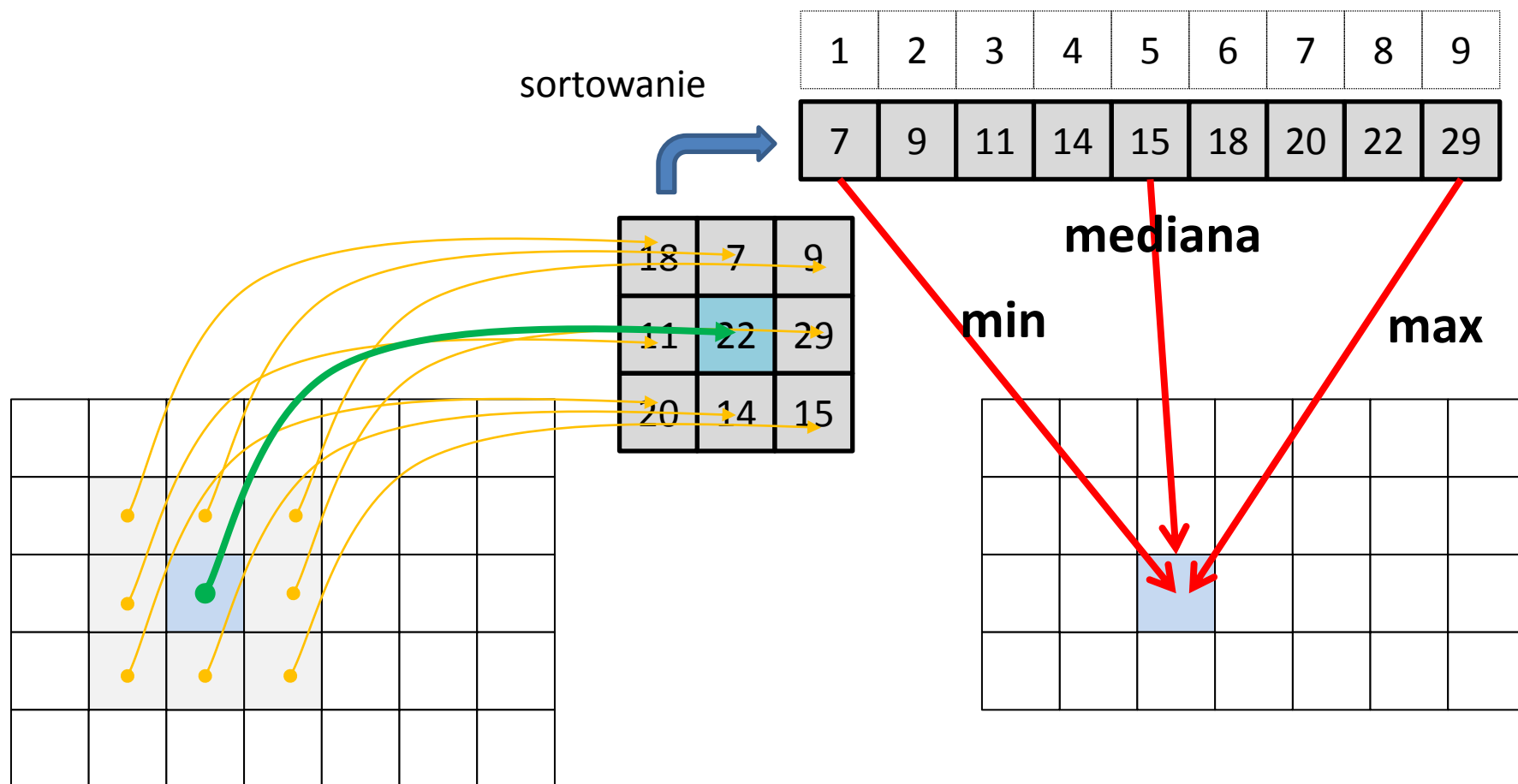
sigma=1 - sigma=3

0	0	-1	-1	-1	-1	-1	0	0
0	-1	-1	-1	-1	-1	-1	-1	0
-1	-1	-1	0	1	0	-1	-1	-1
-1	-1	0	4	8	4	0	-1	-1
-1	-1	1	8	14	8	1	-1	-1
-1	-1	0	4	8	4	0	-1	-1
-1	-1	-1	0	1	0	-1	-1	-1
0	-1	-1	-1	-1	-1	-1	-1	0
0	0	-1	-1	-1	-1	-1	0	0

Difference of Gaussian

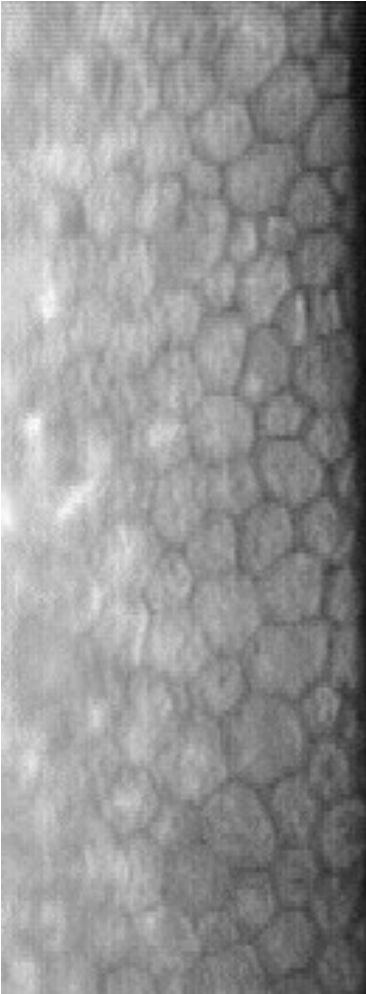


Filtry rankingowe

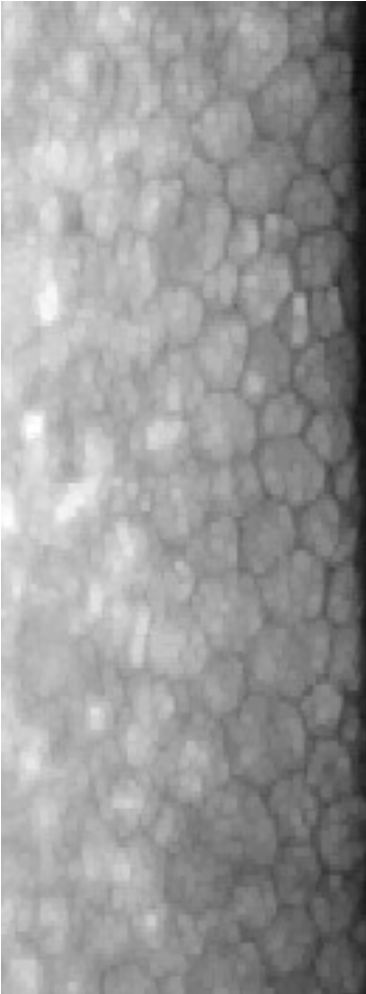


- nie wprowadzają nowych wartości poziomów jasności
- mediana w dużym stopniu pozostawia definicję krawędzi

Filtr maksymalny – przykład wykorzystania



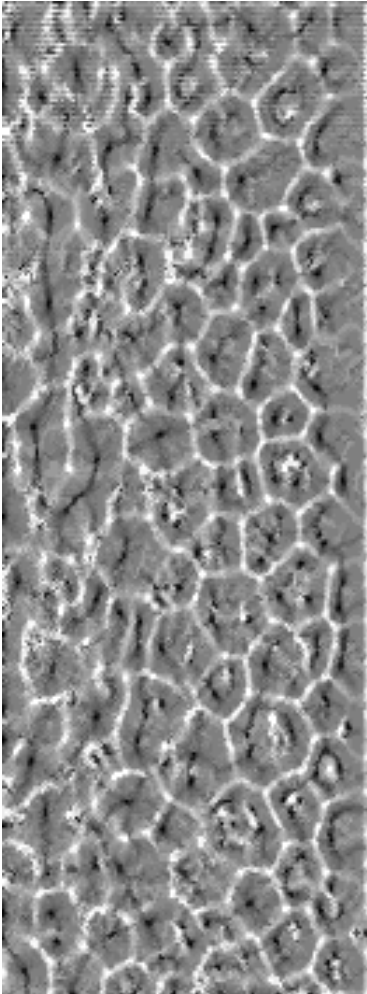
org



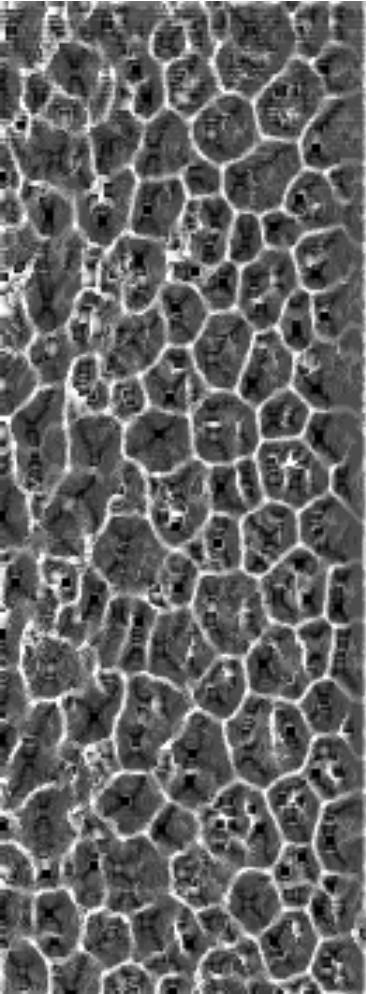
max [3x3]



mean r=3.5
max [3x3]

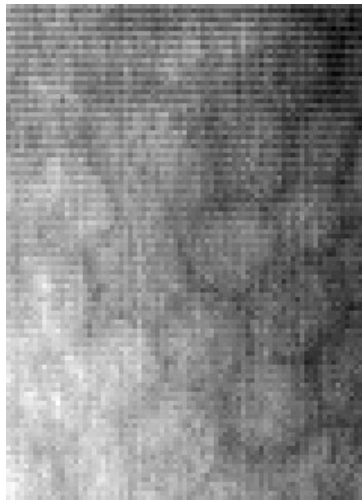


mean r=3.5
SDAr3

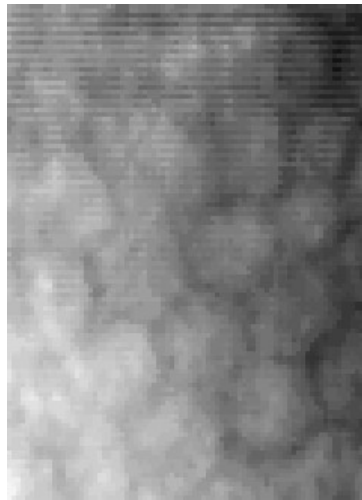


mean r=3.5
max [3x3]
SDAr3

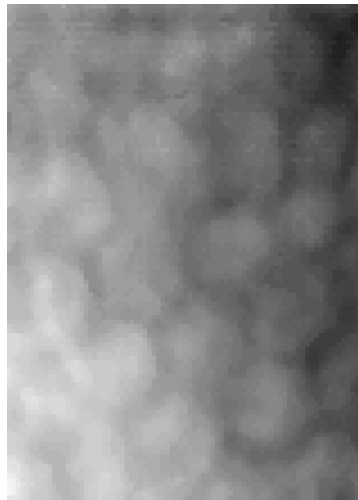
Mediana a uśrednianie



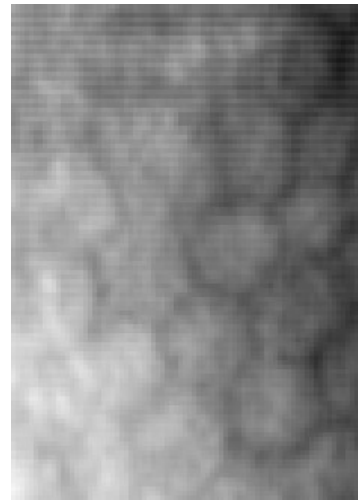
obraz źródłowy



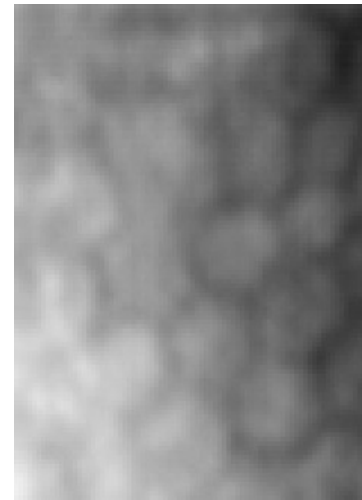
mediana r=1



mediana r=2



średnia r=1



średnia r=2

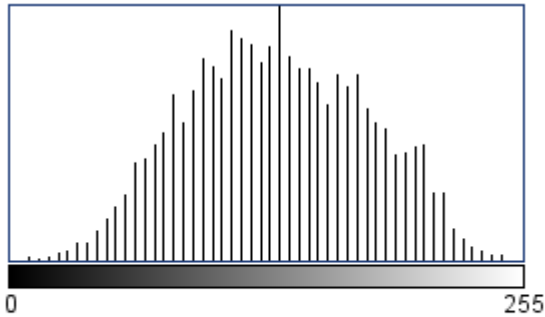


Różnica między medianą r=2
a średnią r=2, pomnożona 8x



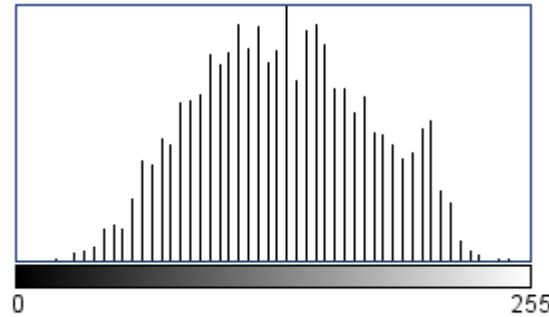
Różnica w stosunku do obrazu źródłowego, pomnożona x4

Mediana a úśrednianie



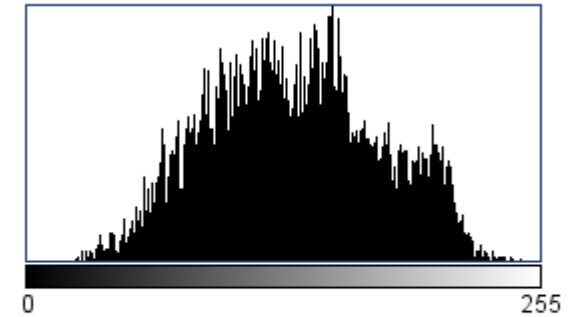
N: 8690
Mean: 132.410
StdDev: 45.093
Value: 232
Min: 0
Max: 255
Mode: 134 (390)
Count: 0

obraz zdrojowy



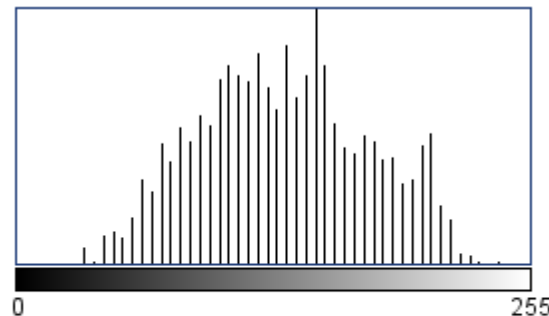
N: 8690
Mean: 132.444
StdDev: 43.139
Value: 13
Min: 19
Max: 245
Mode: 134 (393)
Count: 0

mediana r=1



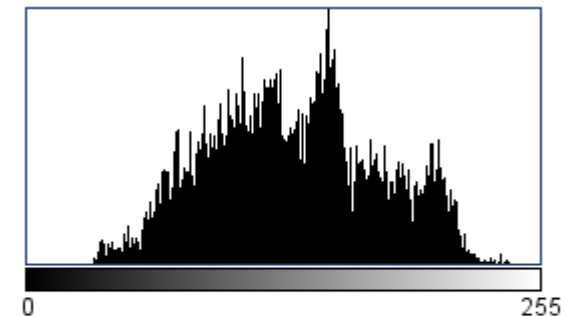
N: 8690
Mean: 132.412
StdDev: 42.930
Min: 24
Max: 246
Mode: 152 (94)

średnia r=1



N: 8690
Mean: 132.548
StdDev: 42.486
Value: 9
Min: 28
Max: 245
Mode: 149 (464)
Count: 0

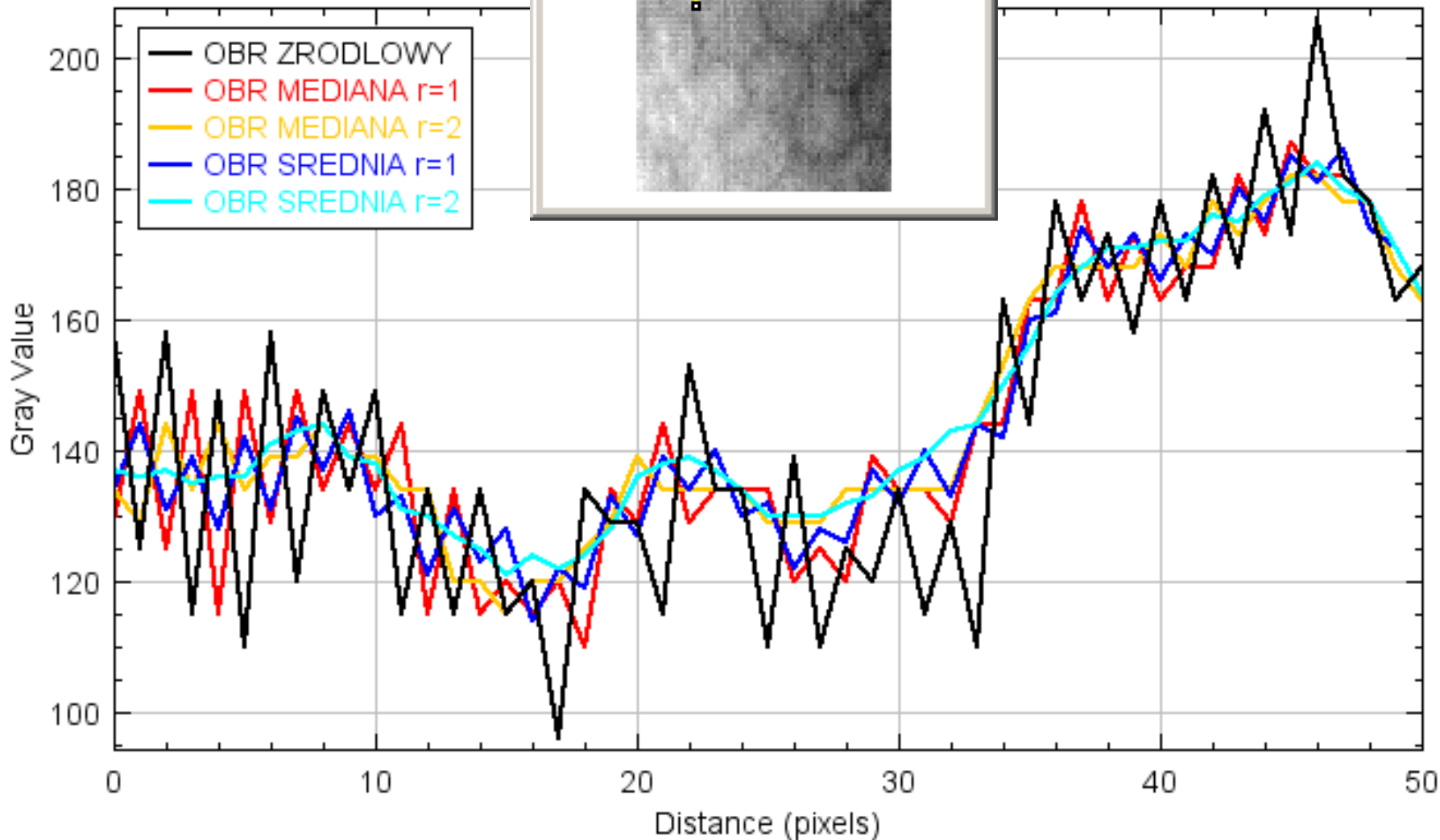
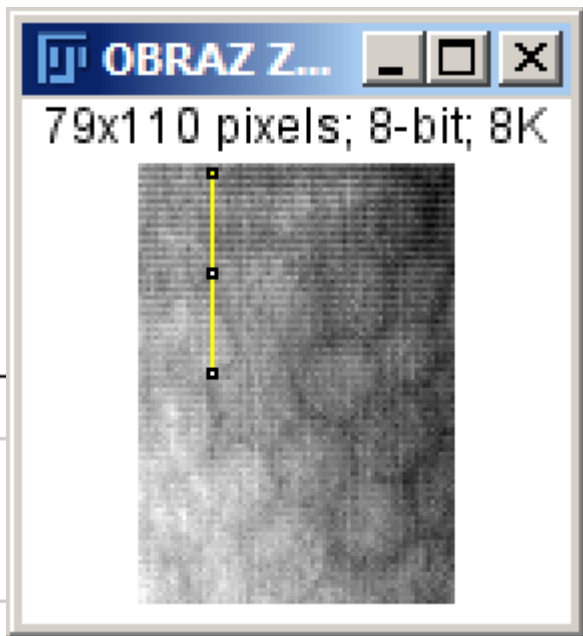
mediana r=2



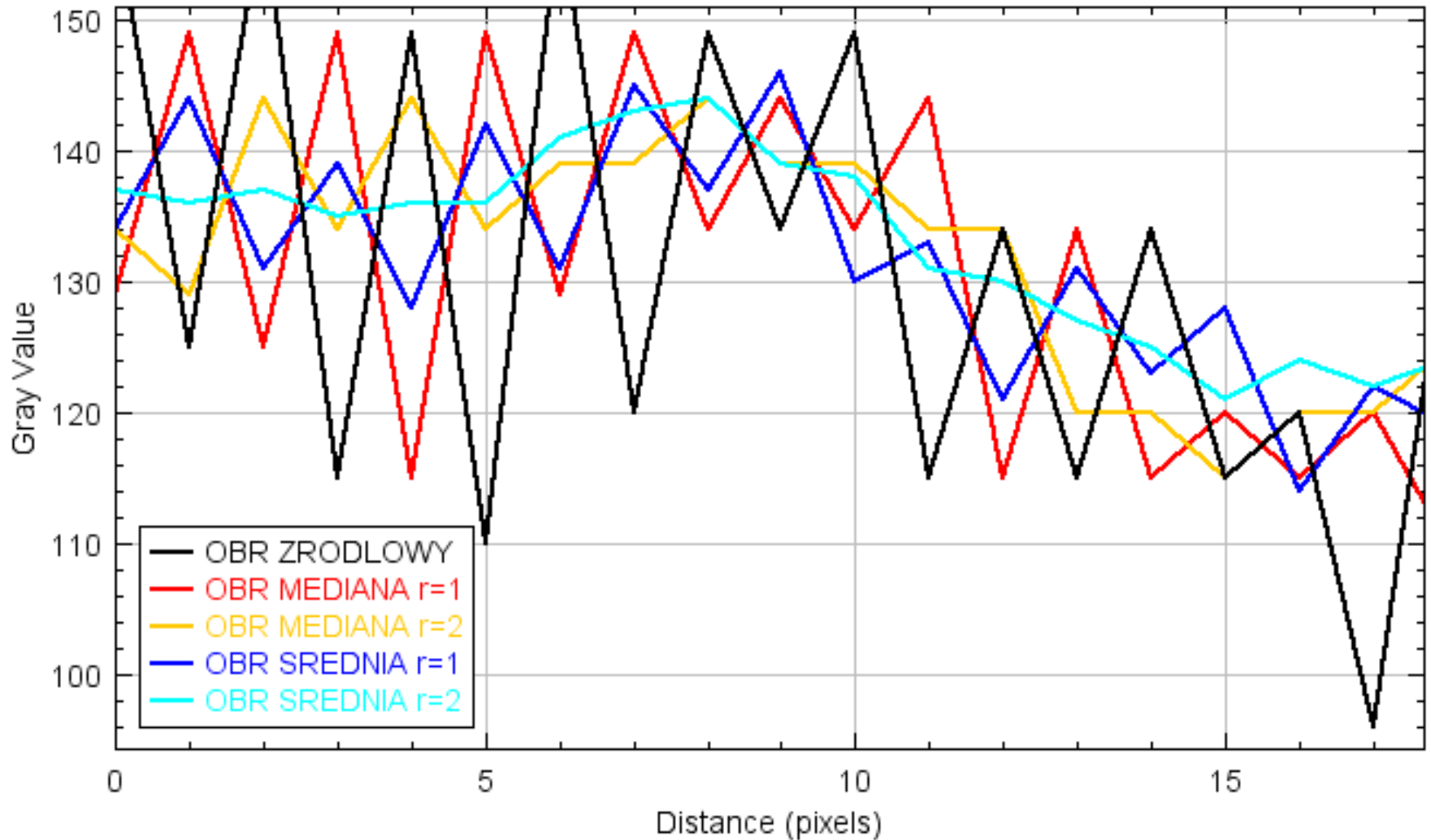
N: 8690
Mean: 132.461
StdDev: 42.432
Value: ---
Min: 33
Max: 240
Mode: 150 (114)
Count: ---

średnia r=2

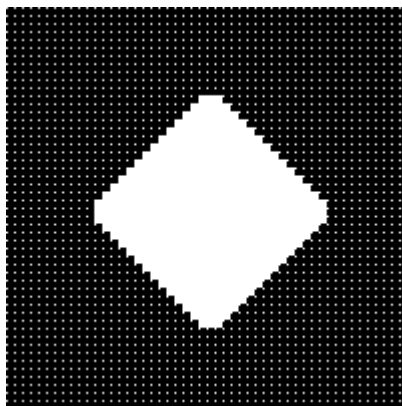
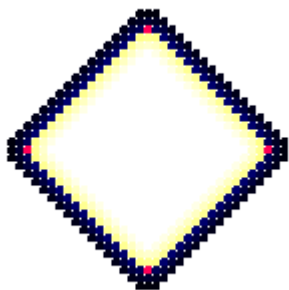
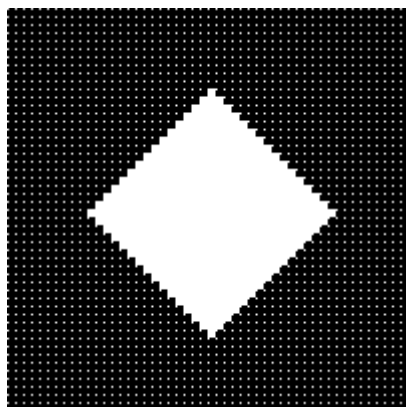
Mediana a úśrednianie



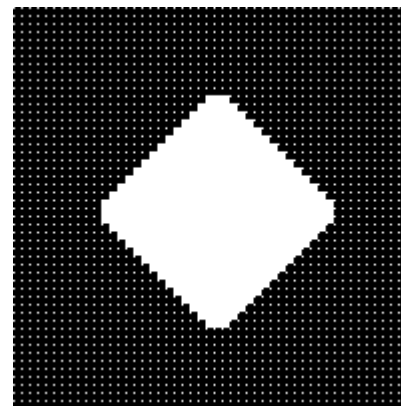
Mediana a úśrednianie



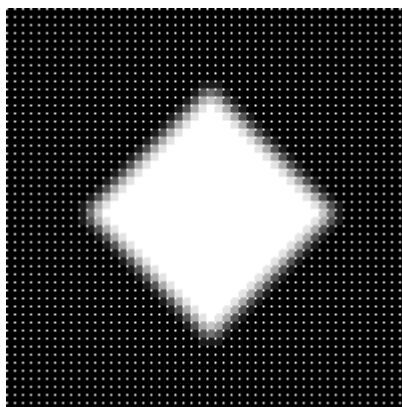
Mediana a ušrednianie



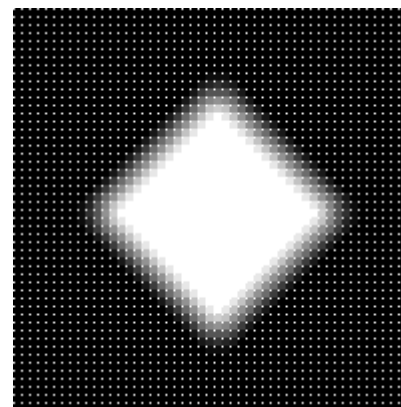
mediana r=1



mediana r=2



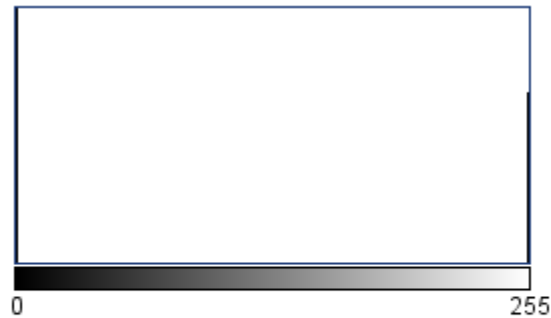
šrednia r=1



šrednia r=2

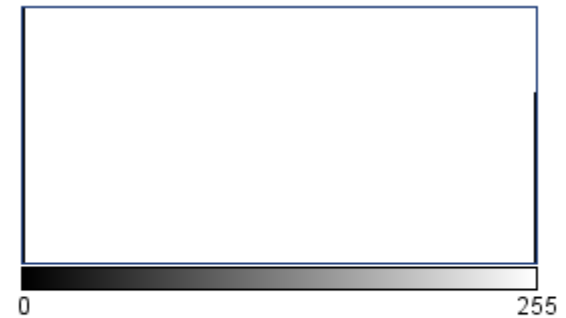
Mediana a ušrednianie

mediana r=1

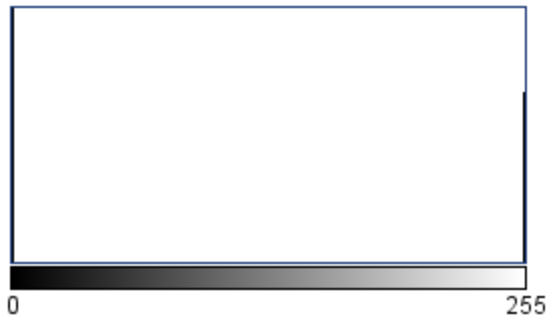


N: 2500
Mean: 48.654
StdDev: 100.218
Value: 254
Min: 0
Max: 255
Mode: 0 (2023)
Count: 0

mediana r=2

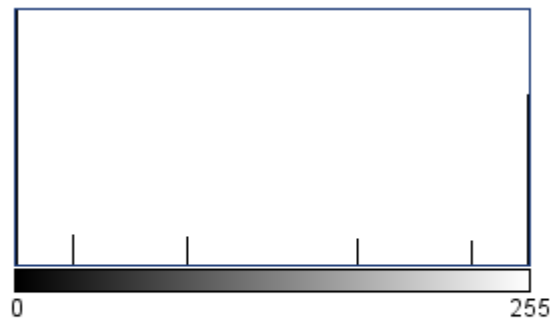


N: 2500
Mean: 48.654
StdDev: 100.218
Value: 241
Min: 0
Max: 255
Mode: 0 (2023)
Count: 0



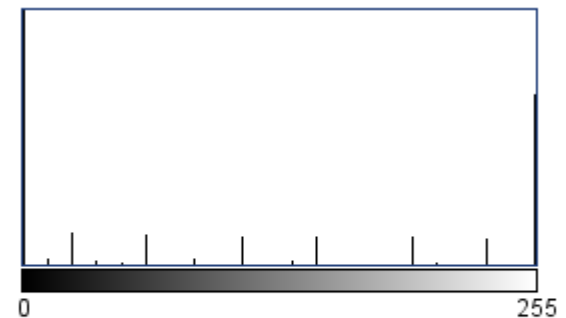
N: 2500
Mean: 49.062
StdDev: 100.537
Value: 189
Min: 0
Max: 255
Mode: 0 (2019)
Count: 0

šrednia r=1

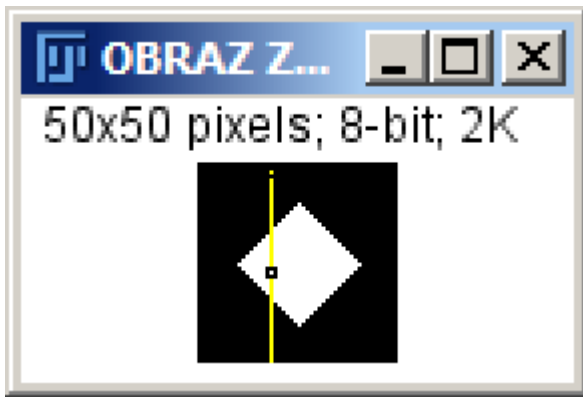


N: 2500
Mean: 49.059
StdDev: 95.329
Min: 0
Max: 255
Mode: 0 (1891)
Count: 0

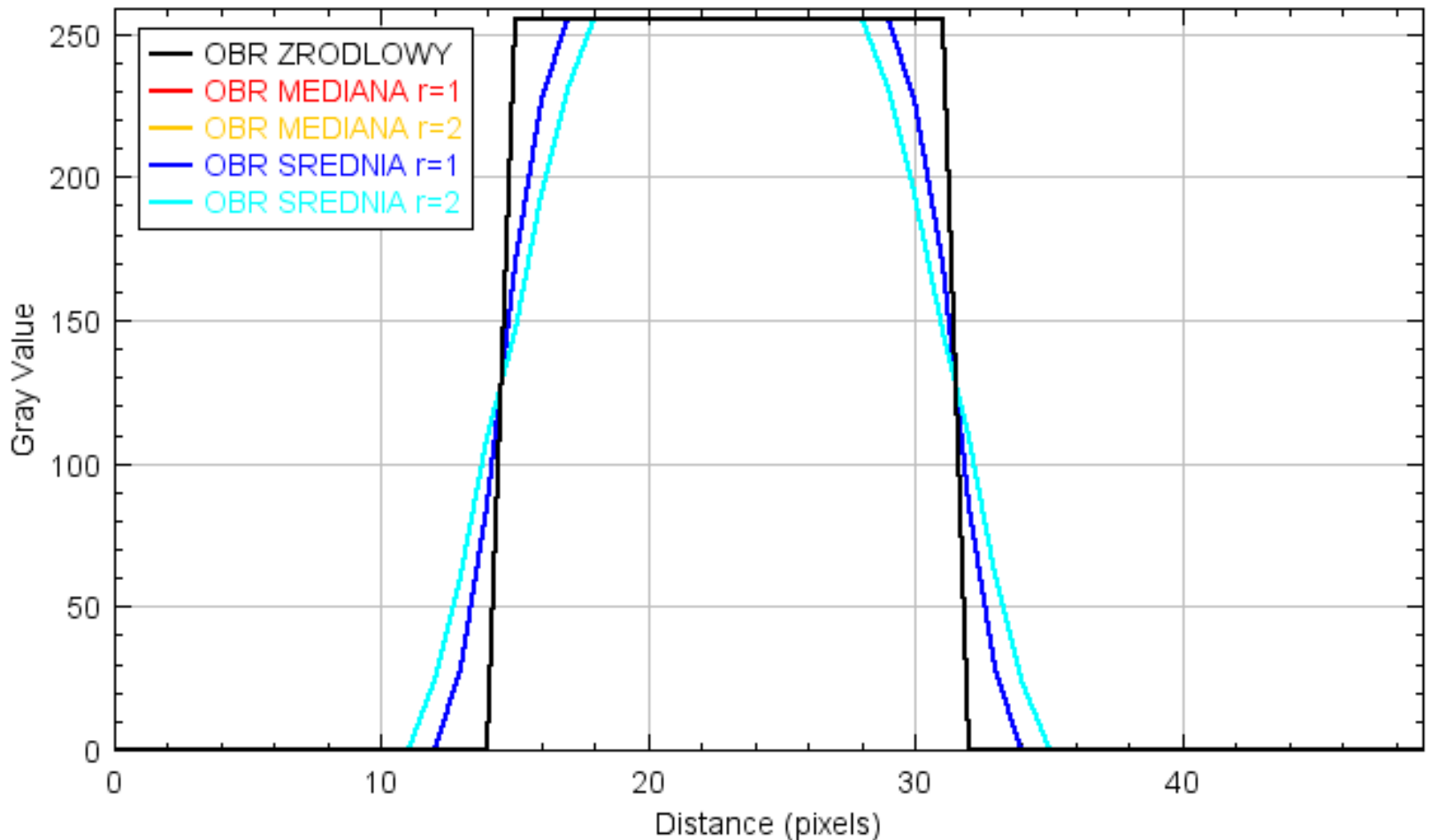
šrednia r=2

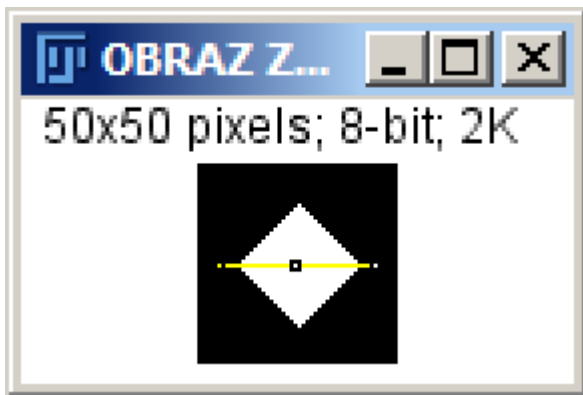


N: 2500
Mean: 49.060
StdDev: 92.203
Value: 150
Min: 0
Max: 255
Mode: 0 (1819)
Count: 0

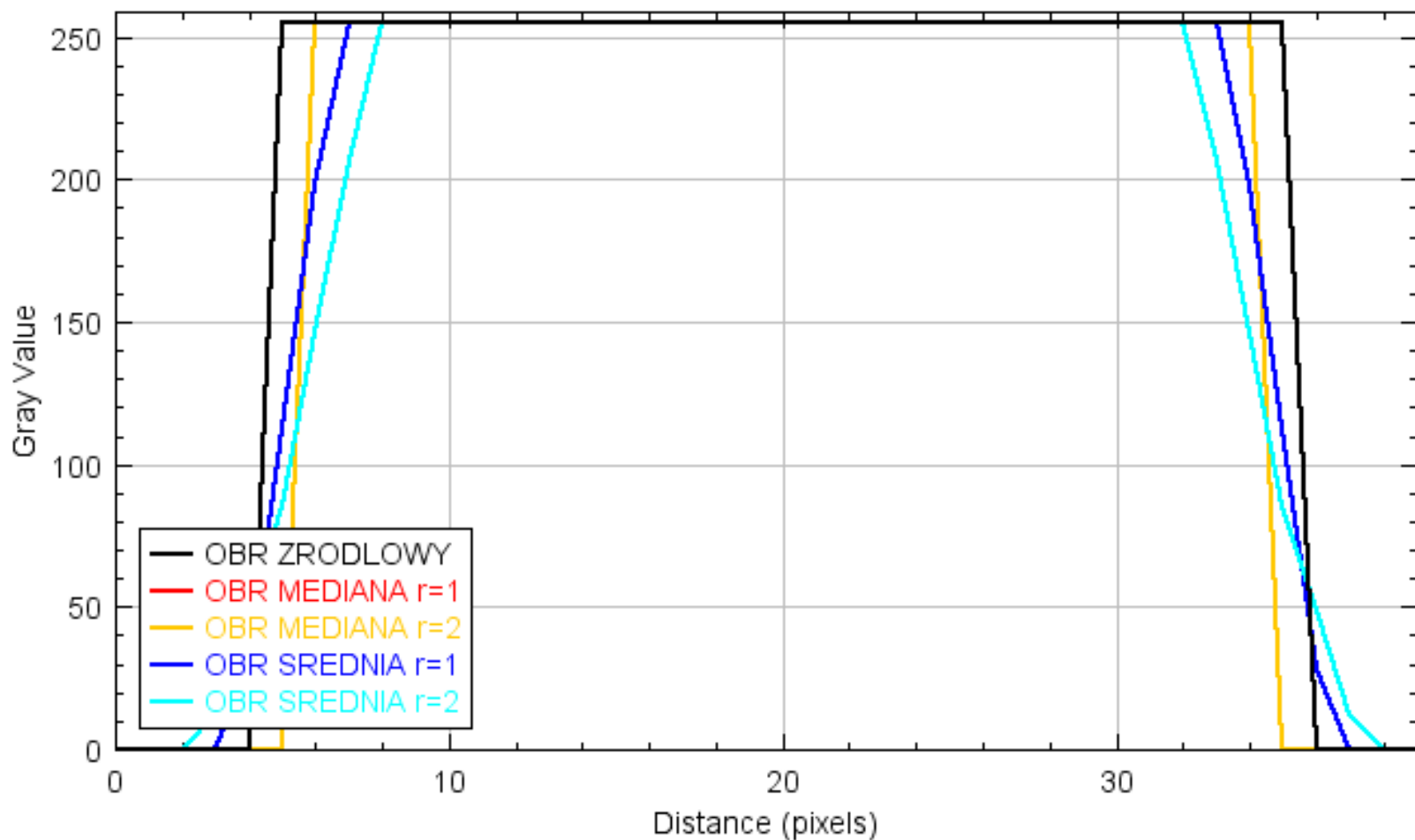


Mediana a úśrednianie





Mediana a ušrednianie



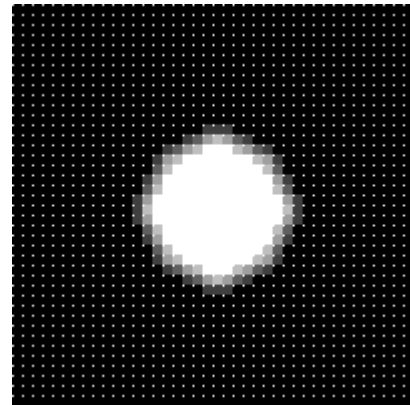
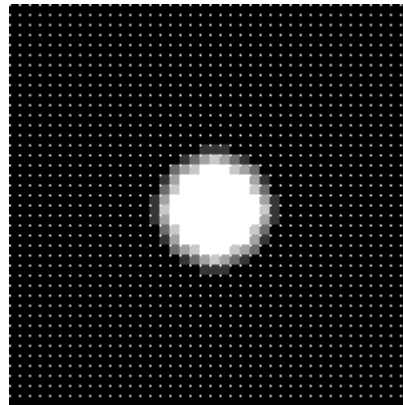
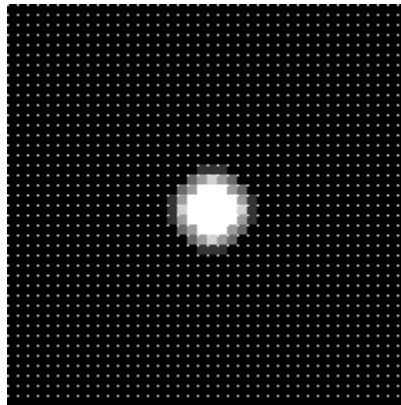
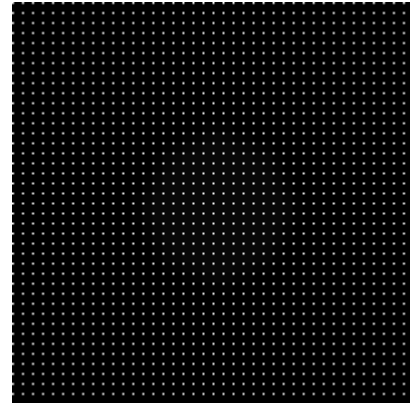
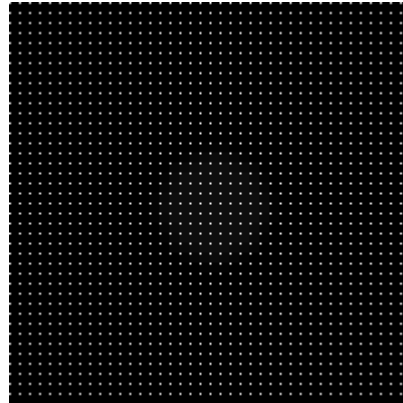
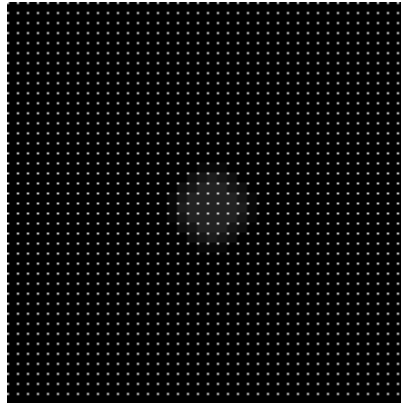
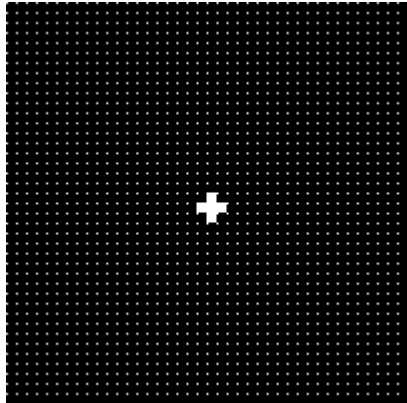
Mediana a uśrednianie - sąsiedztwo

obraz źródłowy

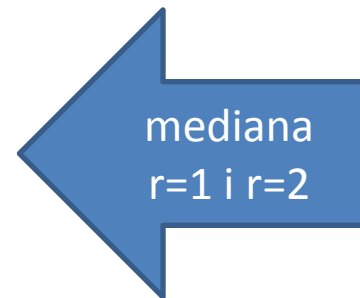
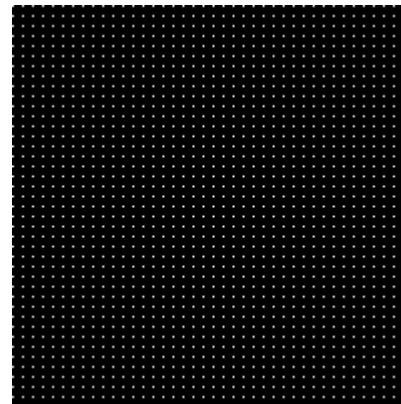
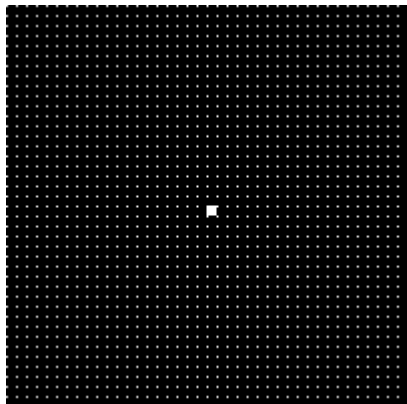
średnia r=3

średnia r=5

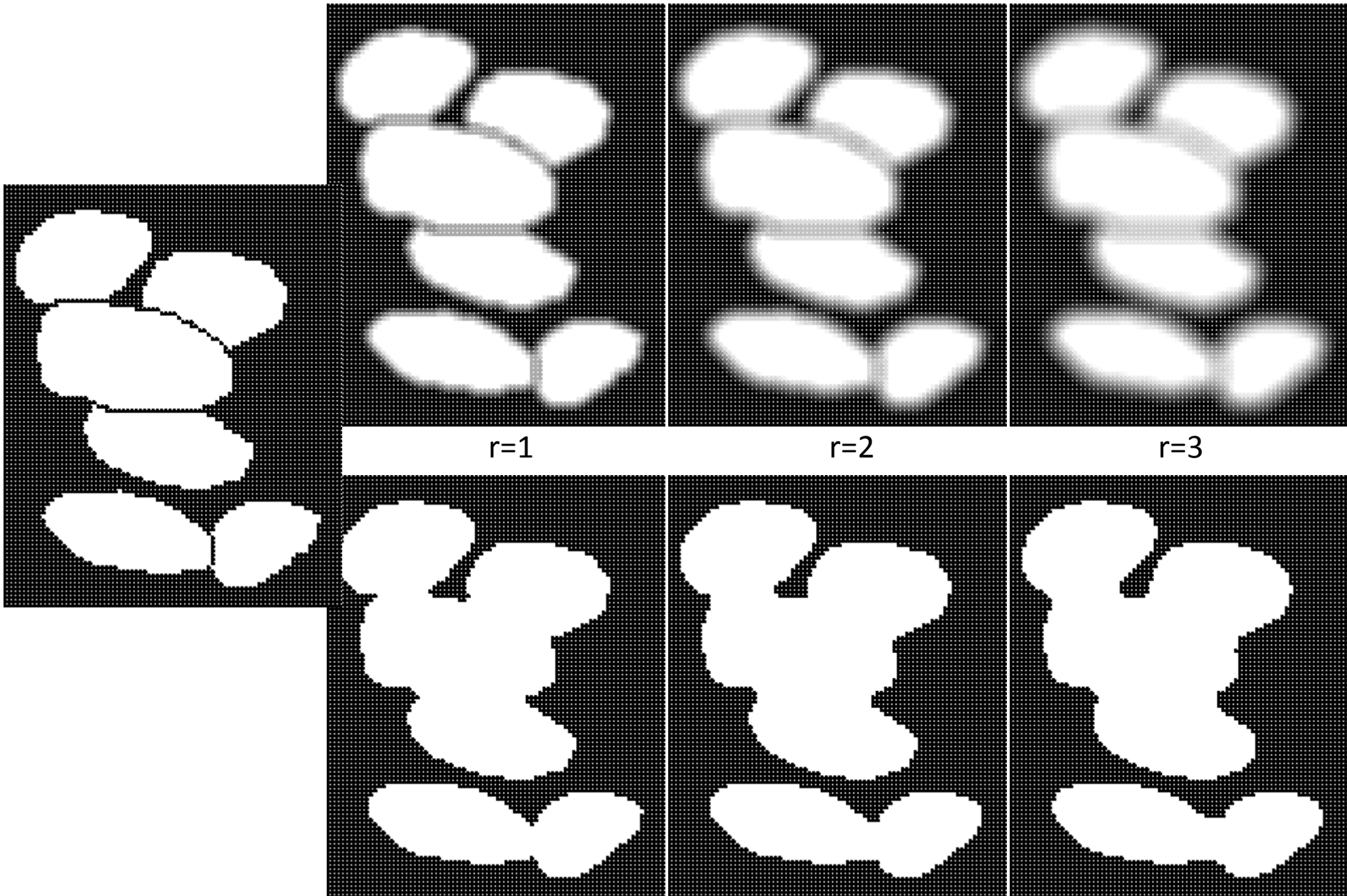
średnia r=7



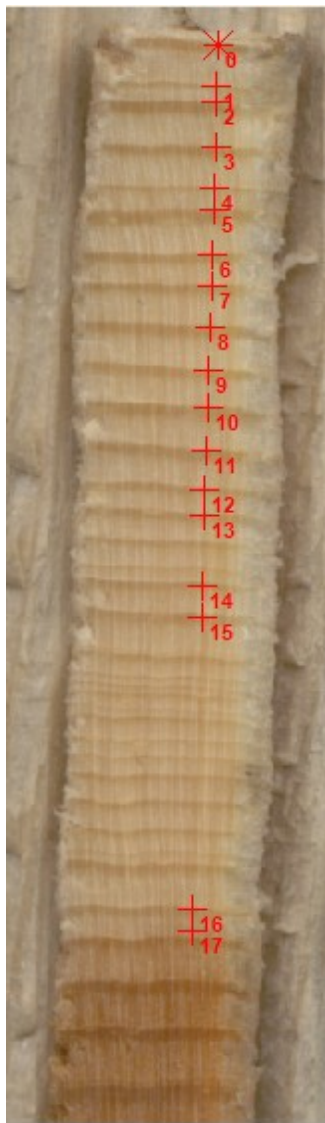
}
znormalizowane



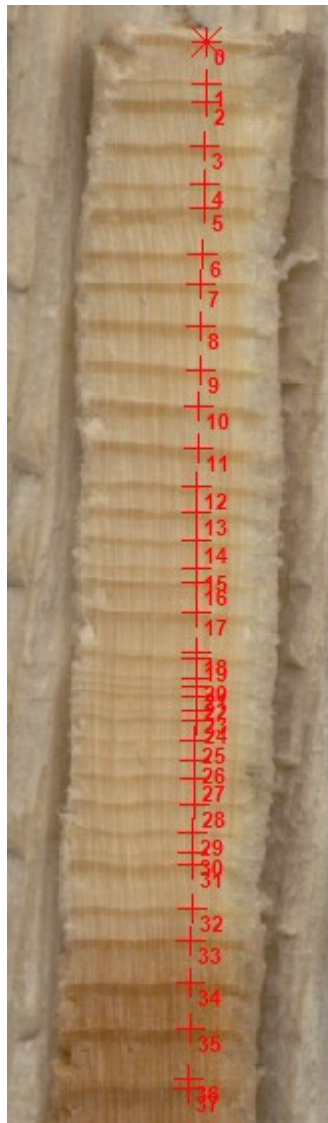
Mediana a uśrednianie - sąsiedztwo



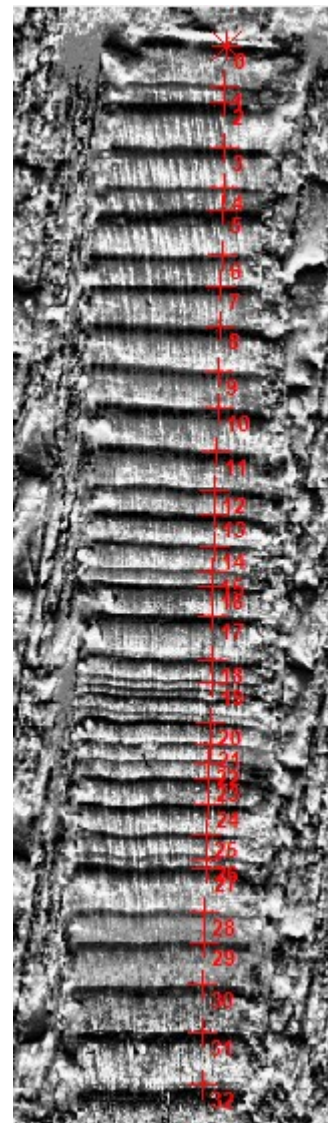
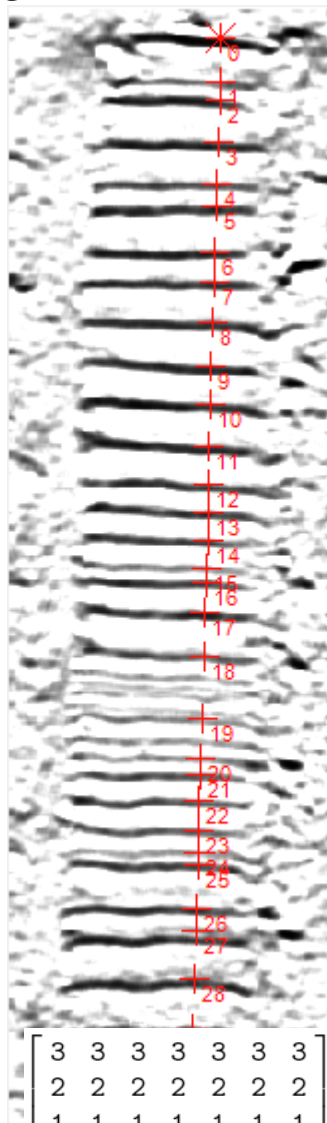
Filtracja kierunkowa



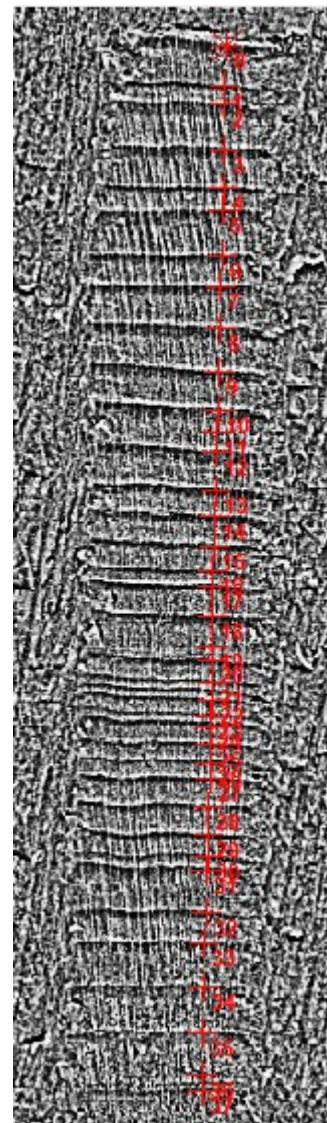
program X



ręcznie

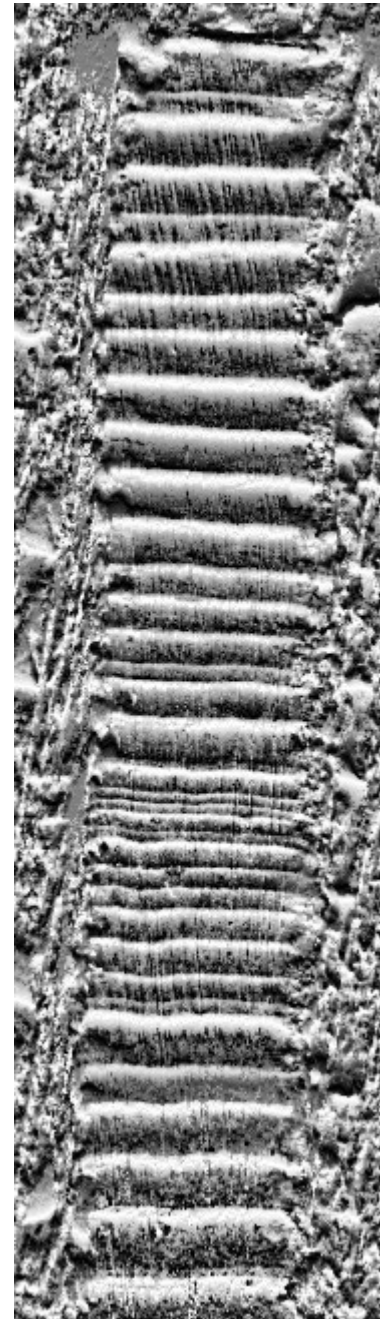
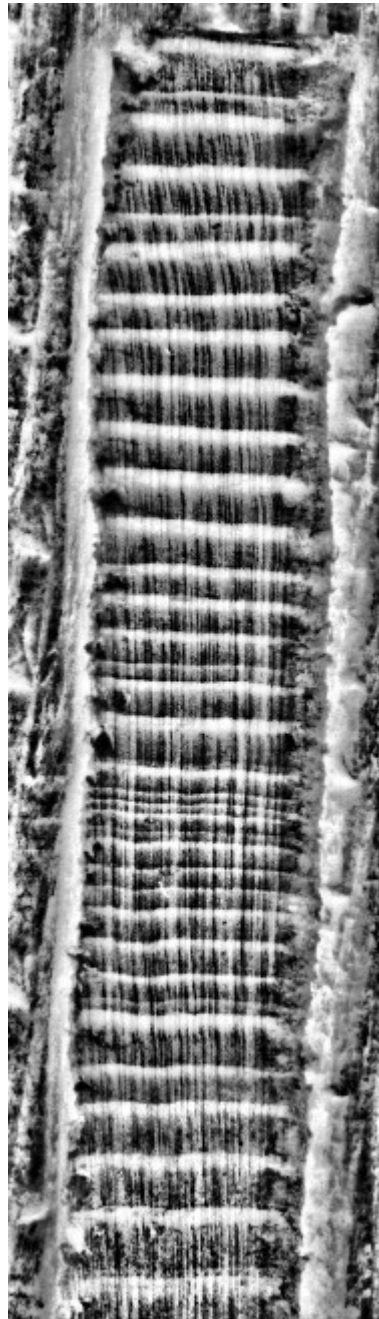
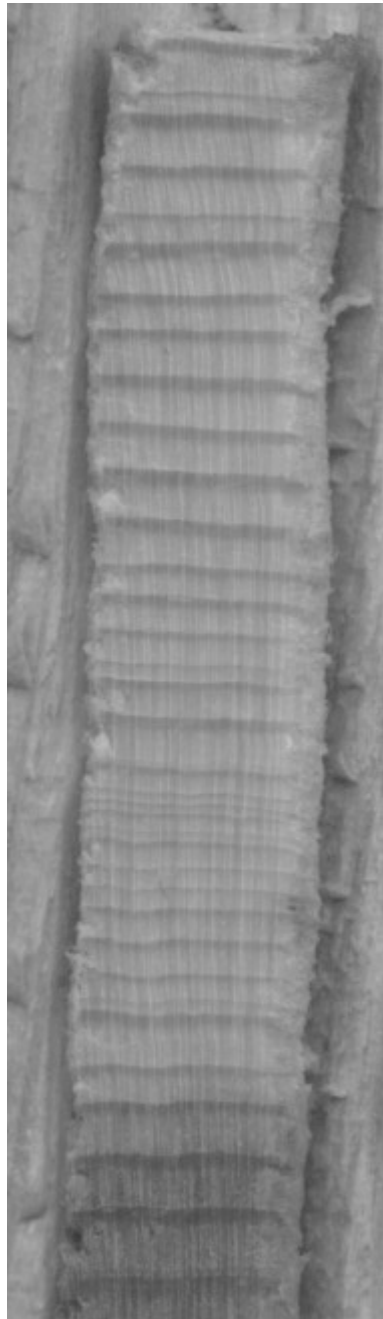


SDA, $r=30H$



norm $r=30$
SDA, $r=30H$

Filtracja kierunkowa



(3)
dla maski
koło,
 $r=20$

(4)
dla maski
pionowej,
 $r=20$

Filtry oszczędzające krawędzie

- Sigma Filter
- Non-Local Means
- Kuwahara
- Bilateral Filter
- Anisotropic Diffusion
- ...

Lokalne wyrównywanie histogramu

- wykonywane w zadanym sąsiedztwie (punkt centralny histogramu),
 - AHE – Adaptive Histogram Equalization
 - CLAHE – Contrast Limited AHE
-
- jest parametryczne (zależy od rozmiaru regionu)
 - zwiększa kontrast krawędzi
 - zwiększa udział szumu ...

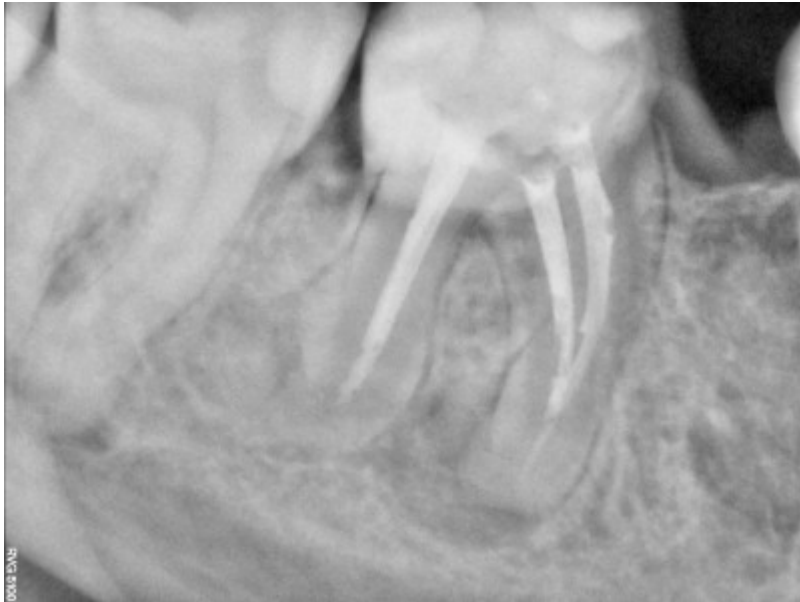
Autorska kombinacja 😊



src



HIST EQ

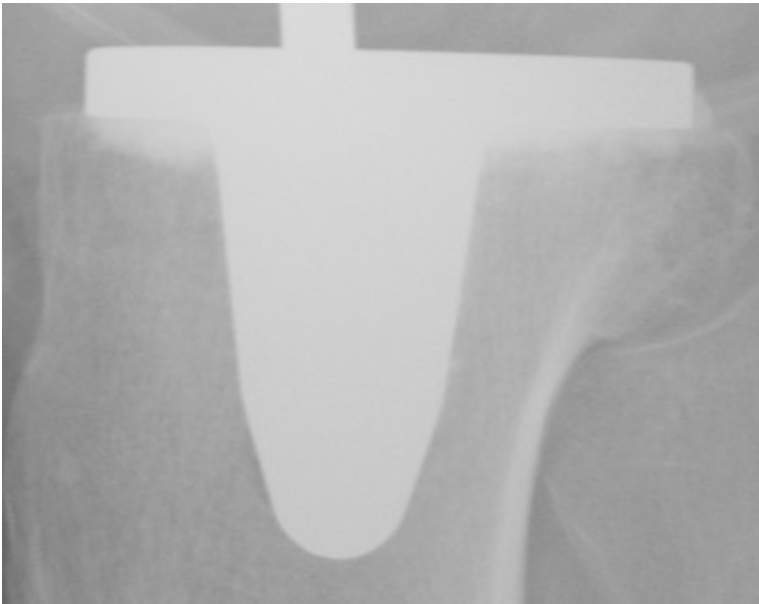


CLAHE

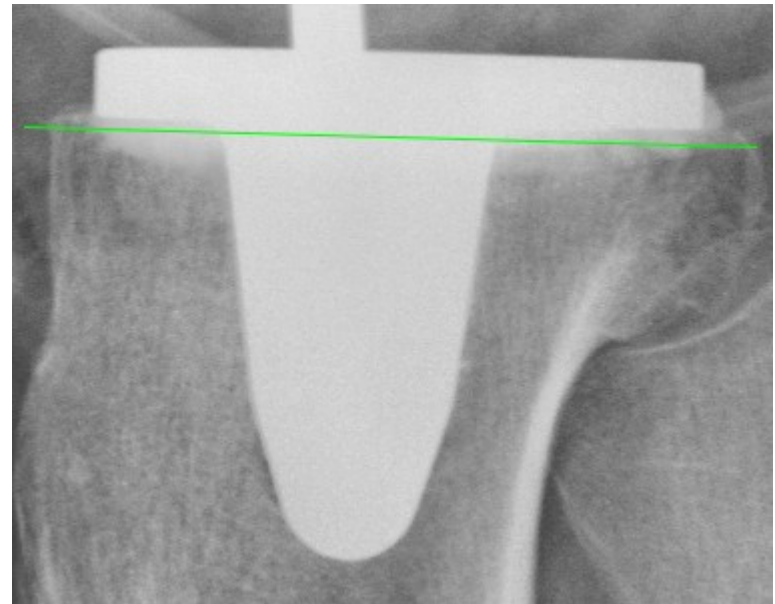
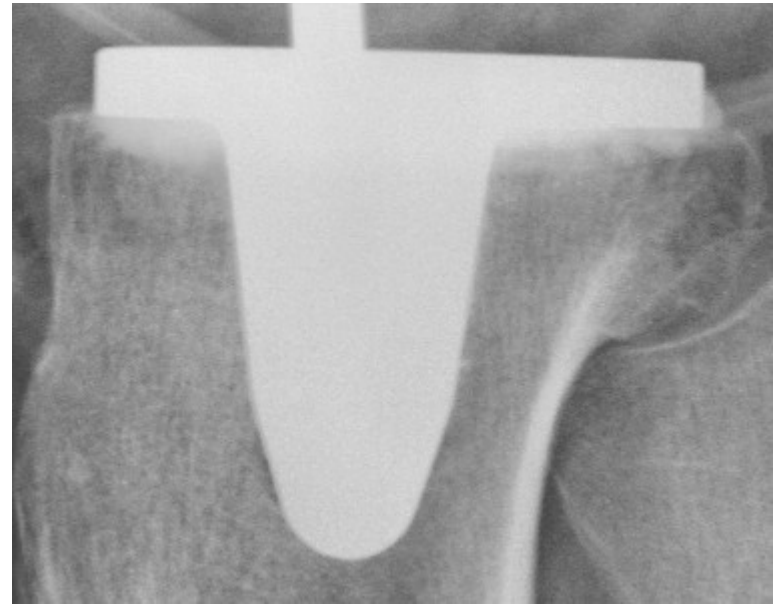


CLAHE -> HISTEQ

SRC

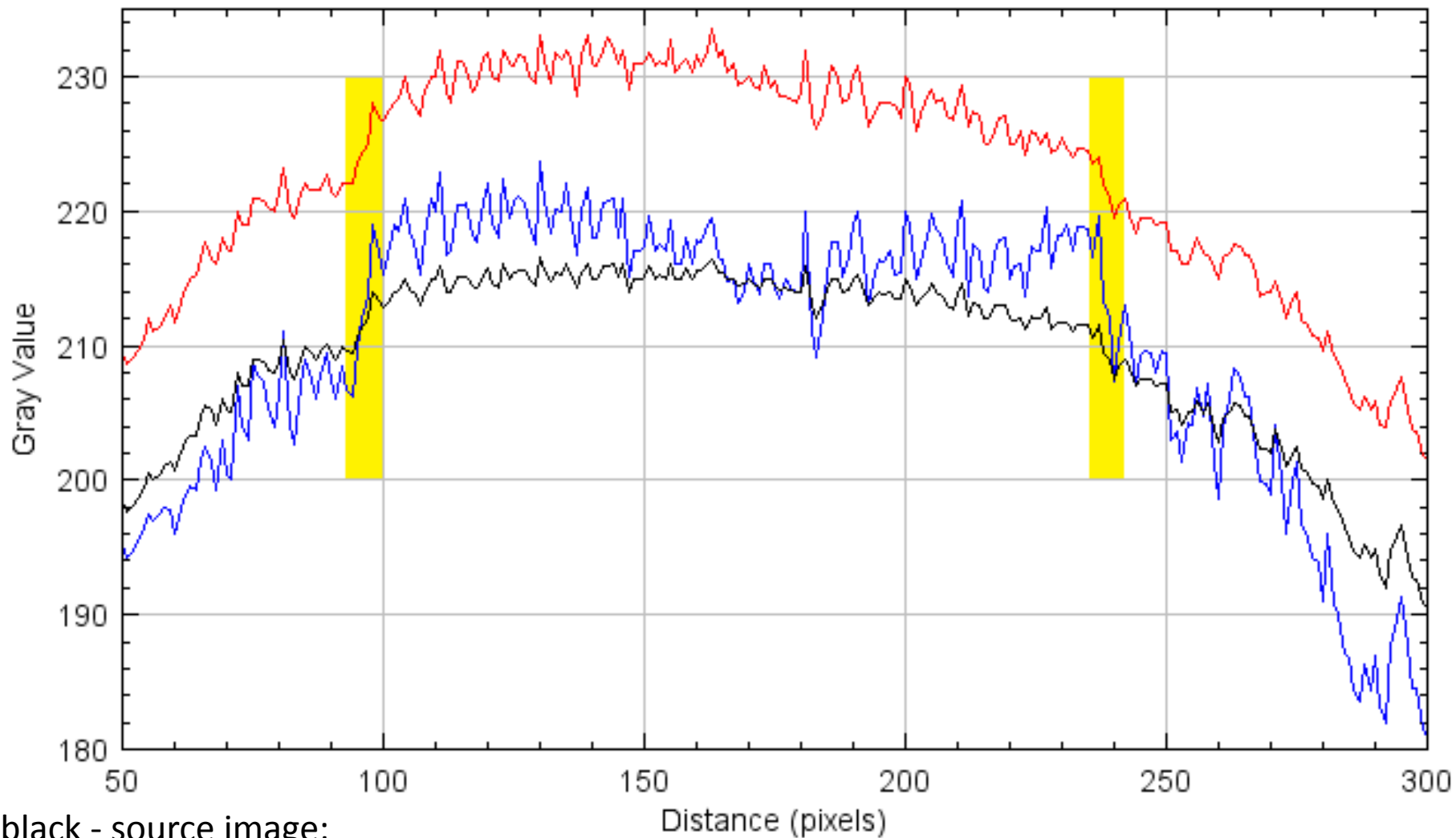


CLAHE



HIST EQ

Uwaga! Powyższe obrazy są jedynie fragmentami pełnego radiogramu



black - source image;

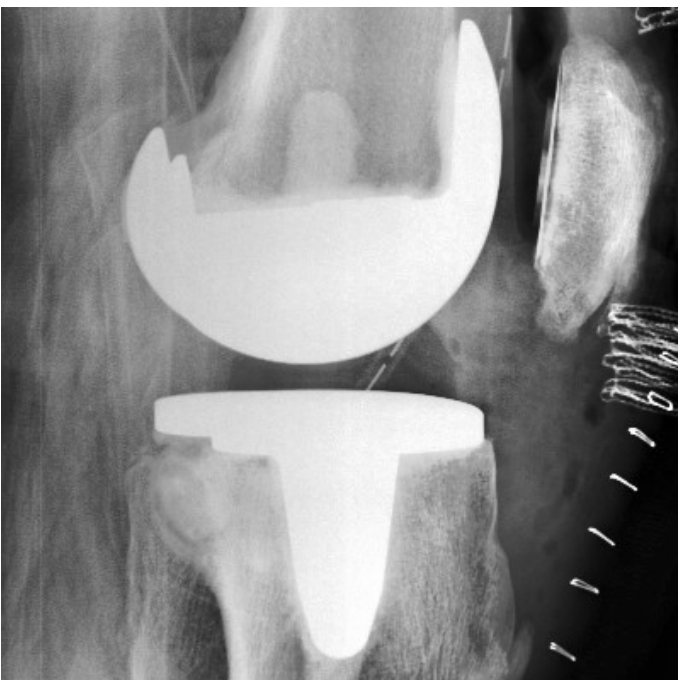
red - after histogram equalization;

blue - after CLAHE;

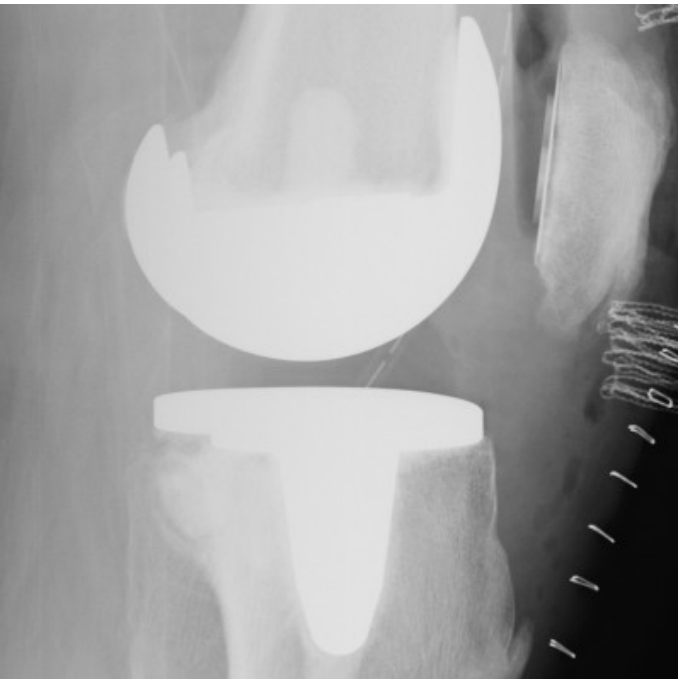
yellow zone - the signal slope on the edges of the implant.



HIST EQ



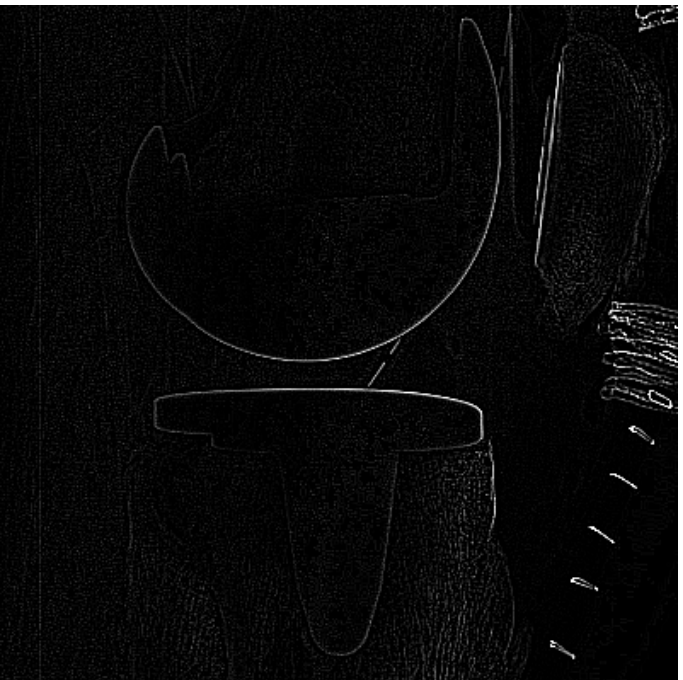
CLAHE -> HISTEQ



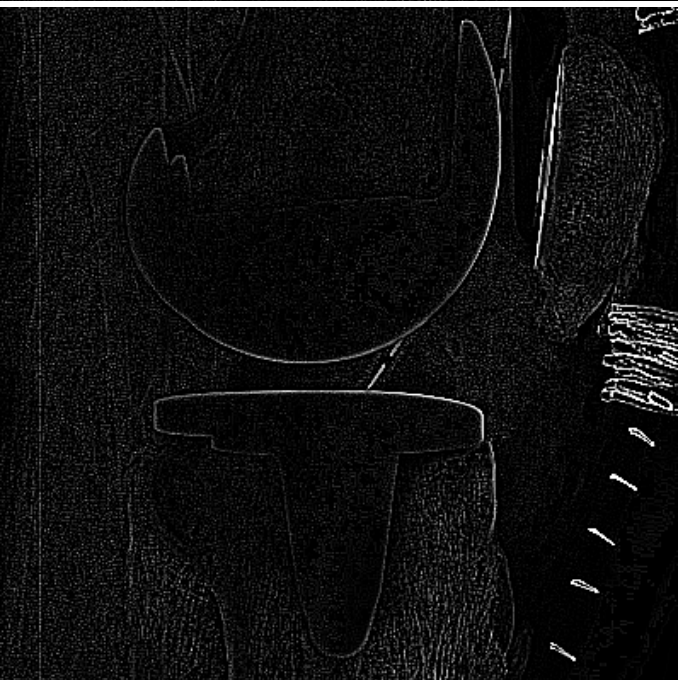
src



CLAHE



HIST EQ

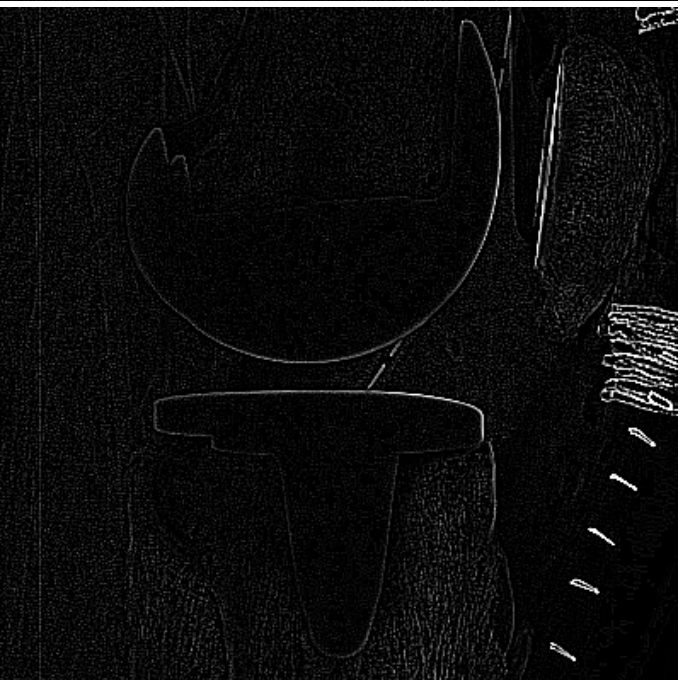
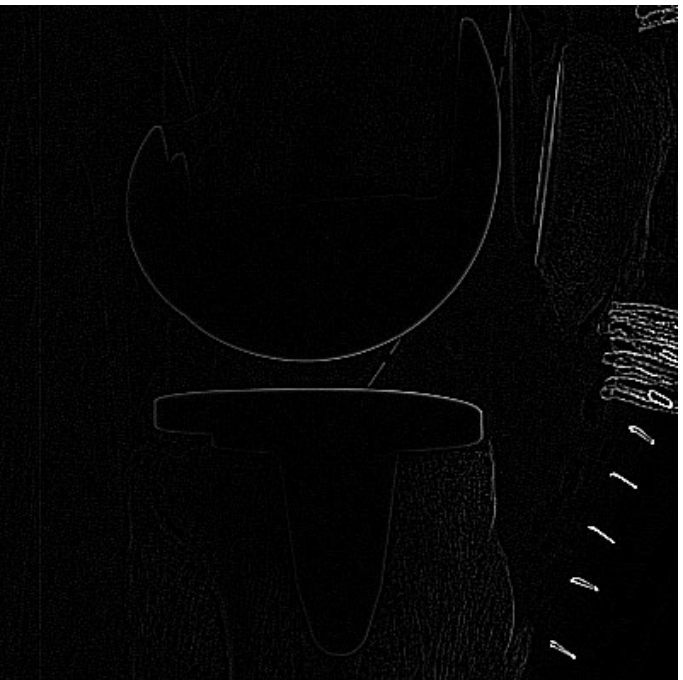


CLAHE -> HISTEQ

-1	-1	-1
-1	8	-1
-1	-1	-1

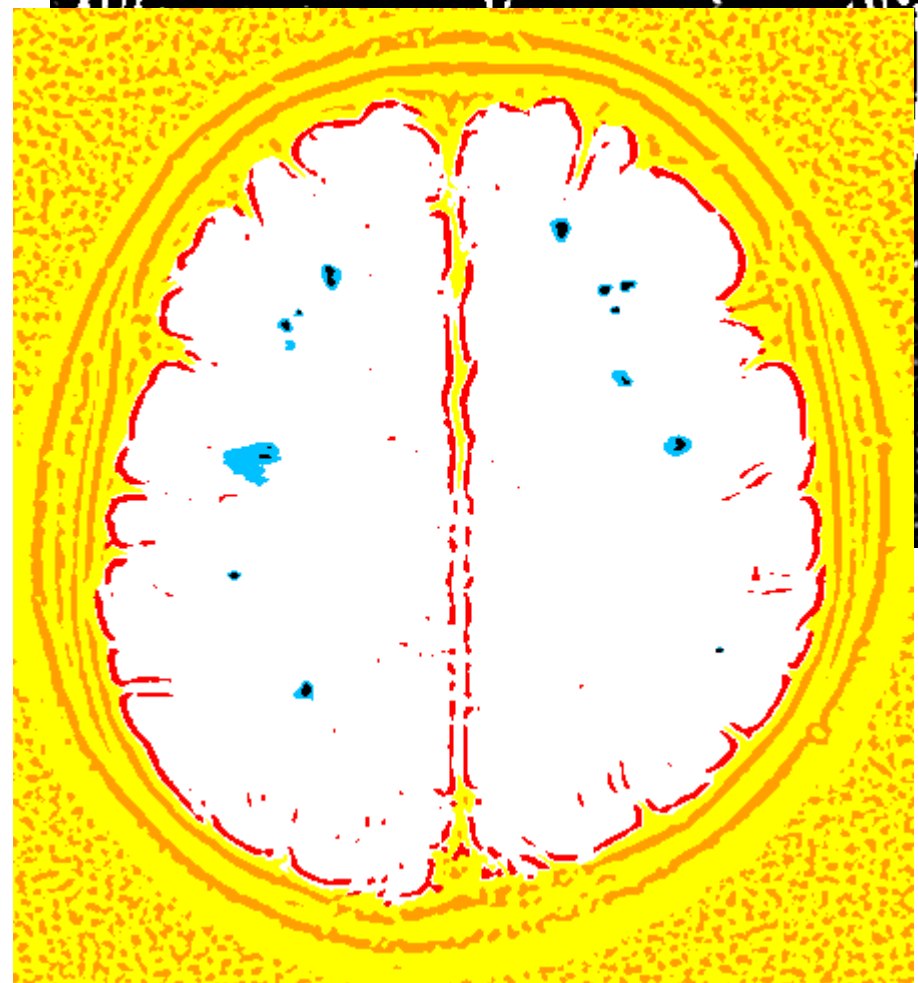
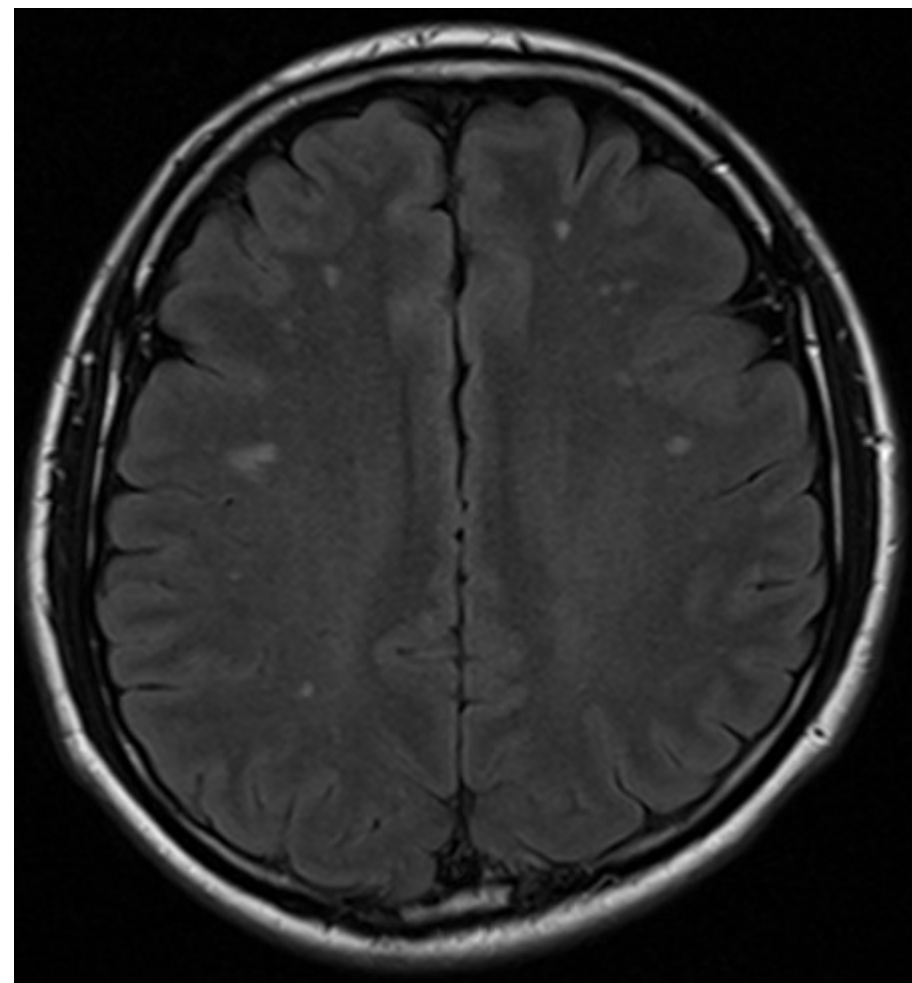
SRC

CLAHE

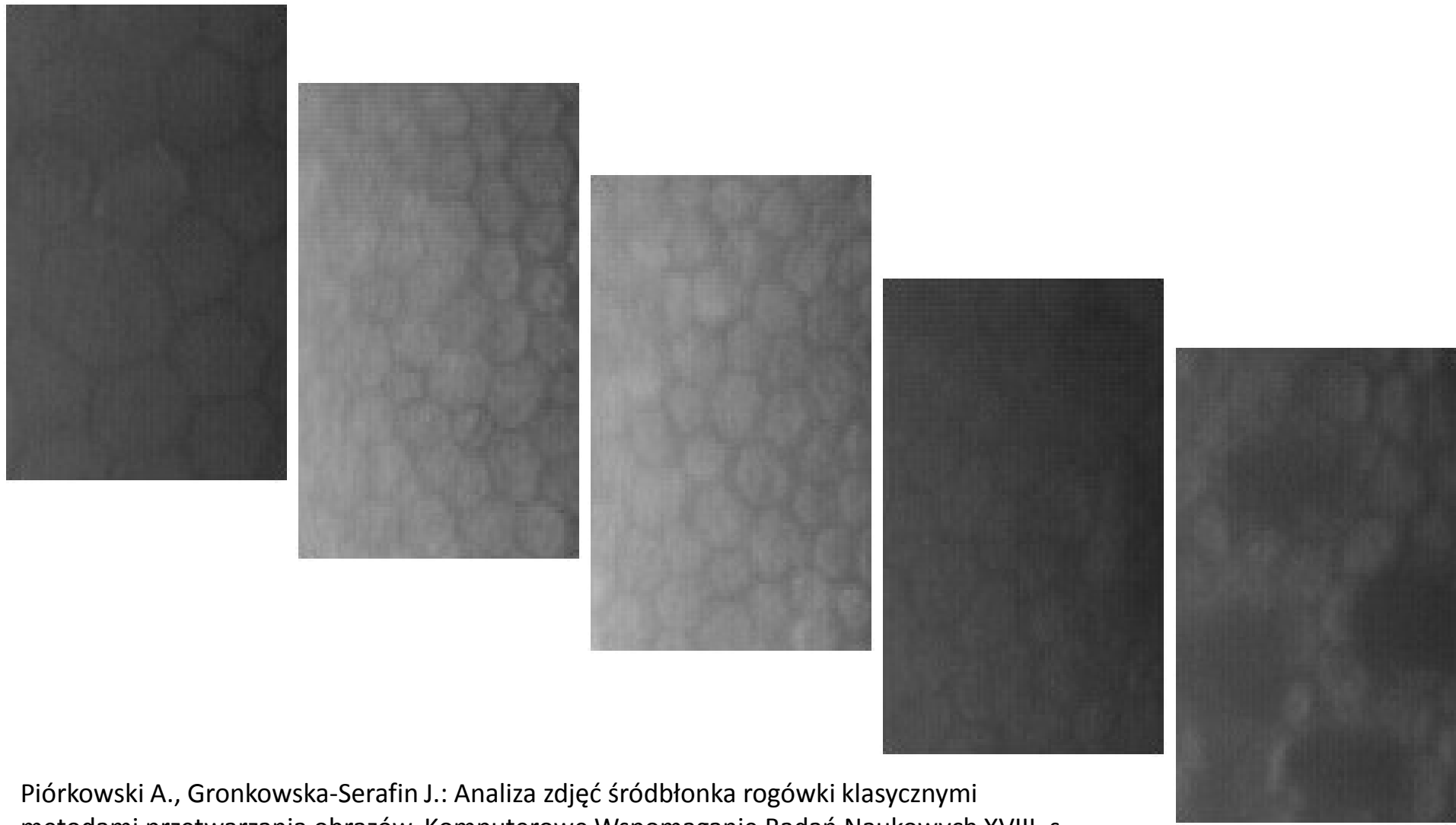


Dedykowane zastosowania filtrów konwolucyjnych

-3	-3	-2	-2	-2	-2	-2	-2	-3	-3
-3	-2	-1	-1	-1	-1	-1	-1	-2	-3
-2	-1	0	0	0	0	0	0	-1	-2
-2	-1	0	6	6	6	0	0	-1	-2
-2	-1	0	6	40	6	0	0	-1	-2
-2	-1	0	6	6	6	0	0	-1	-2
-2	-1	0	0	0	0	0	0	-1	-2
-3	-2	-1	-1	-1	-1	-1	-1	-2	-3
-3	-3	-2	-2	-2	-2	-2	-2	-3	-3



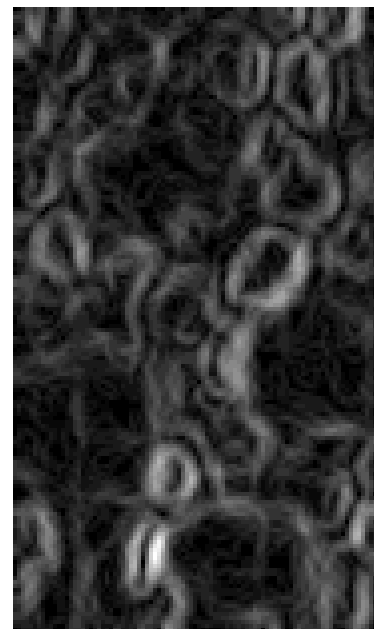
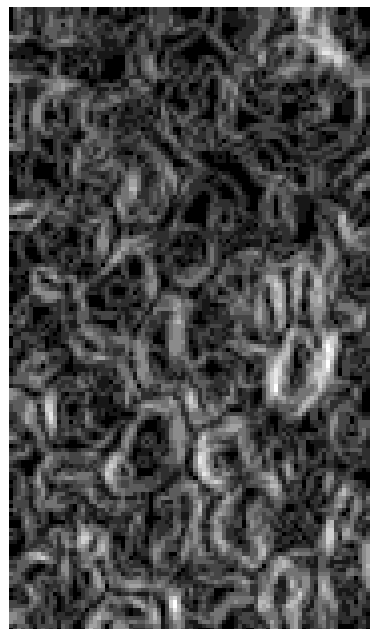
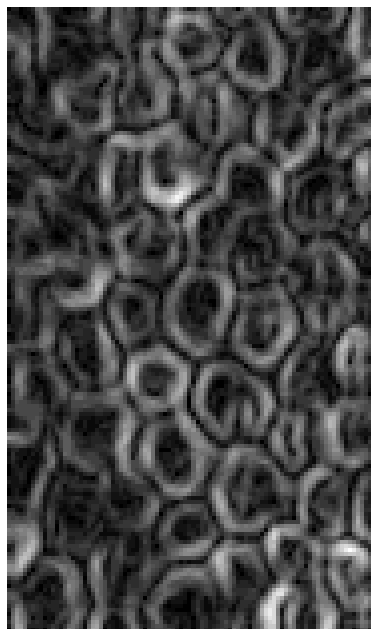
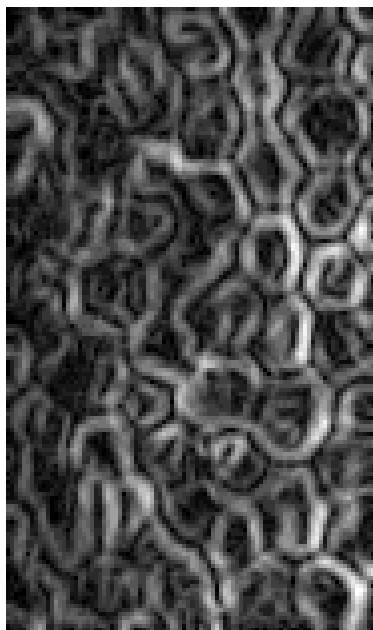
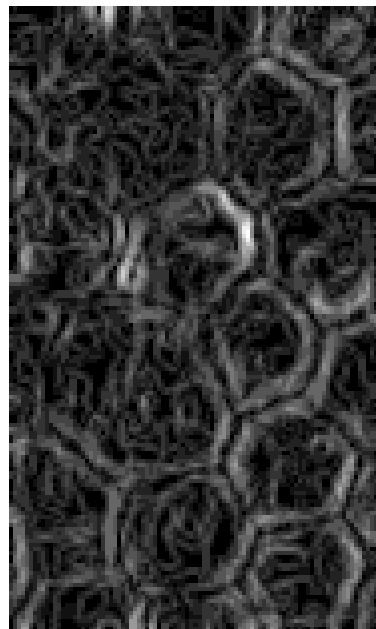
Obrazy śródbłonna rogówki



Piórkowski A., Gronkowska-Serafin J.: Analiza zdjęć śródbłonna rogówki klasycznymi metodami przetwarzania obrazów. Komputerowe Wspomaganie Badań Naukowych XVIII, s. 283-290, Wrocławskie Towarzystwo Naukowe, 2011.

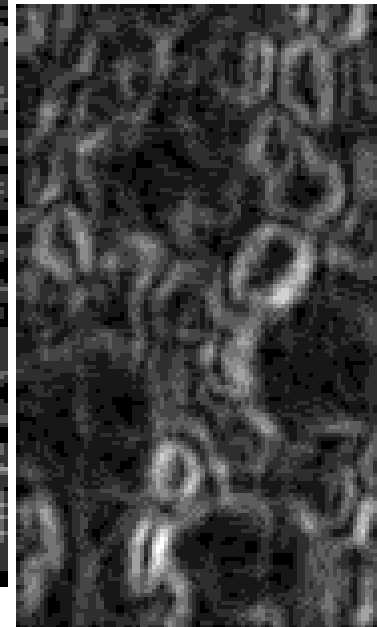
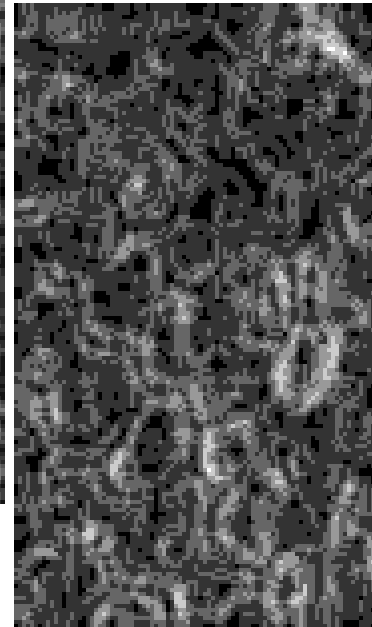
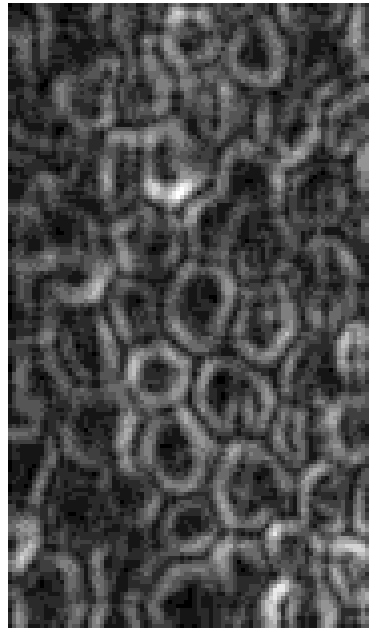
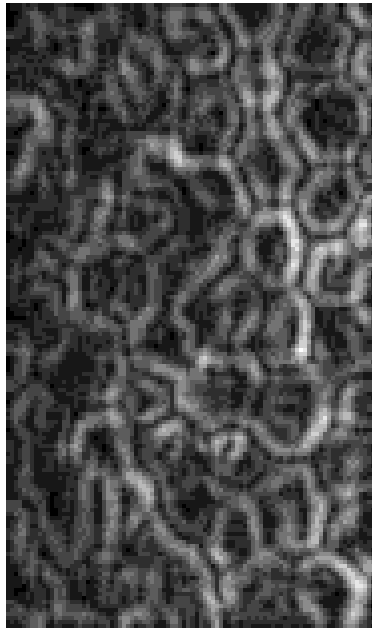
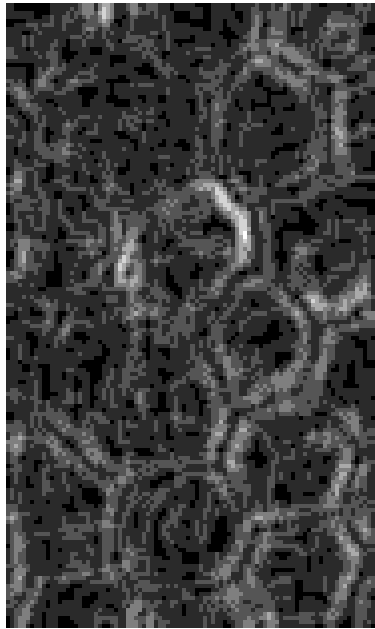
Obrazy śródbłonna rogówki

ZŁOŻENIE FILTRÓW PREWITTA



Obrazy śródbłonna rogówki

GRADIENT MORFOLOGICZNY



Obrazy śródbłonna rogówki

WYODREBNIANIE KOMÓREK – ‘CAPRICORN’

1	1	1	-1	-1	-1	1	1	1
1	1	1	-1	-1	-1	1	1	1
1	1	1	-1	-1	-1	1	1	1
1	1	1	-2	-2	-2	1	1	1
1	1	-1	-2	-2	-2	-1	1	1
1	-1	-1	-2	-2	-2	-1	-1	1
-1	-1	-1	1	2	1	-1	-1	-1
-1	-1	1	1	1	1	1	-1	-1
-1	1	1	1	0	1	1	1	-1

-1	1	1	1	0	1	1	1	-1
-1	-1	1	1	1	1	1	-1	-1
-1	-1	-1	1	2	1	-1	-1	-1
1	-1	-1	-2	-2	-2	-1	-1	1
1	1	-1	-2	-2	-2	-1	1	1
1	1	1	-2	-2	-2	1	1	1
1	1	1	-1	-1	-1	1	1	1
1	1	1	-1	-1	-1	1	1	1
1	1	1	-1	-1	-1	1	1	1

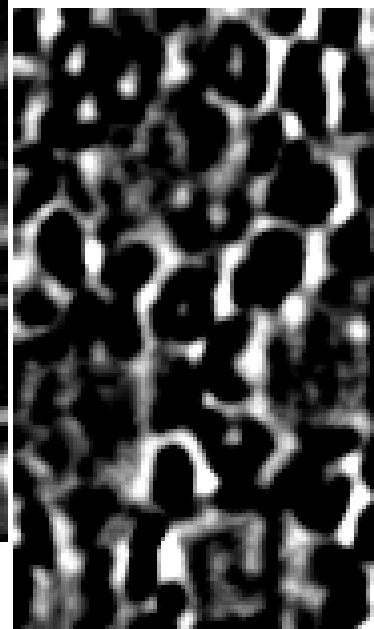
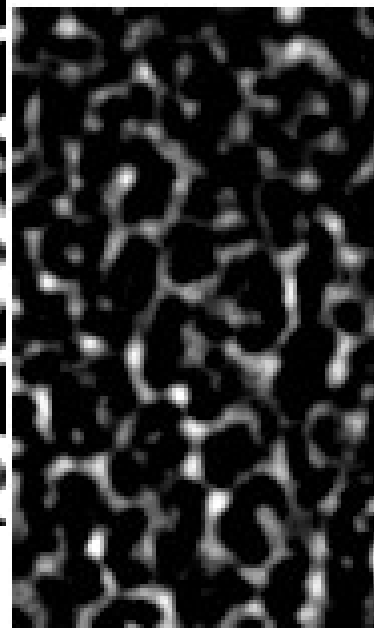
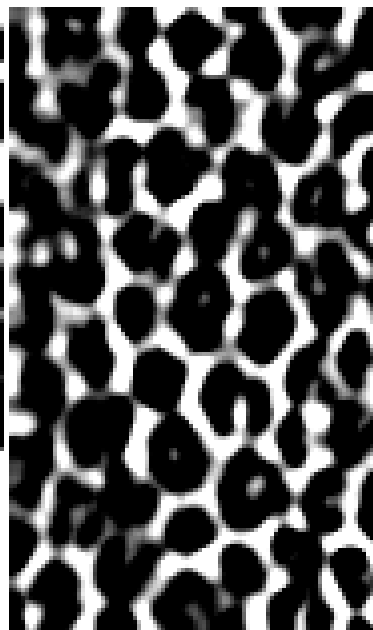
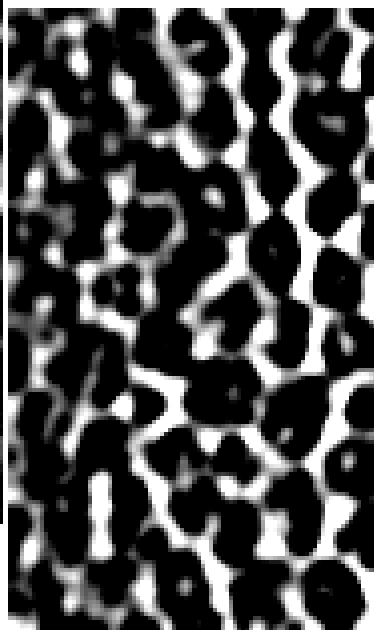
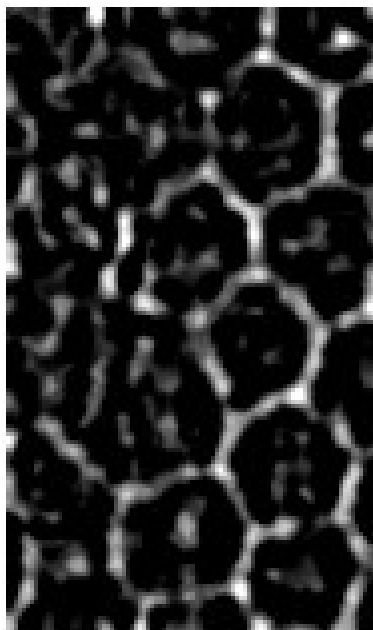
Obrazy śródbłonna rogówki

PROPONOWANA MASKA

3	3	2	2	2	2	2	3	3
3	2	1	1	1	1	1	2	3
2	1	0	0	0	0	0	1	2
2	1	0	-6	-12	-6	0	1	2
2	1	0	-12	-32	-12	0	1	2
2	1	0	-6	-12	-6	0	1	2
2	1	0	0	0	0	0	1	2
3	2	1	1	1	1	1	2	3
3	3	2	2	2	2	2	3	3

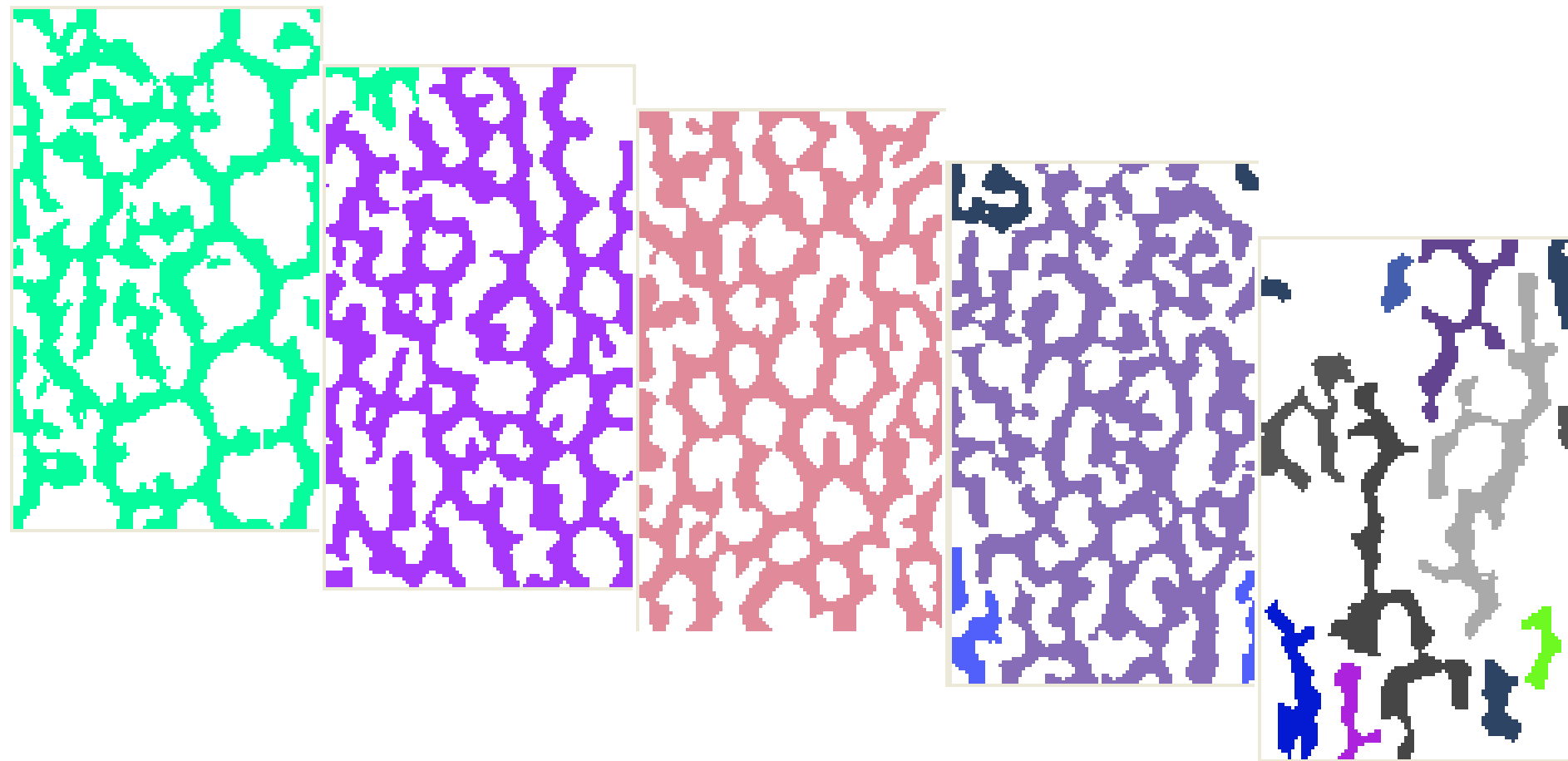
Obrazy śródbłonna rogówki

PROPONOWANA MASKA



Obrazy śródbłonna rogówki

INDEKSACJA BRZEGÓW MIĘDZYKOMÓRKOWYCH



Obrazy śródbłonna rogówki

WYODRĘBNIANIE KOMÓREK

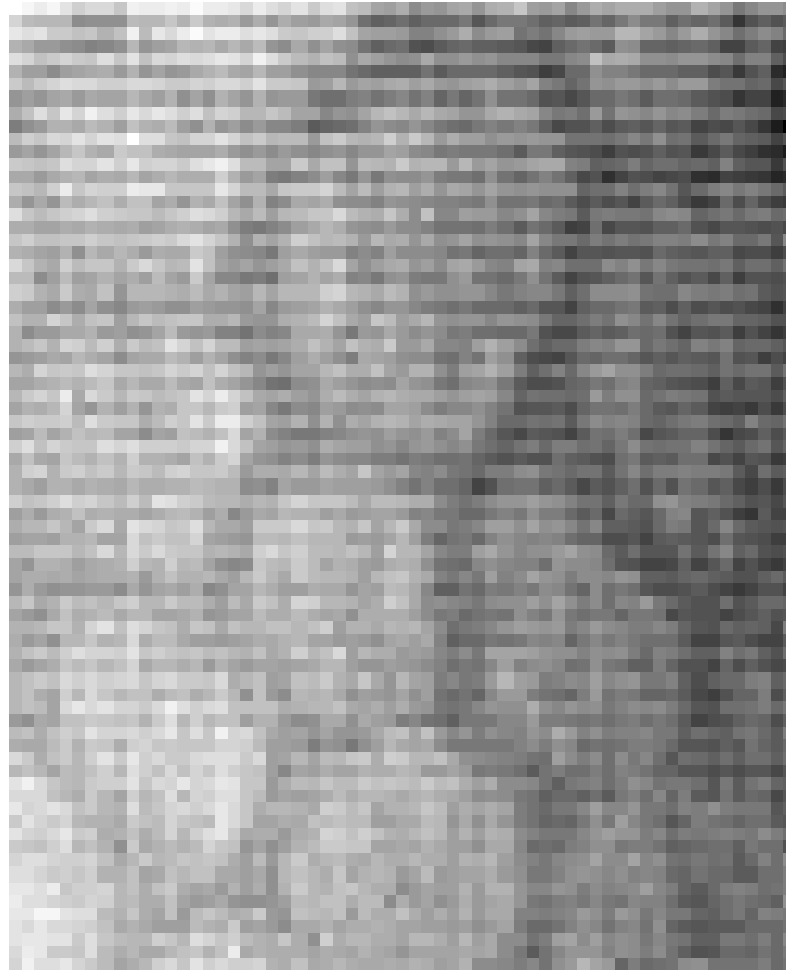
-3	-3	-2	-2	-2	-2	-2	-3	-3
-3	-2	-1	-1	-1	-1	-1	-2	-3
-2	-1	0	0	0	0	0	-1	-2
-2	-1	0	6	12	6	0	-1	-2
-2	-1	0	12	32	12	0	-1	-2
-2	-1	0	6	12	6	0	-1	-2
-2	-1	0	0	0	0	0	-1	-2
-3	-2	-1	-1	-1	-1	-1	-2	-3
-3	-3	-2	-2	-2	-2	-2	-3	-3

Obrazy śródbłonna rogówki

WYODREBNIANIE KOMÓREK

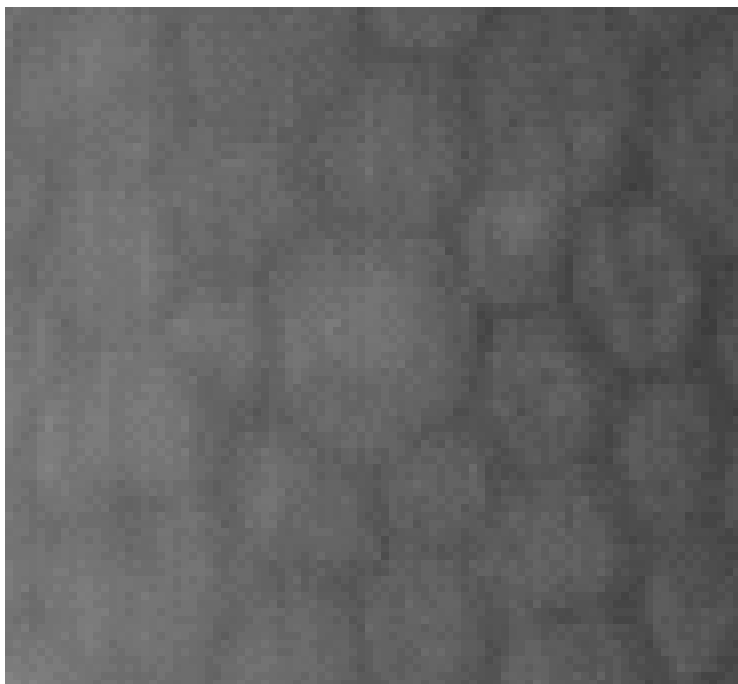


Corneal endothelium images

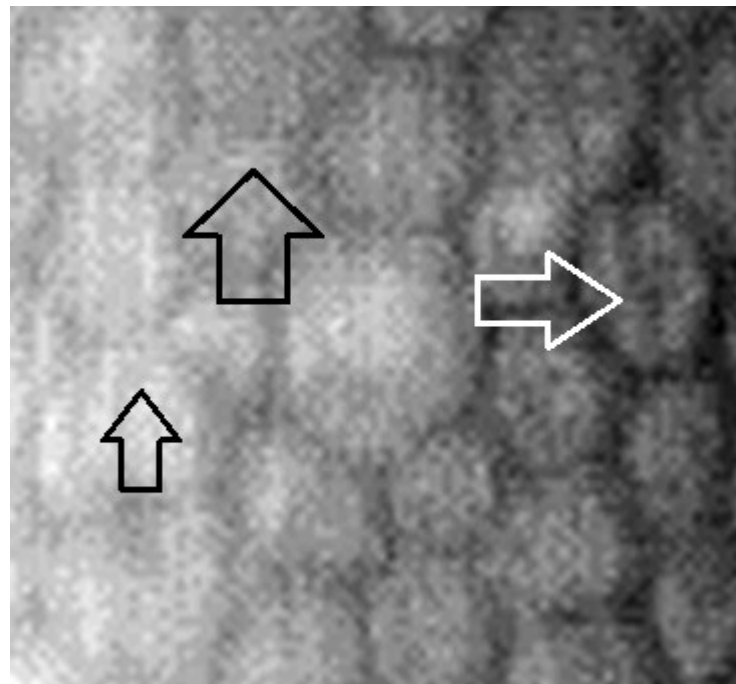


K. Habrat, M. Habrat, J. Gronkowska-Serafin, A. Piorkowski: Cell Detection in Corneal Endothelial Images Using Directional Filters. Springer 2016, AISC Vol. 389, pp 113–123.

Corneal endothelium images

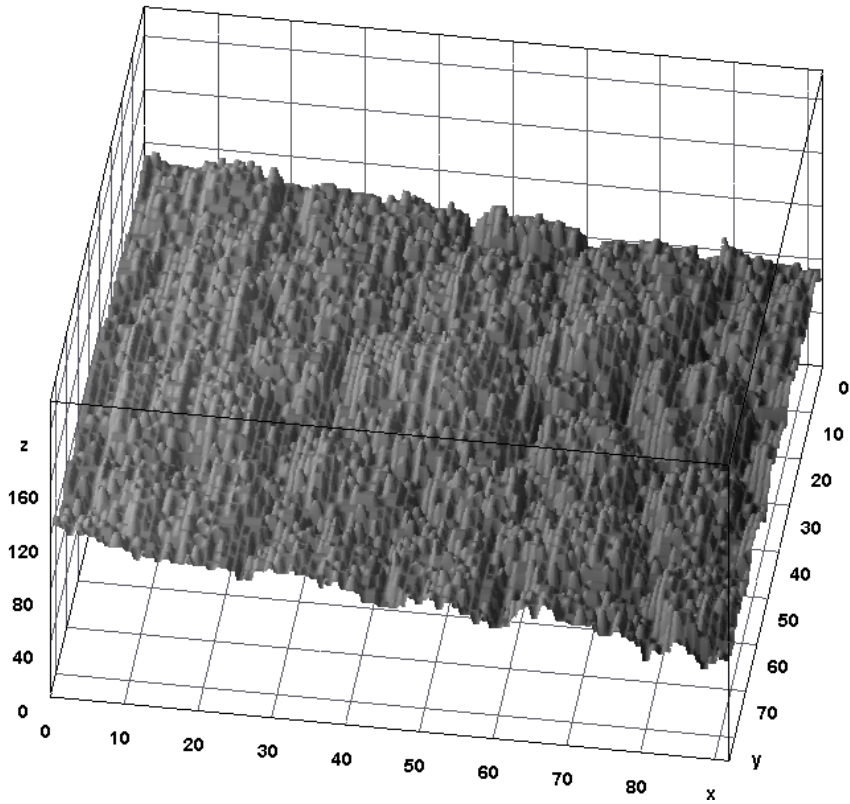


original

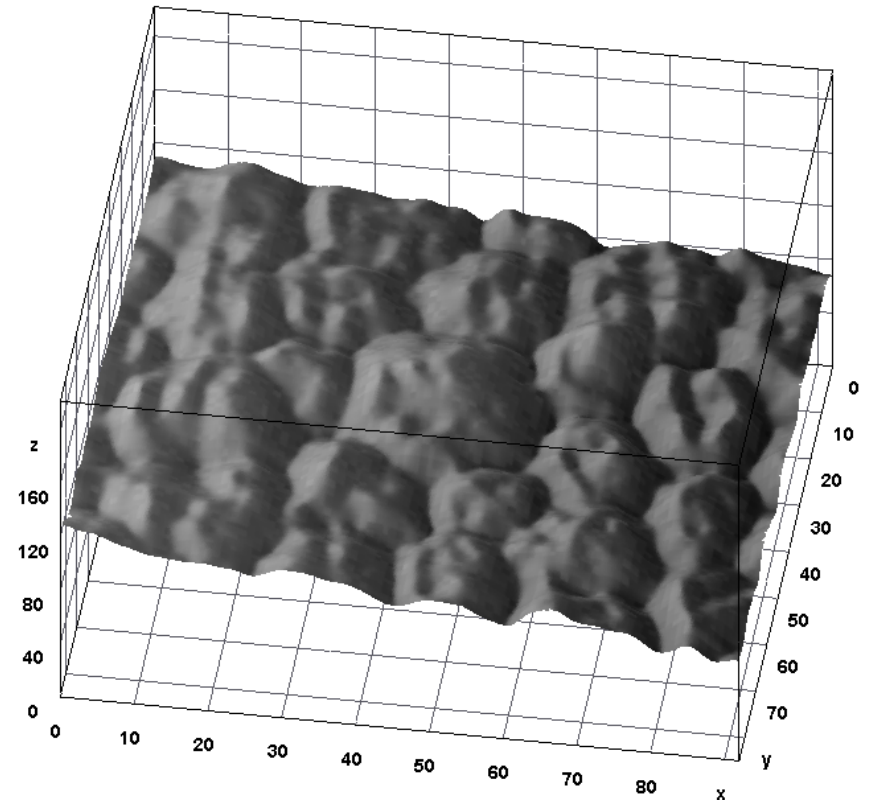


normalized

Corneal endothelium images

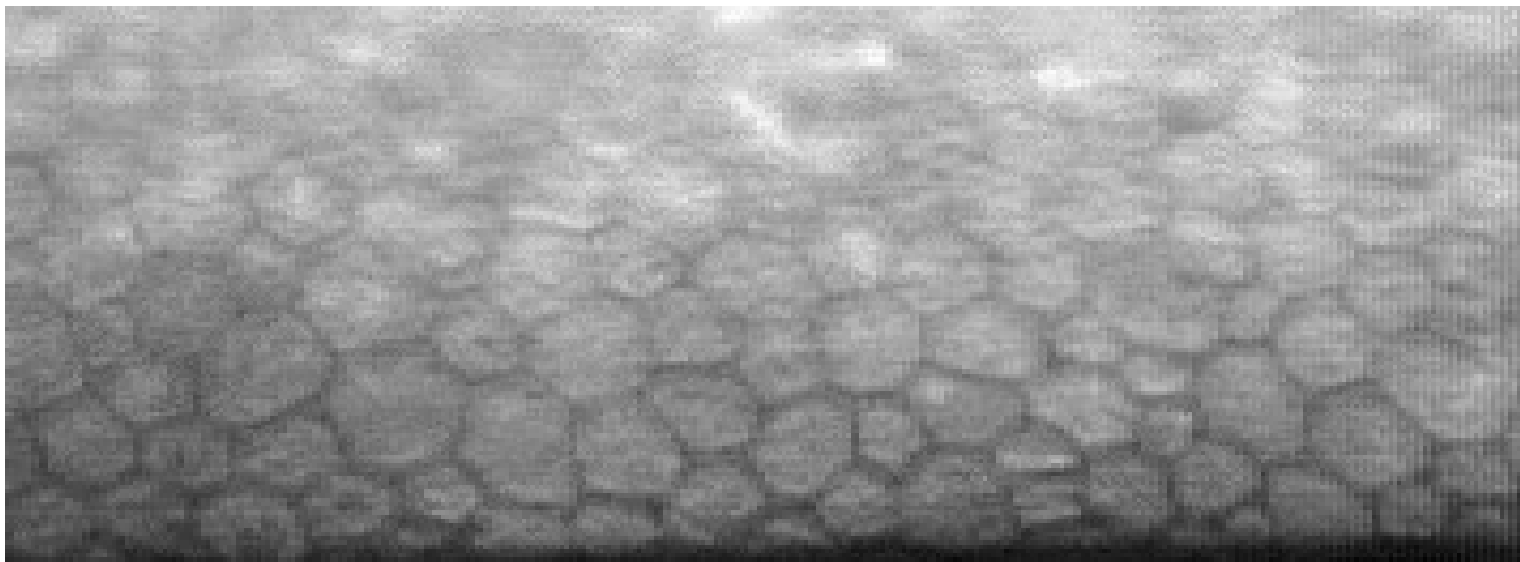
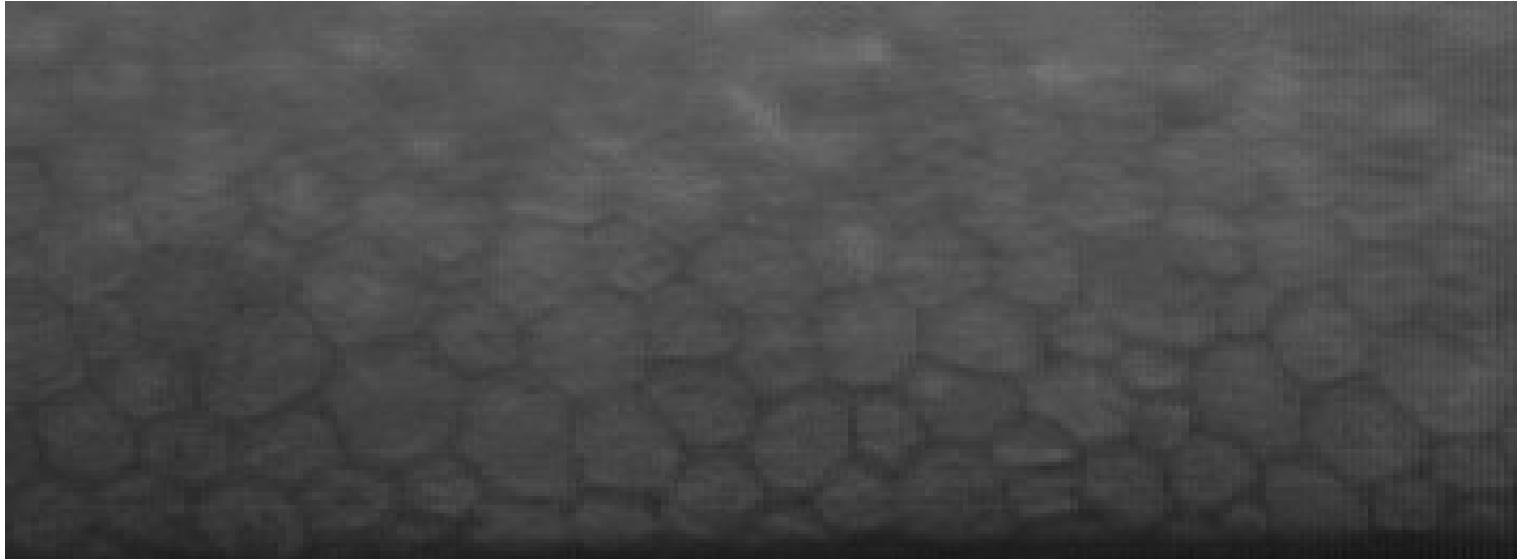


original

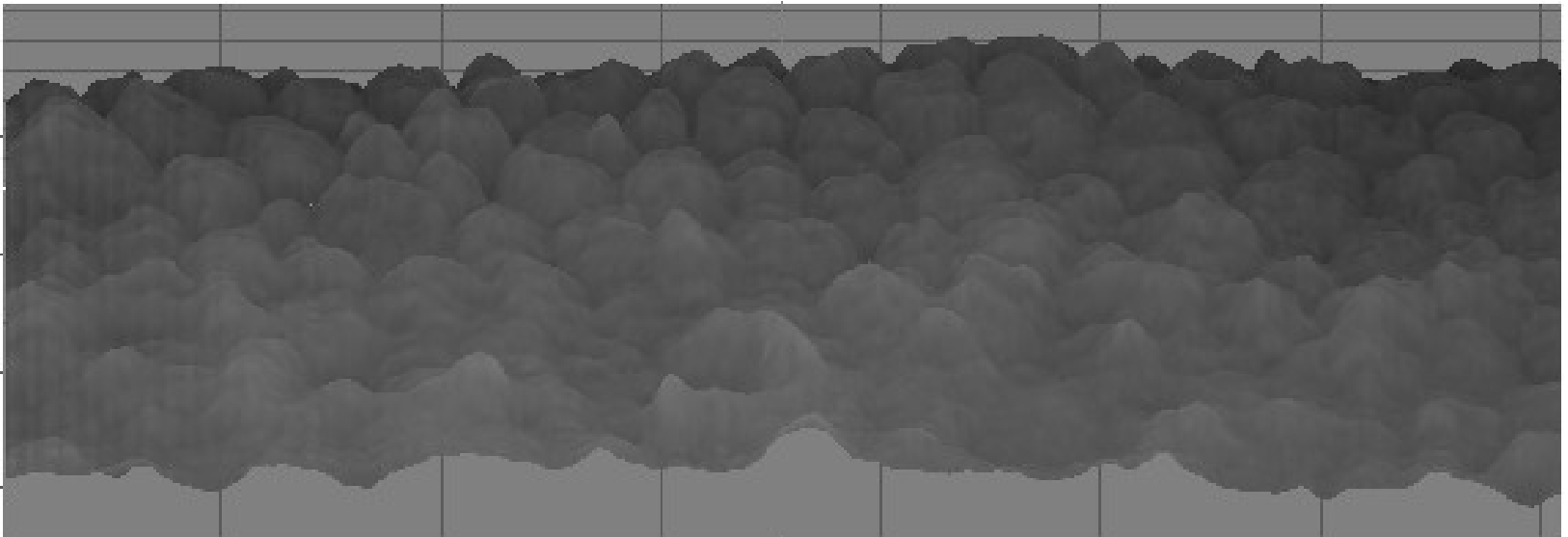
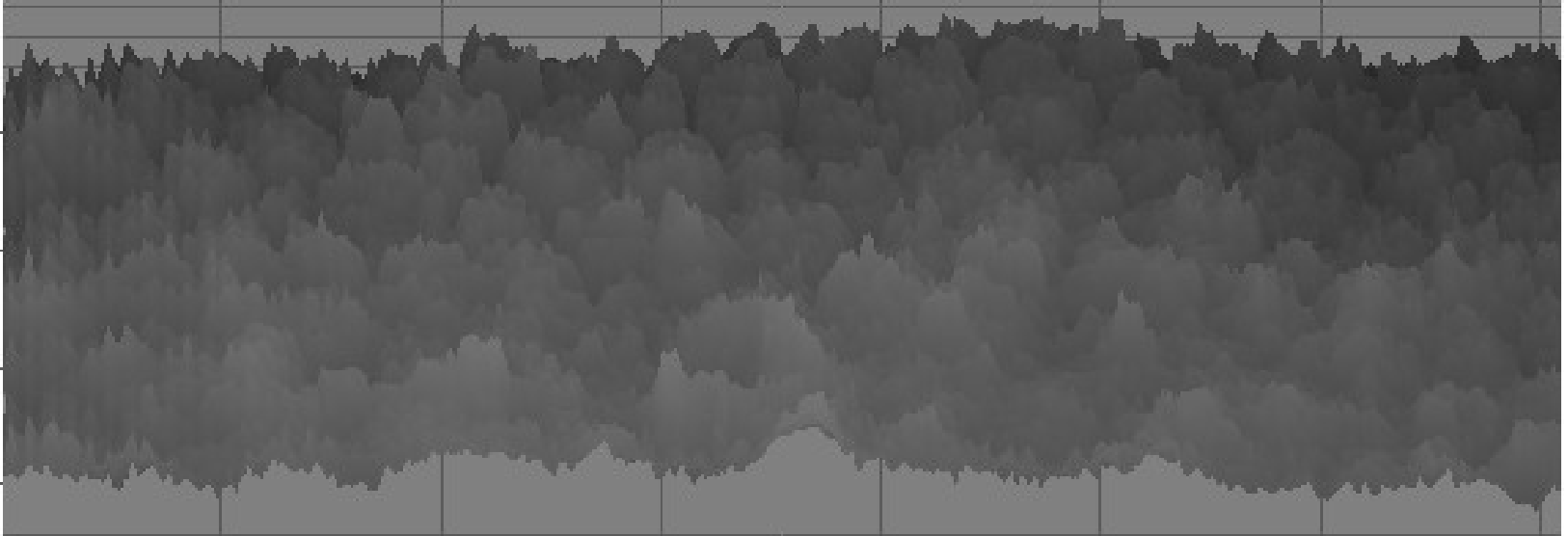


after preprocessing (smoothing)

Corneal endothelium images



Corneal endothelium images



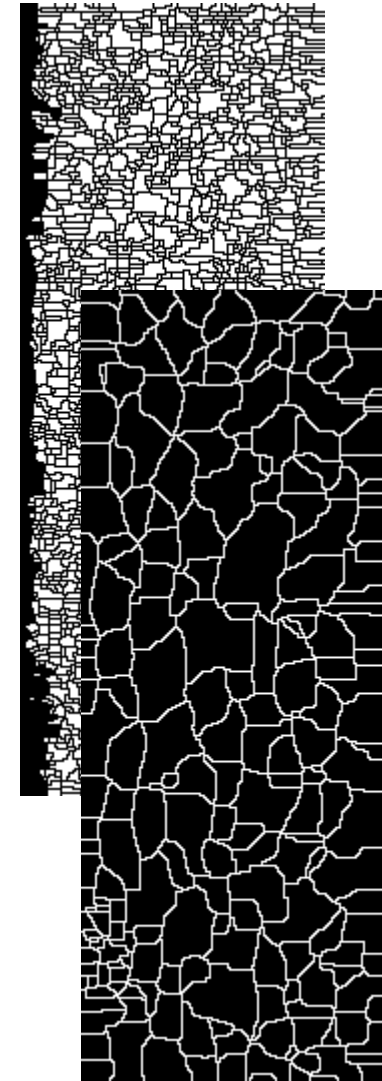
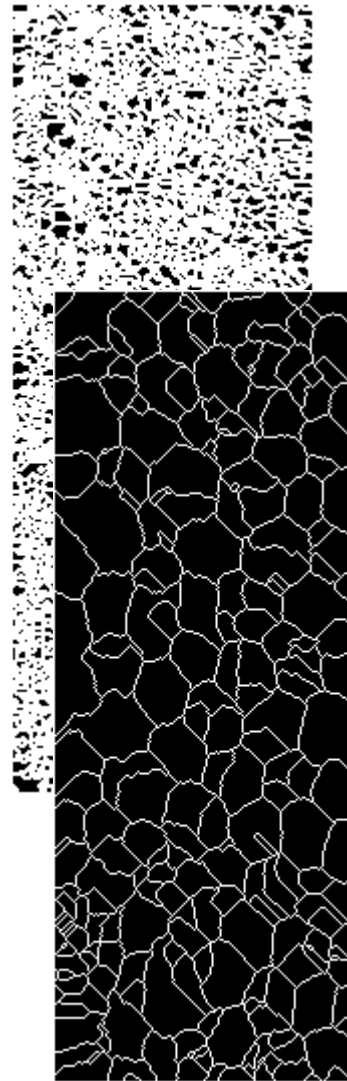
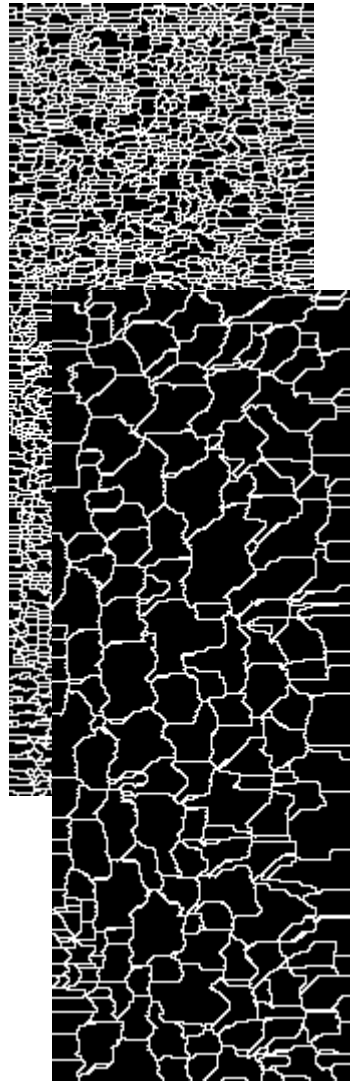
after smoothing

Corneal endothelium images

ImageJ

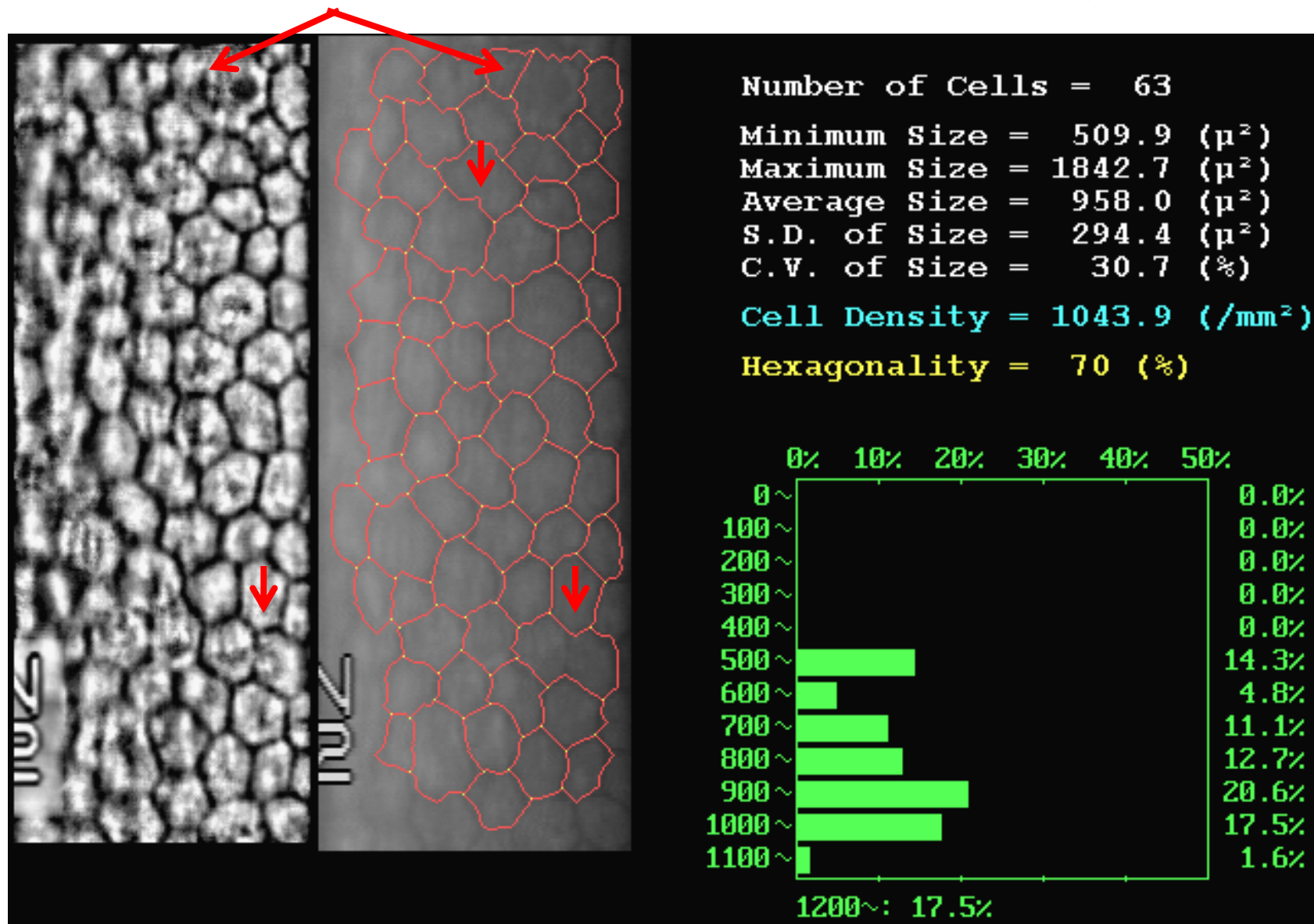
ImageJ - BIG

Matlab ☺

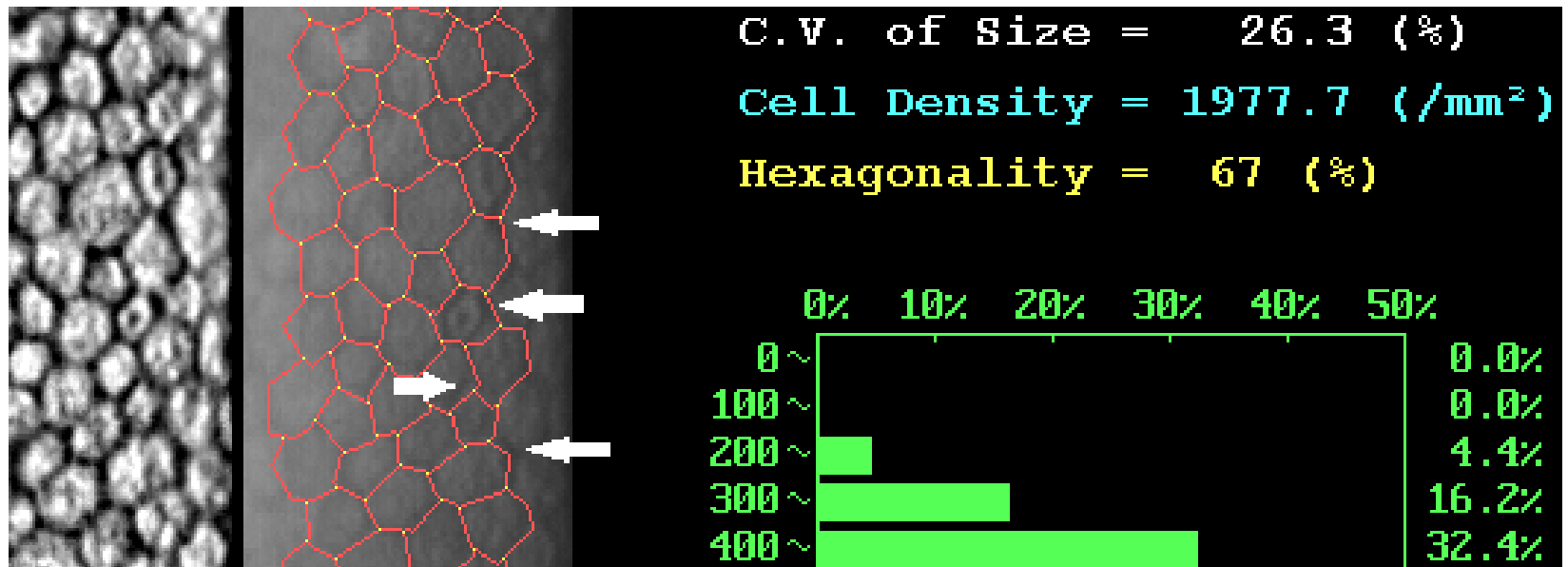
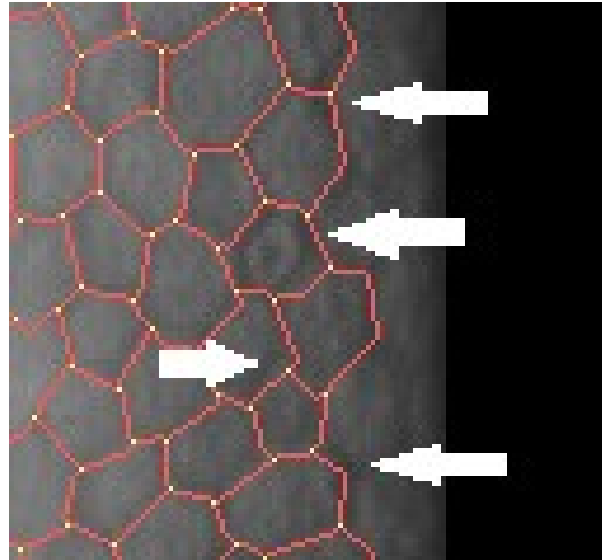


After smoothing

Corneal endothelium images



Corneal endothelium images



Preprocessing

$$S = \frac{\sum_{i=1}^x \sum_{j=1}^y Pin_{ij}}{xy} \quad (1)$$

$$Sw_j = \sum_{i=1}^x Pin_{ij} \quad (2)$$

$$Sk_j = \sum_{j=1}^y Pin_{ij} \quad (3)$$

$$Pout_{ij} = \begin{cases} Pin_{ij} + S - Sw_j & \text{for } Sw_j \neq S \\ Pin_{ij} & \text{for } Sw_j = S \end{cases} \quad (4)$$

$$Pout_{ij} = \begin{cases} Pin_{ij} + S - Sk_i & \text{for } Sk_i \neq S \\ Pin_{ij} & \text{for } Sk_i = S \end{cases} \quad (5)$$

Preprocessing

$$Pout_{ij} = \left\{ \begin{array}{ll} Pin_{ij} + S - Sw_j & \text{for } Sw_j > S \\ Pin_{ij} & \text{for } Sw_j = S \\ \frac{Pin_{ij}S}{Sw_j} & \text{for } Sw_j < S \end{array} \right\} \quad (6)$$

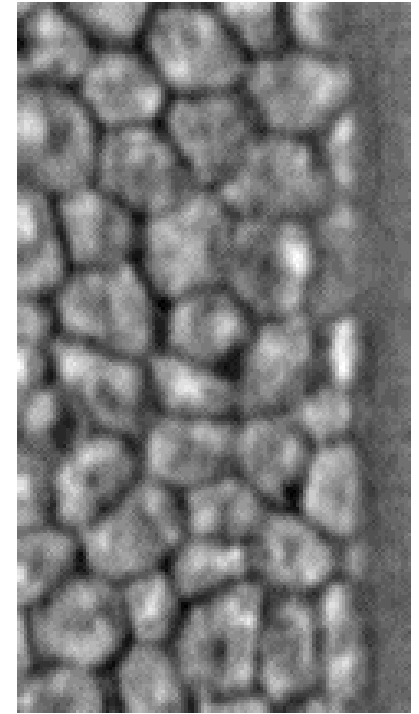
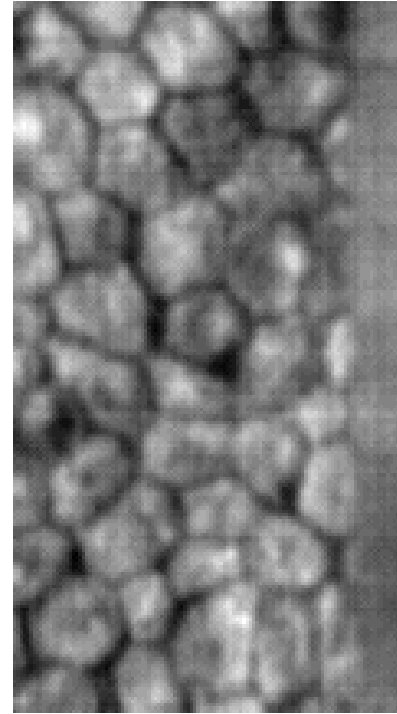
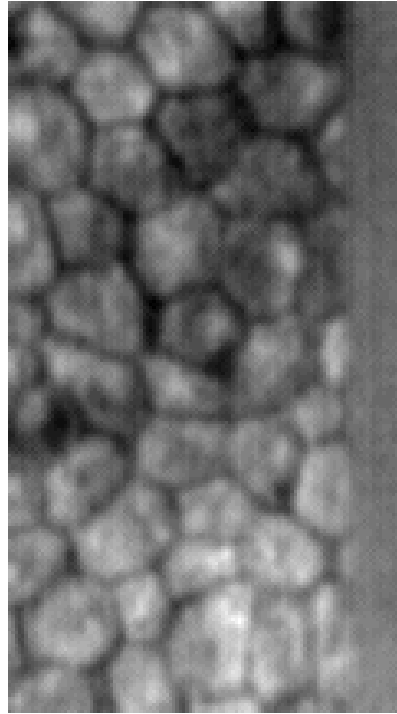
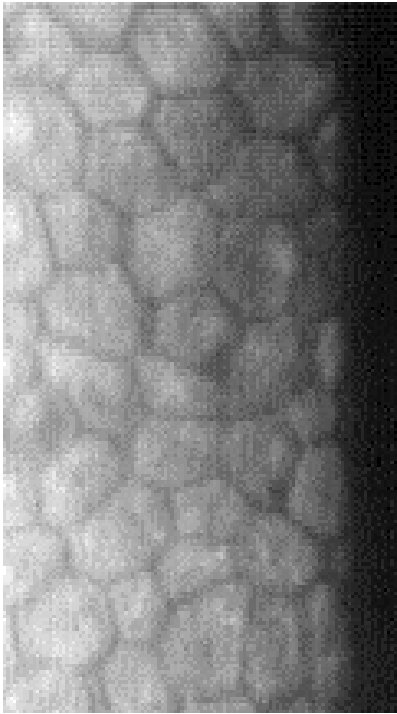
$$Pout_{ij} = \left\{ \begin{array}{ll} Pin_{ij} + S - Sk_i & \text{for } Sk_i > S \\ Pin_{ij} & \text{for } Sk_i = S \\ \frac{Pin_{ij}S}{Sk_i} & \text{for } Sk_i < S \end{array} \right\} \quad (7)$$

$$Pout_{ij} = \left\{ \begin{array}{ll} Pin_{ij} + S - Sk_i & \text{for } Sk_i > S \\ Pin_{ij} & \text{for } Sk_i = S \\ \frac{Pin_{ij}S}{Sk_i} & \text{for } Sk_i < S \end{array} \right\} \quad (8)$$

$$Pout_{ij} = Pin_{ij} + (S - Sr_{ij}) \quad (9)$$

dodanie różnicy średniej obrazu (S)
 i średniej w kole o promieniu r dla
 piksela i,j (Sr_{ij}) (9)

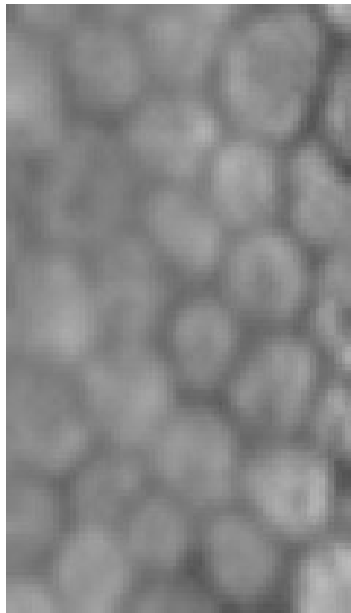
Preprocessing



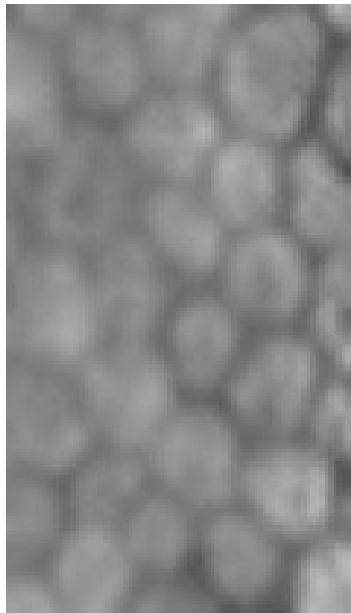
dodanie różnicy średniej obrazu
 i średniej w kole (9)

$r=10$

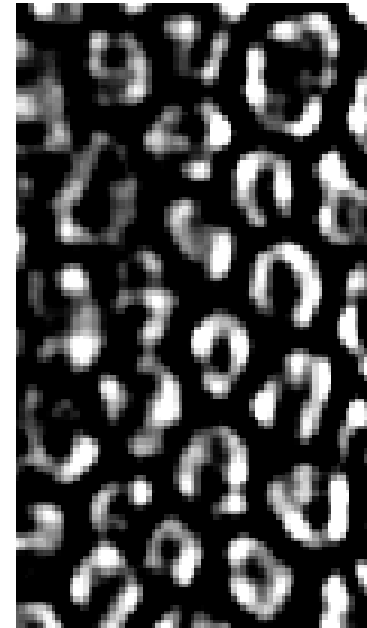
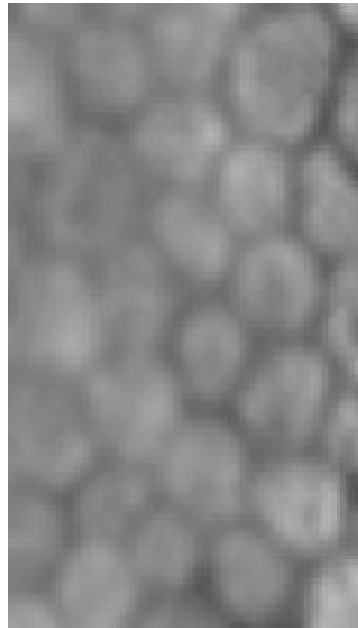
Adaptive binarization



Top-Hat



Single 9x9 mask

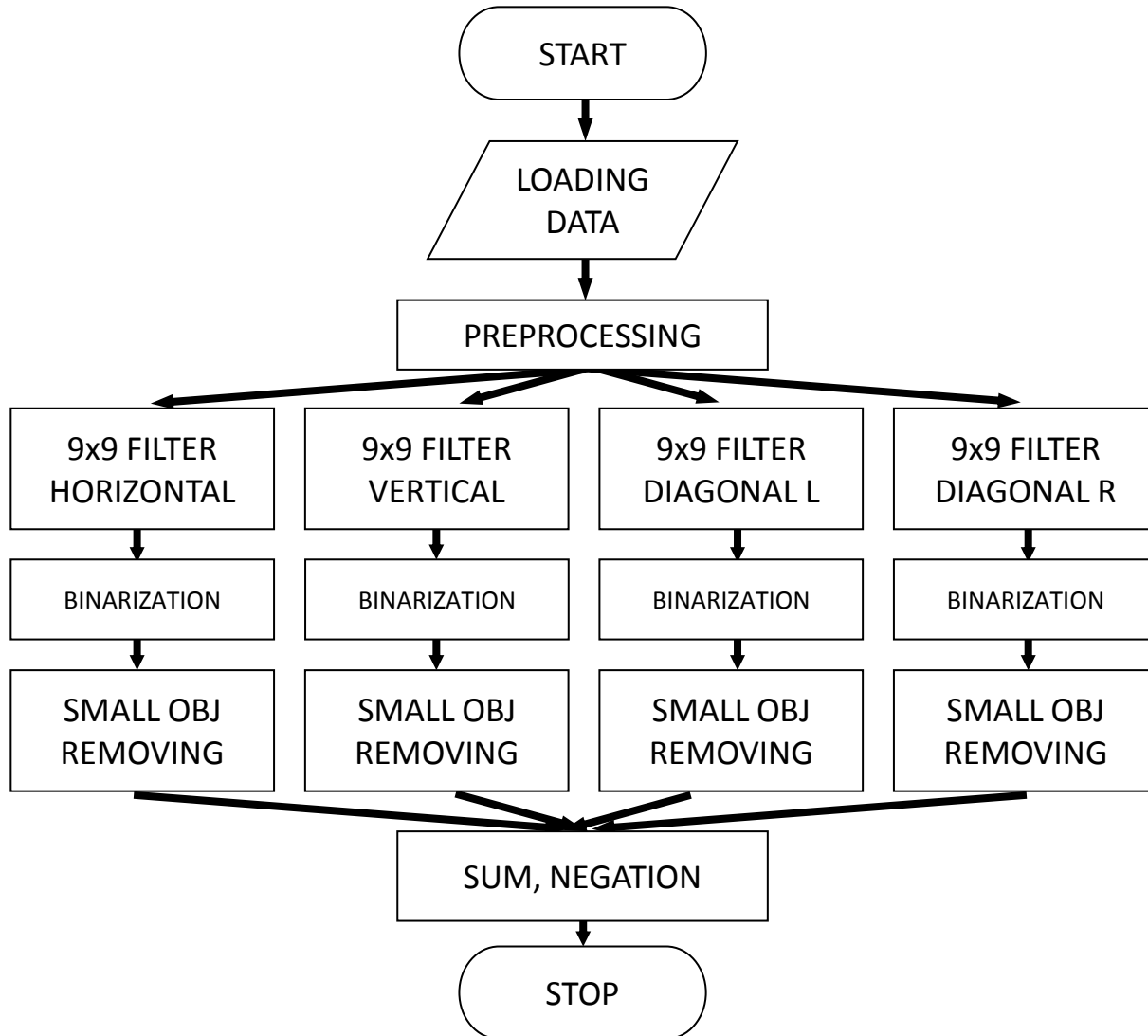
$$\begin{bmatrix} -3 & -3 & -2 & -2 & -2 & -2 & -2 & -3 & -3 \\ -3 & -2 & -1 & -1 & -1 & -1 & -1 & -2 & -3 \\ -2 & -1 & 0 & 0 & 0 & 0 & 0 & -1 & -2 \\ -2 & -1 & 0 & 6 & 12 & 6 & 0 & -1 & -2 \\ -2 & -1 & 0 & 12 & 32 & 12 & 0 & -1 & -2 \\ -2 & -1 & 0 & 6 & 12 & 6 & 0 & -1 & -2 \\ -2 & -1 & 0 & 0 & 0 & 0 & 0 & -1 & -2 \\ -3 & -2 & -1 & -1 & -1 & -1 & -1 & -2 & -3 \\ -3 & -3 & -2 & -2 & -2 & -2 & -2 & -3 & -3 \end{bmatrix}$$


KH Algorithm

$$\begin{bmatrix} 0 & 0 & 0 & 0 & 0 & 0 & 0 & 0 & 0 \\ 0 & 0 & 0 & 0 & 0 & 0 & 0 & 0 & 0 \\ 22 & -2 & -4 & -8 & -16 & -8 & -4 & -2 & 22 \\ 22 & -2 & -4 & -8 & -16 & -8 & -4 & -2 & 22 \\ 22 & -2 & -4 & -8 & -16 & -8 & -4 & -2 & 22 \\ 22 & -2 & -4 & -8 & -16 & -8 & -4 & -2 & 22 \\ 22 & -2 & -4 & -8 & -16 & -8 & -4 & -2 & 22 \\ 0 & 0 & 0 & 0 & 0 & 0 & 0 & 0 & 0 \\ 0 & 0 & 0 & 0 & 0 & 0 & 0 & 0 & 0 \end{bmatrix}
 \quad
 \begin{bmatrix} 0 & 0 & 22 & 22 & 22 & 22 & 22 & 0 & 0 \\ 0 & 0 & -2 & -2 & -2 & -2 & -2 & 0 & 0 \\ 0 & 0 & -4 & -4 & -4 & -4 & -4 & 0 & 0 \\ 0 & 0 & -8 & -8 & -8 & -8 & -8 & 0 & 0 \\ 0 & 0 & -16 & -16 & -16 & -16 & -16 & 0 & 0 \\ 0 & 0 & -8 & -8 & -8 & -8 & -8 & 0 & 0 \\ 0 & 0 & -4 & -4 & -4 & -4 & -4 & 0 & 0 \\ 0 & 0 & -2 & -2 & -2 & -2 & -2 & 0 & 0 \\ 0 & 0 & 22 & 22 & 22 & 22 & 22 & 0 & 0 \end{bmatrix}$$

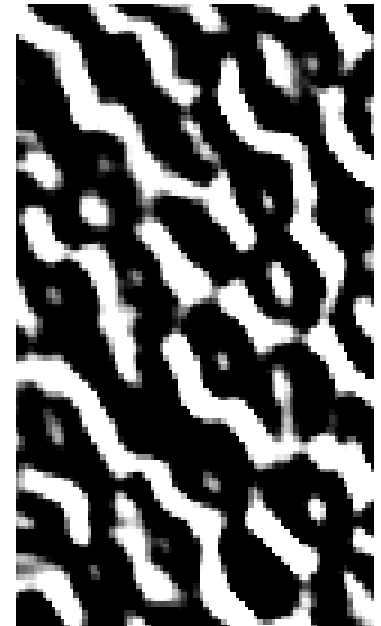
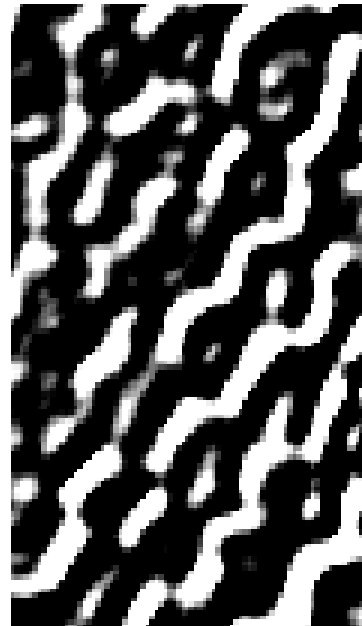
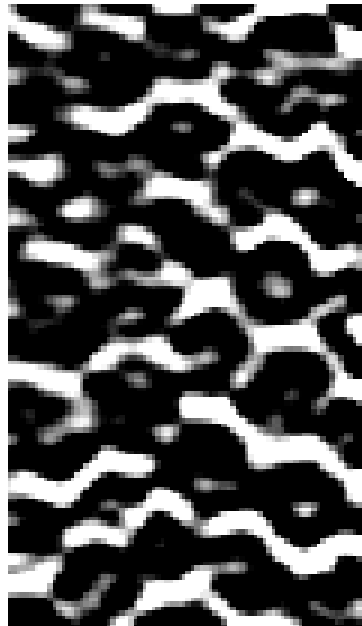
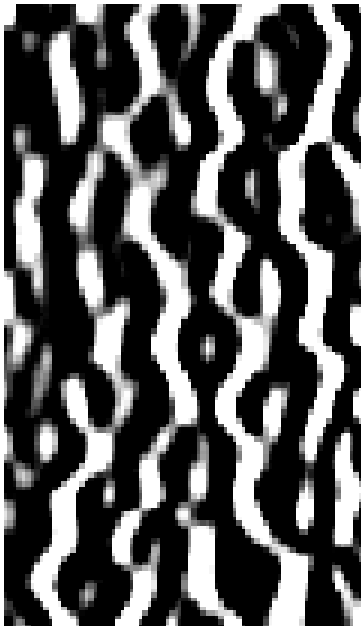
$$\begin{bmatrix} 22 & 22 & 22 & 0 & 0 & 0 & 0 & 0 & 0 \\ 22 & -2 & -2 & -2 & 0 & 0 & 0 & 0 & 0 \\ 22 & -2 & -4 & -4 & -4 & -8 & -16 & 0 & 0 \\ 0 & -2 & -4 & -8 & -8 & -16 & -8 & 0 & 0 \\ 0 & 0 & -4 & -8 & -16 & -8 & -4 & 0 & 0 \\ 0 & 0 & -8 & -16 & -8 & -8 & -4 & -2 & 0 \\ 0 & 0 & -16 & -8 & -4 & -4 & -4 & -2 & 22 \\ 0 & 0 & 0 & 0 & 0 & -2 & -2 & -2 & 22 \\ 0 & 0 & 0 & 0 & 0 & 0 & 22 & 22 & 22 \end{bmatrix}
 \quad
 \begin{bmatrix} 0 & 0 & 0 & 0 & 0 & 0 & 22 & 22 & 22 \\ 0 & 0 & 0 & 0 & 0 & -2 & -2 & -2 & 22 \\ 0 & 0 & -16 & -8 & -4 & -4 & -4 & -2 & 22 \\ 0 & 0 & -8 & -16 & -8 & -8 & -4 & -2 & 0 \\ 0 & 0 & -4 & -8 & -16 & -8 & -4 & 0 & 0 \\ 0 & -2 & -4 & -8 & -8 & -16 & -8 & 0 & 0 \\ 22 & -2 & -4 & -4 & -4 & -8 & -16 & 0 & 0 \\ 22 & -2 & -2 & -2 & 0 & 0 & 0 & 0 & 0 \\ 22 & 22 & 22 & 0 & 0 & 0 & 0 & 0 & 0 \end{bmatrix}$$

KH Algorithm



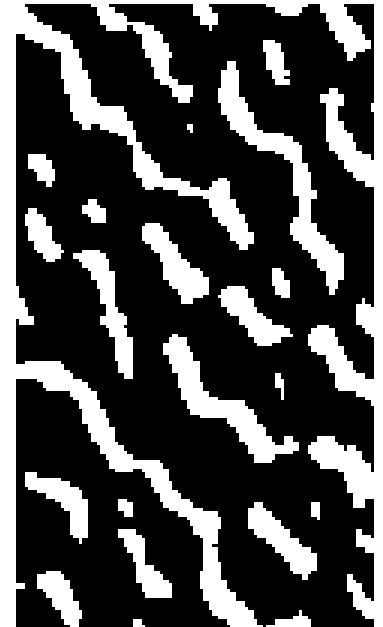
KH Algorithm

... using masks



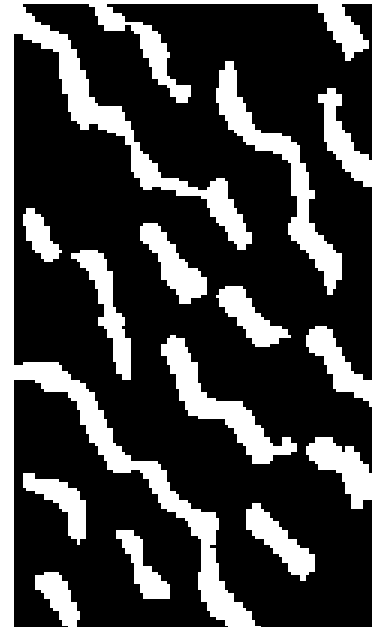
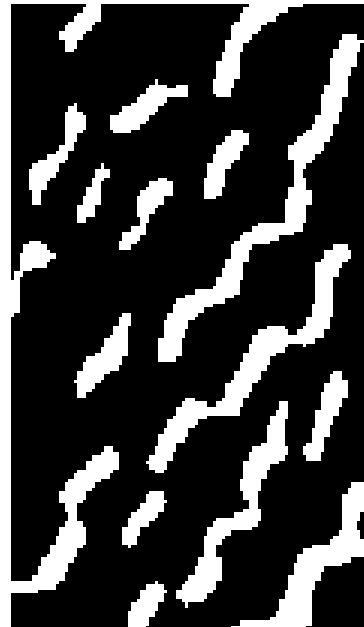
KH Algorithm

... and next the binarization (~50% of range)



KH Algorithm

... small object removing at the end (40px)



KH Algorithm

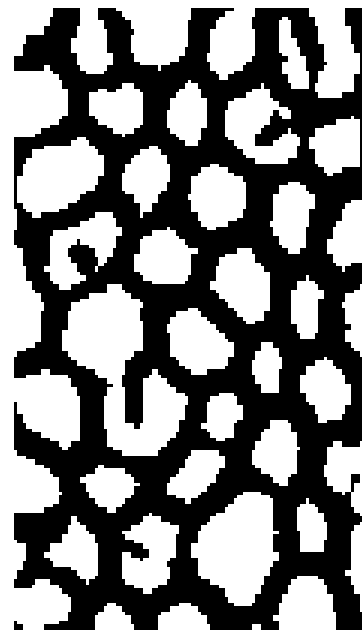
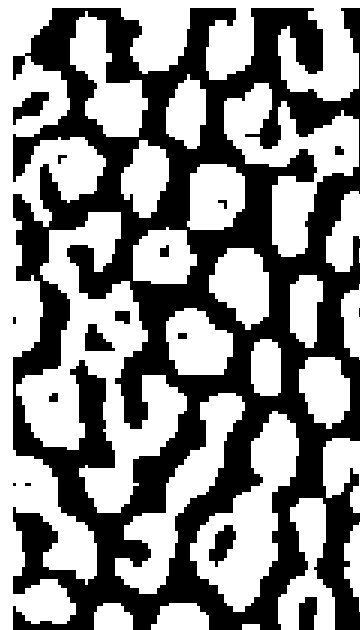
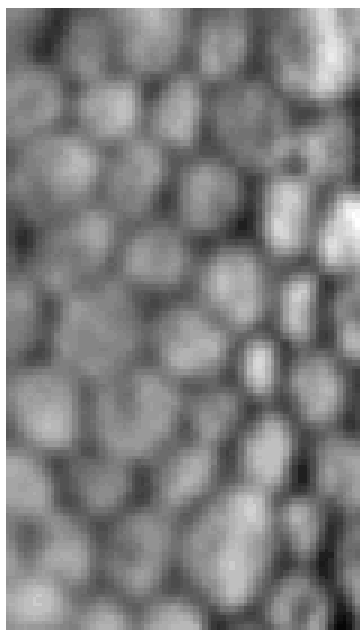
org, ench.

adaptive bin

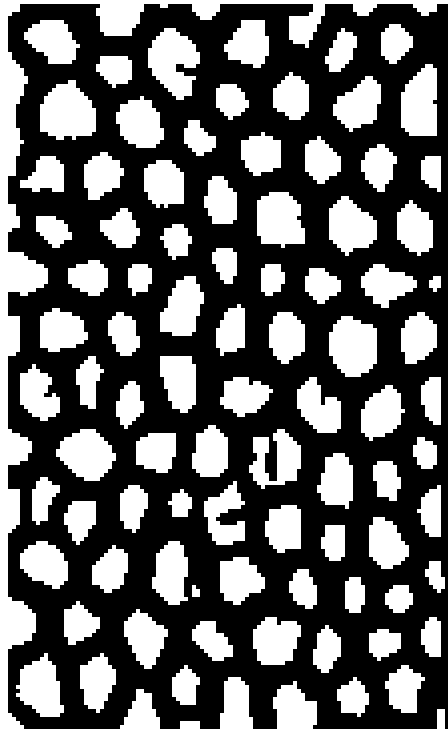
Top-Hat

Single Mask

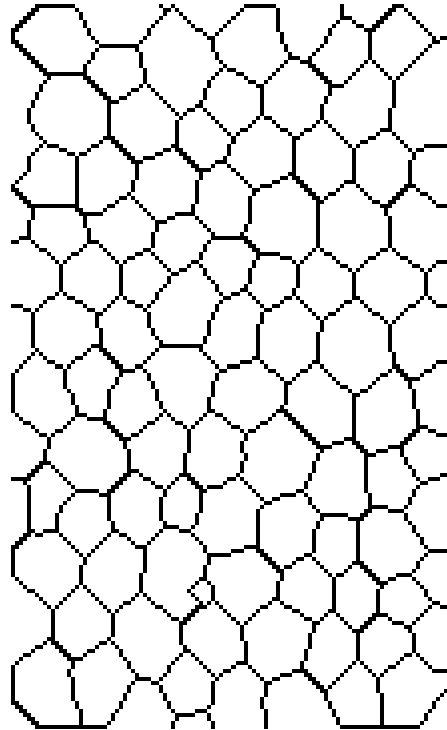
KH Alg.



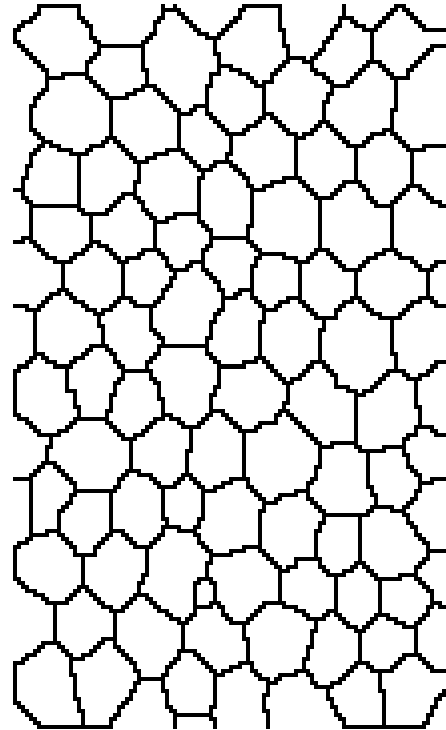
THINNING



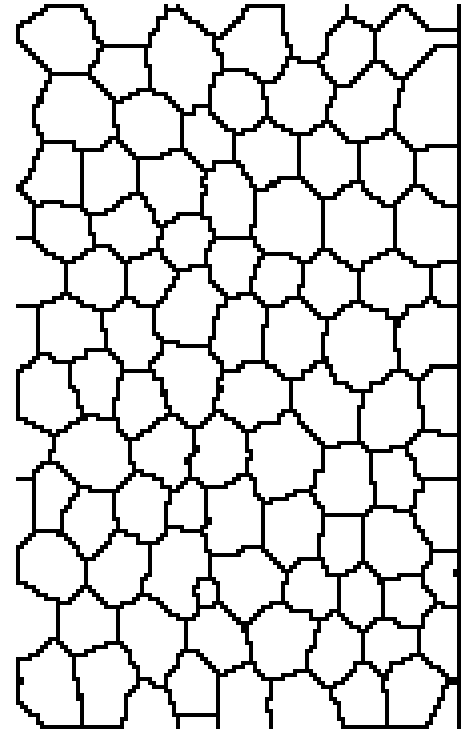
KH bin,
inverted



thinning
using mask A



thinning
using mask B



thinning
using mask C